

TEHNİUM

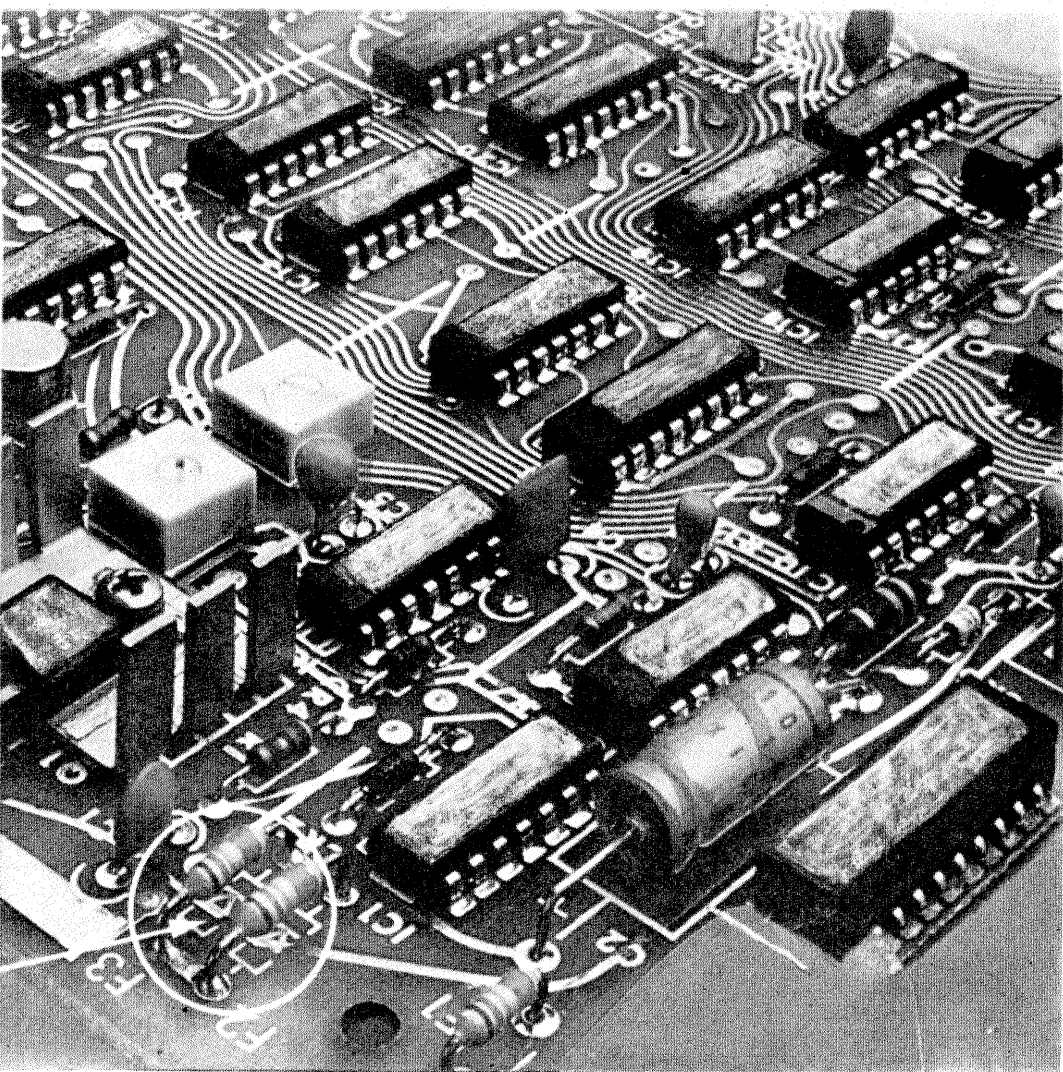
REVISTĂ LUNARĂ EDITATĂ DE C.C. AL U.T.C. ANUL XVIII - NR. 207

2/88

CONSTRUCȚII PENTRU AMATORI

SUMAR

LUCRAREA PRACTICĂ DE BACALAUREAT	pag. 2—3
Amplificator de audiofrecvență	
INITIERE ÎN RADIOELECTRONICĂ	pag. 4—5
Amplificatoare operaționale	
BIFET-BIMOS	
Filtru	
Releu static	
Stabilizatoare integrate	
CQ-YO	pag. 6—7
Antena Swan	
Montaj RIT	
HI-FI	pag. 8—9
Egalizor grafic stereo	
AUTOMATIZĂRI	pag. 10—11
Contor electronic de bandă	
Generator	
Circuit de reglare	
Indicator de nivel	
INFORMATICĂ	pag. 12—13
Calcule chimice	
LABORATOR	pag. 14—15
Frecvențmetru — capacimentru digital	
Interfon	
ATELIER	pag. 16—17
Adaptor pentru frecvențmetru	
Circuite de protecție	
CITITORII RECOMANDĂ	pag. 18—19
Antenă pentru banda de 2 m	
Autostop pentru minicasetofon	
Indicator pentru punți de măsură	
VU-metru	
Diaduplicatorul I.O.R.	
PENTRU TINERII DIN AGRICULTURĂ	pag. 20—21
Miniplanșă polivalentă de irigație	
REVISTA REVISTELOR	pag. 22
Micro Tx	
MDA2020	
Gong	
PUBLICITATE	pag. 23
I.A.E.M. — Timișoara	
SERVICE	pag. 24
Casetofonul PHILIPS D6350	



FRECVENTMETRU- CAPACIMETRU DIGITAL

(CITIȚI ÎN PAG. 14—15)

LUCRAREA PRACTICĂ DE BACALAUREAT

AMPLIFICATOR DE AUDIOFRECVENTĂ

Ing. EMIL MARIAN

Pentru realizarea unei audiiții de calitate a programului muzical sonor este necesară utilizarea unui complex electroacustic în cadrul căruia toate componentele să prezinte performanțe superioare, incluse în cadrul normelor HI-FI. Perfectionarea continuă a mijloacelor de împriere și redare a informației sonore a implicat apariția unei aparaturi din ce în ce mai complexe, astăzi în ceea ce privește construcția propriu-zisă, cît și posibilitățile de funcționare.

Amplificatorul de audiofrecvență reprezintă una din părțile cele mai importante dintr-un aparat electroacustic. Modul lui de funcționare impune, practic, calitatea reproducării informației sonore.

Amplificatorul de audiofrecvență prezentat în acest articol a fost astfel conceput încât, folosind aceeași configurație a schemei electrice și operând unele modificări în privința unor componente, constructorul amator poate obține puterea de ieșire dorită. S-a ales o schemă electrică la care gradul de complexitate nu este ridicat, iar încadrarea montajului în categoria HI-FI este garantată în toată gama puterilor de ieșire. S-a avut în vedere o gamă de puteri situată între limitele $10 \text{ W} \div 80 \text{ W}$, considerată acoperitoare pentru majoritatea preferințelor constructorilor amatori. Valorile componentelor electrice care nu s-au trecut în schemă se calculează, conform formulelor prezentate ulterior (în exemplul de calcul), în funcție de puterea de ieșire a amplificatorului. La realizarea configurației de bază a schemei electrice s-a tinut cont de următoarele considerente:

- obținerea unui montaj HI-FI folosind un număr minim de componente electrice;

- raport semnal-zgomot al montajului cît mai ridicat, $S/N \geq 75 \text{ dB}$;
- distorsiuni armonice reduse, $\text{THD} \leq 0,1\%$;
- distorsiuni de intermodulație minime, $\text{TID} \leq 0,03\%$;
- construirea integrală a montajului folosind componente electrice fabricate în țară.

Analizând configurația schemei, se observă prezența următoarelor blocuri funcționale:

- etajul de intrare;
- etajul pilot;
- sursa de tensiune constantă destinată polarizării etajului final;
- etajul final;
- etajul de protecție la suprarcină.

Etajul de intrare este format dintr-un amplificator diferențial care include grupul de tranzistoare T_1 , T_2 . Această configurație a etajului de intrare permite obținerea următoarelor performanțe:

- impedanță de intrare mare;
- stabilitate termică într-o gamă largă de temperaturi;
- imunitate sporită la zgomot, în special la brumul de rețea;
- amplificare mare, cu posibilitatea controlării ei prin aplicarea reacției negative;
- distorsiuni THD și TID foarte reduse, practic nule, printr-o polarizare adecvată.

Semnalul audio se aplică etajului de intrare în baza tranzistorului T_1 , prin intermediul condensatorului C_1 . Pentru evitarea amplificării unor semnale nedeterminate, care depășesc superior banda de audiofrecvență ($f \geq 20 \text{ kHz}$), între condensatorul C_1 și baza tranzistorului T_1 s-a intercalat filtrul trece-jos R_1 — C_3 .

Polarizarea tranzistorului T_1 este realizată de grupul R_4 , R_5 , care primeste o tensiune de la sursa de alimentare a montajului, tensiune fil-

$P(W)$	$10 \div 20$	$20 \div 45$	$45 \div 80$
$R_{21} (\Omega)$	0,47	0,33	0,22
$R_{22} (\Omega)$	0,47	0,33	0,22
$C_{12} (\mu\text{F})$	2200	3300	4700
$I_o (\text{mA})$	30	45 \div 50	50 \div 65

$P (\text{W})$	10	15	20	30	40	50	60	80
$S_1 (\text{A})$	1,5	2,2	3,1	4	5	6,3	8,2	10
$S_2 (\text{A})$	$Z = 4 \Omega$	1,2	1,8	2,5	3,1	4	5	6,3
	$Z = 8 \Omega$	0,8	1,2	1,5	1,8	2,2	2,5	3,1

trată suplimentar de grupul R_2 , R_3 , C_2 . Rezistorul semireglabil R_2 servește la stabilirea punctului static de funcționare a etajului final. Polarizarea tranzistorului T_2 este realizată de grupul R_{18} , R_9 , R_{10} . Semnalul care constituie reacția negativă, preluat de la etajul final prin intermediul rezistorului R_{18} , se aplică etajului de intrare, în baza tranzistorului T_2 . În acest fel amplificarea generală în curent continuu a montajului este unitară, iar amplificarea în curent alternativ (a semnalului util) este dictată de raportul R_{18}/R_9 .

De la etajul de intrare, din colectorul tranzistorului T_1 , prin intermediul condensatorului C_4 , semnalul audio se aplică etajului pilot, care conține tranzistorul T_3 . În configurația etajului pilot se remarcă prezența condensatorului C_6 , care limitează superior banda de audiofrecvență și totodată previne intrarea accidentală în regim de oscilație a montajului. Grupul R_{11} — R_{12} servește la polarizarea etajului pilot. În scopul îmbunătățirii funcționării etajului pilot, atât în ceea ce privește excursia în tensiune, cât și liniaritatea caracteristicii de transfer intrare-iesire, s-a prevăzut grupul R_{16} , R_{27} , care împreună cu condensatorul C_{12} realizează o conexiune de tip bootstrap.

Polarizarea etajului final este asigurată de sursa de tensiune constantă realizată cu ajutorul tranzistorului T_4 . Acesta este amplasat într-o configurație de tip diodă multiplicată. Rezistorul semireglabil R_{14} permite stabilirea curentului de mers în gol I_o al etajului final la valoarea optimă (conform indicației din tabelul 1).

Etajul final include tranzistoarele T_5 , T_7 și T_8 , amplasate într-o configurație de dublet conexiune super-G, cu simetrie complementară. Acest gen de configurație permite utilizarea unei surse de tensiune constantă de valoare redusă pentru polarizarea etajului final. În acest fel se mărește randamentul global al montajului în privința puterii de ieșire, față de alte scheme electrice ale unor montaje care folosesc aceeași tensiune de alimentare (de exemplu configurație Darlington a dubletelor). Se observă că, folosind o sursă de tensiune constantă de valoare mai mică, s-a mărit „excursia” în tensiune a etajului pilot, deci și tensiunea de ieșire eficace a amplificatorului, rezultând imediat creșterea puterii de ieșire a acestuia. Grupul R_{26} — C_{10} reprezintă o măsură de protecție suplimentară a etajului final în ceea ce privește apariția unor oscilații.

Protecția la suprasarcină a etajului final (practic, a tranzistoarelor finale T_7 și T_8) este realizată de etajul de protecție la supracurent. Acesta include tranzistoarele T_9 și T_{10} . La depășirea valorii maxime a curentului livrat de etajul final apare o tensiune corespunzătoare la bornele rezistorilor R_{21} și R_{22} . Ea este preluată de divizoarele de tensiune R_{20} — R_{24} și R_{23} — R_{25} .

Divizoarele sunt calculate astfel încât, în cazul apariției suprasarcinilor, la bornele rezistențelor R_{24} și R_{25} să apară o tensiune de 0,65 V, care permite intrarea în conducție a tranzistoarelor T_9 și T_{10} . Rezultă imediat scăderea curentului din bazele tranzistoarelor T_5 și T_6 , deci „blocarea” dubletelor și micșorarea curentului livrat de etajul final, realizându-se astfel protecția lui. Condensatoarele C_8 și C_9 sunt dimensionate astfel încât protecția să nu intre în funcționare la depășiri de sarcină nominală de scurtă durată, evitându-se astfel distorsionarea semnalului util amplificat (CLIPPING).

Siguranța S_1 reprezintă o protecție generală a montajului, iar siguranța S_2 o protecție prevăzută pentru incintele acustice.

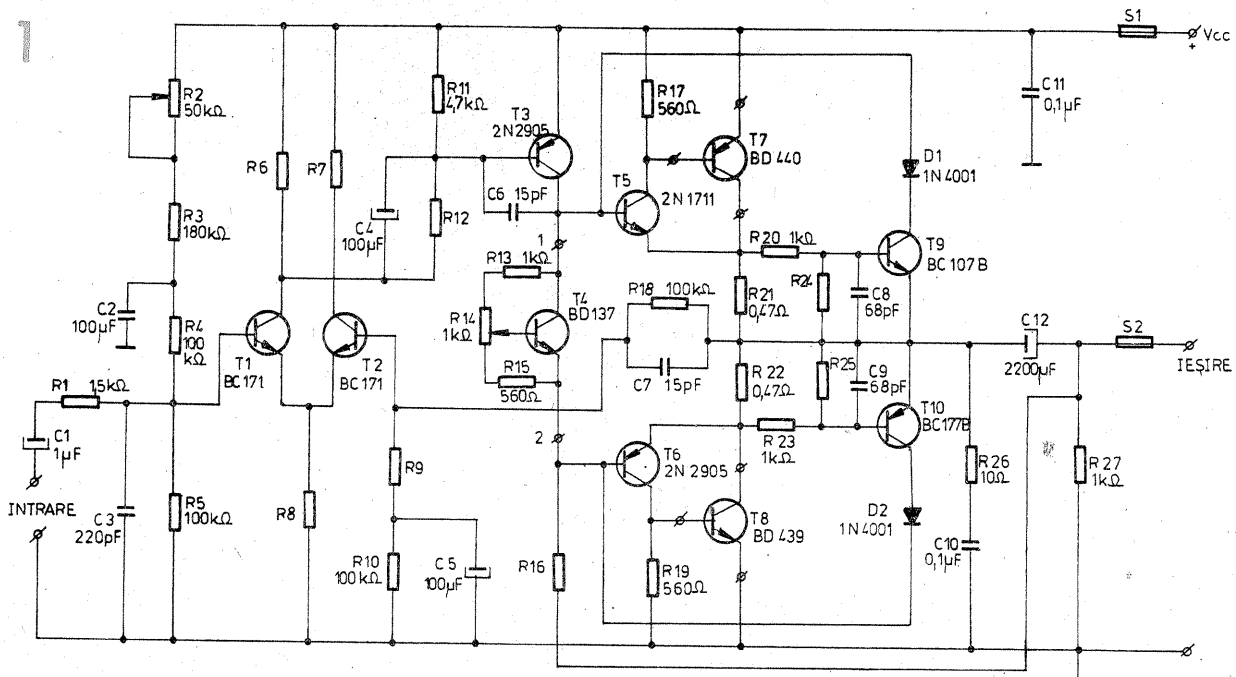
Exemplu de calcul

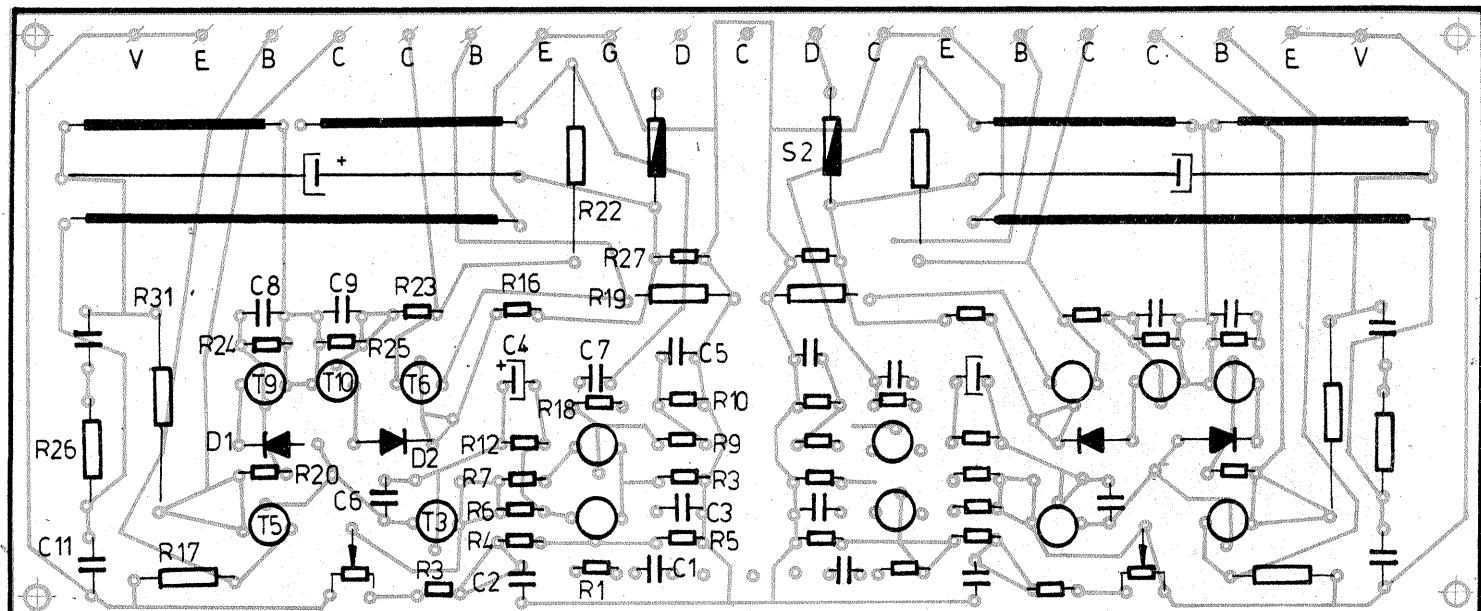
Date inițiale: $P = 15 \text{ W}$; $Z = 4 \Omega$.

1. Calculul valorii eficace a tensiunii de ieșire, V_{RMS} :

$$V_{\text{RMS}} = |PZ| = |15 \cdot 4| = 7,745 \text{ V}$$

2. Calculul valorii vîrf-la-vîrf, V_{PP} ,





a tensiunii de ieșire:

$$V_{PP} = 2\sqrt{2} V_{RMS} = 2\sqrt{2} \cdot 7,745 V = 21,9 V.$$

3. Calculul valorii eficace și ai valorii maxime a curentului prin impedanța de sarcină:

$$I_{RMS} = \sqrt{\frac{P}{R}} = \sqrt{\frac{15 W}{4 \Omega}} = 1,936 A;$$

$$I_P = \sqrt{2} I_{RMS} = \sqrt{2} \cdot 1,936 A = 2,737 A.$$

4. Calculul tensiunii maxime la bornele rezistențelor R_{20} și R_{21} (în momentul livrării puterii maxime): $U_{R_{20}} = U_{R_{21}} = R_{20} I_P = 0,47 \Omega \cdot 2,737 A = 1,286 V$.

5. Calculul tensiunii de alimentare a amplificatorului:

$$V_{cc} \geq V_{PP} + U_{R_{20}} + U_{R_{21}} + 2V_{CESAT}.$$

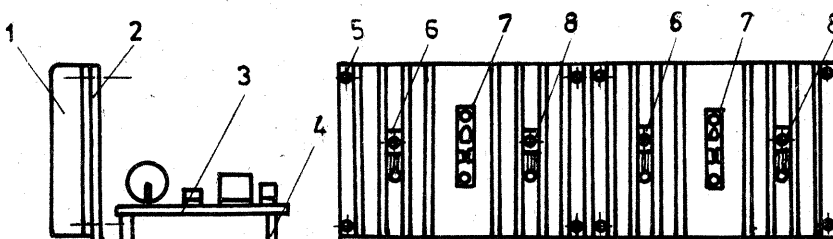
În funcție de curentul maxim și tensiunea maximă estimată, se aleg tranzistoarele finale.

Se presupune $V_{CESAT} = 1 V$; se impune deci ca

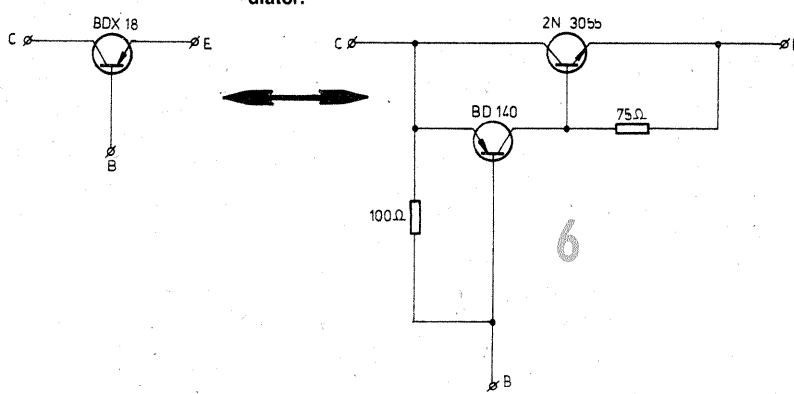
$$V_{cc} \geq 21,9 V + 1,286 V + 1,286 V + 2,1 V = 26,472 V.$$

Se alege $V_{cc} = 30 V$, deci pentru $V_{CEmax} = 30 V$ și $I_P = 2,737 A$ putem lua $T_7 = BD440$, $T_8 = BD439$.

Modul de realizare practică a amplificatorului de 15 W. 1 — radiator tranzistoare finale; 2 — placă suport generală; 3 — placă de cablaj imprimat a amplificatoarelor; 4 — distanțier; 5 — suruburi prindere; 6 — tranzistoare finale pnp; 7 — placă sursei de tensiune constantă; 8 — tranzistoare finale npn.



Echivalarea practică a tranzistoarelor pnp de putere.
NOTĂ. Cele două tranzistoare se montează pe același radiator.



Din catalog se verifică $V_{CESAT}/I_P = 1,2 V$, deci condiția impusă valorii V_{cc} este îndeplinită.

6. Alegera tranzistoarelor finale și a tranzistorului pilot:

$$I_{CT5} \approx I_{CT6} = \frac{I_{CT7}}{h_{21E}} \approx \frac{I_{CT8}}{h_{21E}} = \frac{2,737 A}{20} = 0,137 A;$$

pentru $V_{CE} = 30 V$ și $I_C = 0,137 A$ putem lua $T_5 = 2N1711$ și $T_6 = 2N2905A$.

$$I_{maxT_3} = 1,1 (I_{BT5} + I_{BT6}) = 1,1 (1,14 + 1,14) mA = 2,5 mA;$$

pentru $I_C = 2,5 mA$ și $V_{CEmax} = 30 V$ se alege $T_5 = 2N2905 A$.

7. Calculul valorii rezistenței R_{16} :

$$R_{16} = \frac{V_{cc}}{2 \cdot I_{maxT_3}} = \frac{30 V}{2 \cdot 2,5 mA} = 6 k\Omega;$$

se alege $R_{16} = 5,6 k\Omega$.

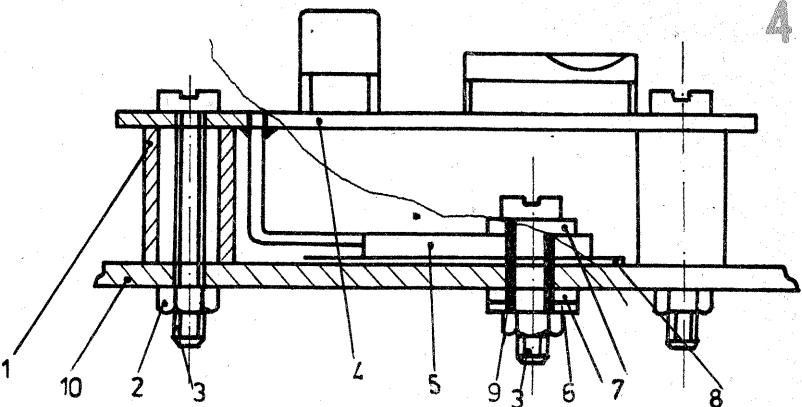
8. Calculul valorii rezistenței R_8 :

Se alege pentru grupul T_1, T_2 zona de lucru în care distorsiunile sunt minime:

$$U_{BT1,2} \approx \frac{V_{cc}}{4};$$

$$U_{CT1,2} \approx \frac{2}{3} V_{cc};$$

$$U_{E1,2} = U_{BT1,2} - 0,6 V = \frac{V_{cc}}{4} - 0,6 V =$$



Amplasarea plăcuței cu sursa de tensiune constantă pe radiatorul tranzistoarelor finale. 1 — tub izolant rigid; 2 — piuliță M3; 3 — șurub M3; 4 — placă sursei; 5 — tranzistor BD139; 6 — șârbă metalică; 7 — șârbă izolantă; 8 — foiltă de mică; 9 — tub izolant; 10 — radiator.

$$= \frac{30 V}{4} - 0,6 V = 6,9 V;$$

$$R_8 = \frac{U_{E1,2}}{I_{E1} + I_{E2}} = \frac{6,9 V}{2,5 mA} = 2,76 k\Omega;$$

se alege $R_8 = 2,7 k\Omega$.

9. Calculul valorii rezistențelor R_6 și R_7 :

$$R_6 = R_7 = \frac{2}{3} \cdot \frac{V_{cc} \cdot R_8}{V_{E1,2}} = \frac{2}{3} \cdot \frac{30 V \cdot 2,7 k\Omega}{6,9 V} = 7,82 k\Omega;$$

se aleg $R_6 = R_7 = 7,5 k\Omega$.

10. Calculul tensiunii la bornele rezistoarelor R_6 și R_7 :

$$U_{R_6} = U_{R_7} = R_6 I_{CT6};$$

se poate approxima $I_{CT6} \approx I_{ET6} = I_{E1,2}$:

$$U_{R_6} = R_6 \cdot \frac{1}{2} \cdot \frac{U_{E1,2}}{R_8} = 7,5 k\Omega \cdot \frac{1}{2} \cdot \frac{6,9 V}{2,7 k\Omega} = 9,58 V, \text{ deci se}$$

$$\text{verifică } U_{CT1} \approx \frac{2}{3} V_{cc} (U_{CT1} = V_{cc} - U_{R_6}).$$

11. Calculul valorii rezistenței R_{12} :

$$I_{R_{12}} = I_{BT3} + I_{R_1} = \frac{I_{CT3}}{h_{21E}} + \frac{0,6 V}{R_{11}} = \frac{2,5 mA}{200} + \frac{0,6 V}{4,7 k\Omega} = 0,14 mA;$$

$$R_{12} = \frac{I_{R_{12}}}{U_{R_6} - 0,6 V} = \frac{0,14 mA}{9,58 V - 0,6 V} = 64,14 k\Omega;$$

se alege $R_{12} = 62 k\Omega$.

12. Calculul amplificării și valorii rezistenței R_9 :

$$A = \frac{V_{RMS}}{V_{IN}}; \text{ pentru } V_{IN} = 200 mV =$$

$$0,2 V \text{ obținem } A = \frac{7,745 V}{0,2 V} = 38,725;$$

$$R_9 = \frac{R_{18}}{A - 1} = \frac{100 k\Omega}{38,725 - 1} = 2,65 k\Omega;$$

se alege $R_9 = 2,4 k\Omega$.

13. Calculul valorilor rezistențelor R_{24} și R_{25} :

$$U_{R_{21}} = U_{R_{22}} = 1,1 \cdot R_{21} \cdot I_P = 1,1 \cdot 0,47 \Omega \cdot 2,737 A = 1,41 V;$$

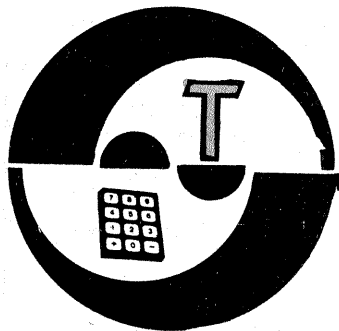
$$R_{24} = \frac{0,65 V}{(U_{R_{21}} - 0,65 V)} \cdot R_{20} = \frac{0,65 V}{1,41 V - 0,65 V} \cdot 1 k\Omega = 0,855 k\Omega;$$

se aleg $R_{24} = R_{25} = 820 \Omega$.

14. Pentru dimensionarea valorilor R_{21} , R_{22} , C_{12} , I_o se recomandă valorile din tabelul 1.

REALIZARE PRACTICĂ ȘI REGLAJE

Montajul se realizează în varianta stereo, pe o plăcuță de sticlostratex placat cu folie de cupru. În figura 2 este prezentată o varianta care a dat rezultate foarte bune. În funcție de gabaritul componentelor pe care le definește, constructorul amator poate modifica, în limite mici, unele distanțe dintre traseele de cablaj, fără a schimba caroiajul de bază al amplasării componentelor. Se atrage atenția că, pentru claritatea reprezentării traseelor de cablaj, acestea au fost desenate în totalitate cu linii de aceeași grosime. În mod obligatoriu, la realizarea practică traseele de masă, de alimentare și de la circuitele care privesc tranzistoarele complementare au grosimea minimă de 3 mm. Pentru o putere mai mare a amplificatorului ($P > 25 W$), este necesară dublarea traseelor menționate anterior cu conductor de cupru neizolat, de secțiune minimă 1,5 mm². Conductorul ia forma traseului de cablaj și apoi este lipit pe toată lungimea lui prin cositorie de acesta. (CONTINUARE ÎN PAG. 21)



INTRIÈRE ÎN RADIOELECTRONICĂ

AMPLIFICATOARE OPERATIONALE BIFET-BIMOS

(URMARE DIN NR. TRECUT)

Corectoarele de ton de tip Baxendall beneficiază și ele substanțial de performanțele superioare ale operaționalelor BIFET și BIMOS (slew-rate mare, bandă largă de frecvență, impedanță de intrare mare). În figurile 7–10 sunt prezentate cîteva variante ale acestui corector realizat cu circuitul BIMOS-CA3140. Schema din figura 7 are un cîstig unitar în domeniul frecvențelor medii, permitînd amplificarea sau atenuarea frecvențelor joase și înalte în limitele ± 15 dB la 100 Hz, respectiv la 10 kHz. Impedanța de intrare mare a circuitului CA3140 permite utilizarea unor condensatoare cu capacitați mici, iar valoarea ridicată a parametrului slew-rate asigură amplitudinea maximă de ieșire în întregul domeniu de frecvențe audio.

Detaliiul din figura 8 indică modificările ce se impun în vederea alimentării circuitului cu sursă diferențială (± 15 V), varianta din figura 9 oferă, în plus, o amplificare de cca 20 dB în domeniul frecvențelor medii, iar detaliul din figura 10 corespunde alimentării montajului precedent cu tensiune diferențială.

REDRESOR FĂRĂ PRAG

Si această aplicație tipică a amplificatoarelor operaționale cîstigă mult în performanțe prin utilizarea circuitelor BIMOS. Exemplul din figura 11 reprezintă un redresor biafrentană fără prag realizat cu un

singur circuit CA3130 și o singură diodă în buclă de reacție. Semialternantele pozitive ale semnalului de intrare ajung la ieșire direct, prin rezistența de reacție R_2 , de valoare mică. Pe perioada acestora, ieșirea operaționalului (în configurație inversoare) este negativă, dioda D este blocată și astfel operaționalul

este „deconectat” din traseul semnalului. Semialternantele negative de intrare sunt amplificate de $-R_2/R_1$ ori de către operațional, ajungind la ieșire prin dioda D (acum deschisă), ca semnal pozitiv.

Pentru simetrizarea semnalului dublu redresat obținut la ieșire se impune deci condiția ca amplificarea căii directe (via R_1-R_2) să fie egală cu amplificarea inversorului, abstracție făcînd de semn. În realitate, calea directă prezintă o atenuare în raportul $R_3/(R_1+R_2+R_3)$, deci condiția de simetrie se scrie:

$$\frac{R_2}{R_1} = \frac{R_3}{R_1 + R_2 + R_3} = G.$$

Pentru exemplul din figură s-a ales $G = 0,5$ ($= 2\text{k}\Omega/4\text{k}\Omega$), deci R_3 trebuie să aibă valoarea de $6\text{k}\Omega$ (reglaj fin din trimterul de $2\text{k}\Omega$).

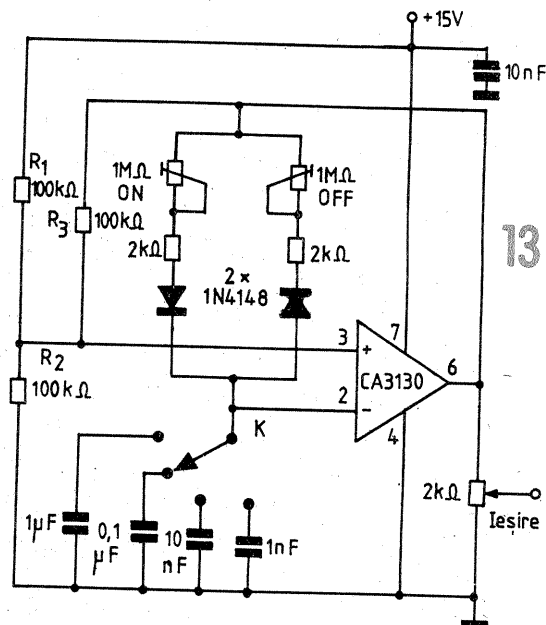
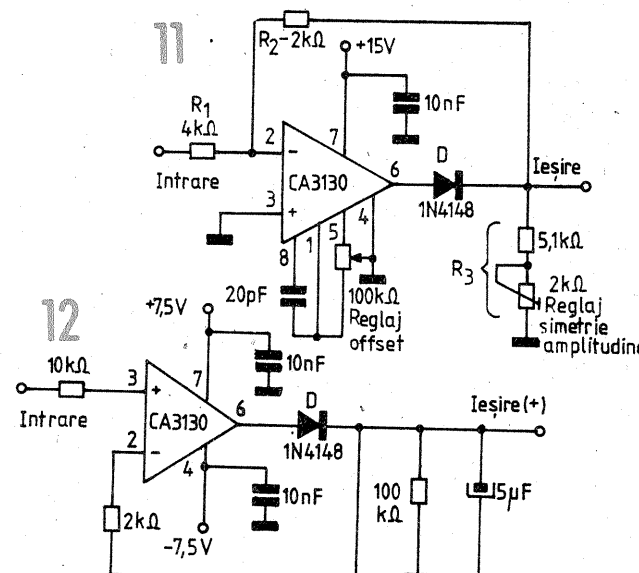
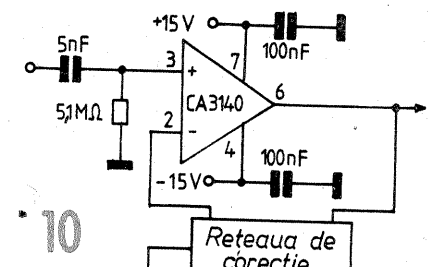
În figura 12 este dat un alt exemplu de redresor fără prag, de data aceasta un redresor monoalternantă pentru valoarea de vîrf.

MULTIVIBRATOR

Generatoarele de semnal de tip multivibrator beneficiază de pe urma utilizării circuitelor BIMOS în două direcții majore: posibilitatea realizării unor rețele R-C de temporizare cu raport mare R/C (deci folosirea unor condensatoare de capa-

cităi mici) și, respectiv, extinderea domeniului de frecvență.

În figura 13 este dată schema unui astfel de generator realizat cu circuitul CA3130. Alimentarea se face cu tensiune unică, intrarea neînversoare a operationalului primind polarizare mediană prin intermediul divisorului R_3-R_2 . Cu ajutorul celor două trimere de $1\text{M}\Omega$ se pot regla independent perioadele de conducție (ON) și de blocare (OFF), iar din comutatorul K se selecteză domeniile de frecvență. Cu valorile indicate în schemă, durata pulsului poate fi reglată orientativ între: 4 μ s și 1 ms pentru 1 nF; 40 μ s și 10 ms pentru 10 nF; 0,4 ms și 100 ms pentru 0,1 μ F; 4 ms și 1 s pentru 1 μ F.



Pagini realizate de fiz. A. MĂRCULESCU

RELEU STATIC

Este bine cunoscută schema variatorului de tensiune care utilizează, pentru controlul ambelor semialternante ale retelei, două tiristoare de putere adecvată, conectate în antiparalel. Cu mici modificări, variatorul de tensiune poate fi transformat într-un releu static pentru comandarea unor consumatori de rețea (instalații de iluminare, încălzire etc., dar nu motoare), cu precizarea importantă că acționarea pornit-oprit poate fi făcută automat, prin intermediul unei tensiuni adecvate de comandă, provenită de la un traductor termoelectric sau fotoelectric, temporizator, circuit logic etc.

O variantă de astfel de releu este cea din figura alăturată (după aplicații S.S.C.). Elementul de comandă îl constituie aici un triac de mică putere, montat pe post de comutator, care permite intrarea în conducție a celor două tiristoare

întrucât cînd i se injectează prin circuitul de poartă un curent de amortare (de la sursa tensiunii de comandă U, prin intermediul rezistenței de limitare R_4). Valoarea tensiunii/curentului de comandă se stabilește experimental, în funcție de tipul și sensibilitatea pe poartă a triacului folosit.

Tensiunile necesare pentru comandă în poartă a tiristoarelor sunt obtinute din tensiunea retelei, prin redresare și limitare corespunzătoare. Să presupunem, de exemplu, că la un moment dat tensiunea în punctul A este pozitivă (semialternanță pozitivă a retelei). Prin grupul D_2-R_3 triacul T va fi polarizat în sensul 2–1, cu plusul în 2. La aplicarea curentului de poartă prin R_4 , triacul va intra în conducție, polarizând prin R_2 poarta tiristorului Th. 1, cu plusul pe poartă (față de catodul aflat la potențial negativ). Tiristorul Th. 1 intră astfel în conduc-

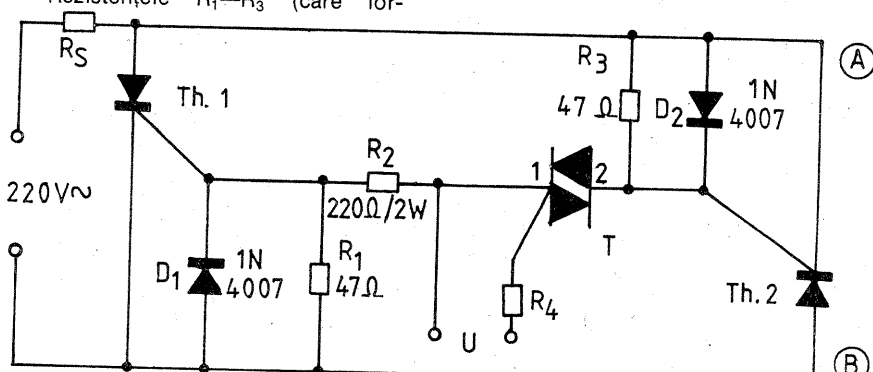
ție, alimentînd consumatorul R_S cu semialternanță pozitivă a retelei. Analog se petrec lucrurile pentru semialternanță negativă în A, cînd triacul va conduce în sens invers prin grupul D₁–R₁, amorsînd tiristorul Th. 2.

Diodele D₁ și D₂ „redresescă” curentul de poartă al tiristoarelor, mai bine zis limităză la valori nepericuloase (cca 0,7 V) tensiunile inverse poartă-catod.

Rezistențele R₁–R₃ (care for-

mează un divisor serie cu R_2 și rezistența de sarcină) limitează tensiunile directe de comandă a portilor.

Dacă semnalul de comandă U este o tensiune continuă, montajul se comportă deci ca un releu static obișnuit. Se poate însă imagina formarea unui semnal de comandă în impulsuri, sincronizat cu rețea, care să permită reluarea funcției de variator de tensiune automat.



STABILIZATOARE INTEGRATE

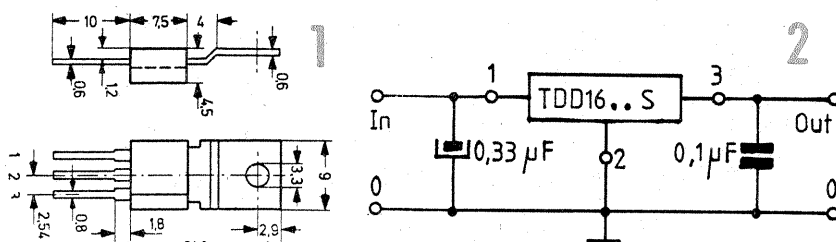
În numărul 11/1987 al revistei, la această rubrică, au fost prezentate cîteva considerații generale referitoare la circuitele integraté stabilizatoare de tensiune. Alăturate propunem cîteva artificii de utilizare a acestor componente pentru extinderea domeniului de funcționare (creșterea curentului maxim, a tensiunii de ieșire etc.), cu referire concretă la seria circuitelor TDD 1605 S — TDD 1624 S de fabricație ITT (catalog 6251—137—1E).

Circuitele monolitice TDD 16.S sunt stabilizatoare de tensiune continuă fixă, în plaja 5 V — 24 V (ultimele două cifre din cod desemnează valoarea nominală a tensiunii de ieșire), realizate într-o capsulă de plastic asemănătoare cu TO202 (fig. 1). Ele sunt prevăzute cu limitare internă a curentului și protecție termică, putînd debita un curent de ieșire de pînă la 500 mA, bineînteleasă dacă sunt echipate extern cu radiatoare adecvate. Practic, singurul lucru de temut în utilizarea acestor dispozitive este depășirea temperaturii maxime a joncțiunilor ($+150^{\circ}\text{C}$), ceea ce înseamnă grija deosebită pentru dimensionarea radiatorului termic (mai bine supradimensionat de la început, decît surprize neplăcute).

Principalele caracteristici ale acestor circuite sunt date în tabelele alăturate, iar schema tipică de utilizare pentru tensiune fixă de ieșire (tensiunea nominală) este cea din figura 2. Condensatorul de $0,33 \mu\text{F}$ de la intrare este necesar numai în cazul în care stabilizatorul se placează în montaj la o distanță mai mare față de redresorul filtrat. Condensatorul de $0,1 \mu\text{F}$ de la ieșire reduce impedanța internă a sursei la frecvențe mari.

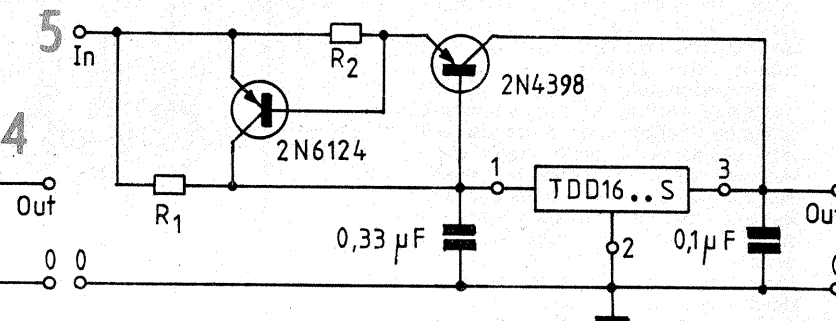
În figura 3 este prezentat artificiul pentru creșterea tensiunii de ieșire. Se observă că pinul 2 nu mai este conectat la masă, ci la un anumit potențial dorit, obținut cu ajutorul divizorului rezistiv plasat la ieșire. Suma celor două rezistențe poate fi de ordinul a $10 \text{k}\Omega$.

Artificiul pentru creșterea curentului de ieșire este arătat în figura 4. În acest scop este necesar un transistor cu siliciu de tip pnp, care să suporte curentul maxim dorit. O protecție suplimentară la scurtcircuit, simultan cu creșterea curentului de ieșire, se realizează ca în figura 5. Rezistența R_2 (traductor de curent) este de valoare foarte mică, bobinată; din ea se stabilește curentul maxim de ieșire.



TIP	TENSIUNEA DE INTRARE V_1 (V)	TENSIUNEA DE IEȘIRE LA $-I_3 = 350 \text{ mA}$ V_3 (V)
TDD 1605 S	10	5
TDD 1606 S	11	6
TDD 1608 S	14	8
TDD 1610 S	16	10
TDD 1612 S	19	12
TDD 1615 S	23	15
TDD 1618 S	27	18
TDD 1624 S	33	24

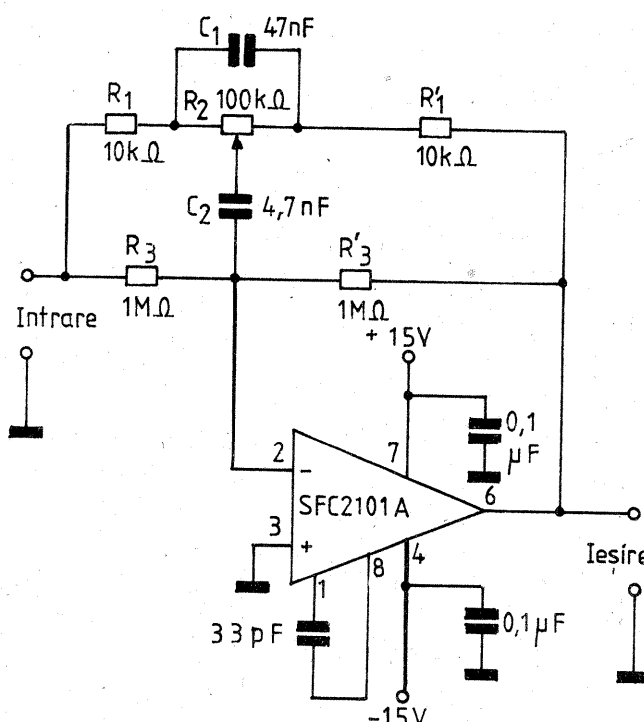
PARAMETRUL	Simbol	Tip	Max.	Unități	Condiții
Căderea de tensiune	$V_1 - V_3$	2	—	V	$-I_3 = 350 \text{ mA}$
Curentul maxim	$-I_3 \text{ pk}$	700	—	mA	
Curentul de repaus	I_{IR}	—	6	mA	
Rezistența termică	R_{thC}	*12	15	°C/W	
joncțiune-capsulă					



FILTRU

Pentru a modela într-o manieră dorită curba de răspuns în frecvență al unui lanț electroacustic se folosesc tot mai mult în ultima vreme filtrele active, care oferă posibilitatea amplificării sau atenuării

între anumite limite a unei porțiuni din banda redată. Conectând adevarat (în serie sau în paralel) mai multe filtre active „centrate” pe anumite frecvențe prestabilite se obține așa-numitul egalizor (equa-



lizer), foarte răspîndit în instalații audio de înaltă fidelitate.

În figura alăturată este dată schema de principiu a unui astfel de filtru activ, realizat cu amplificatorul operațional SFC2101A (sau altele similare din familia 101). Particularitatea schemei constă în posibilitatea accentuării sau atenuării în limitele de $\pm 12 \text{ dB}$ a frecvenței pe care este centrata filtrul, prin acționarea unui singur potențiometru liniar. Se subînțelege că, în poziția mediană a cursorului, răspunsul filtrului este liniar.

Valorile trecute în schemă corespund frecvenței centrale de 125 Hz . Pentru alte frecvențe dorite se vor schimba doar valorile condensatorilor C_1 și C_2 conform datelor din tabel.

Această schemă a fost studiată teoretic și experimental în Laboratorul ECÉ (Franța). Ea poate fi realizată, în principiu, cu orice tip de amplificatoare operaționale, dar pentru obținerea unor rezultate bune în întregul domeniu audio se recomandă folosirea unor operaționale cu zgomot redus și produs cîstig x bandă mare.

(URMARE DIN PAG. 9)

blaj) se fac cu cablu ecranat.

De preferință se vor folosi componente cu toleranțe mici (rezistor RPM, condensatoare cu pierderi mici).

Conductoarele de alimentare vor trebui răscute pentru a evita eventuali curenți de fugă, iar sursa de alimentare (în special transformatorul) va fi bine ecranată.

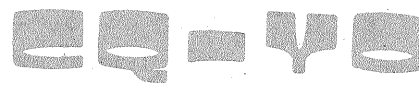
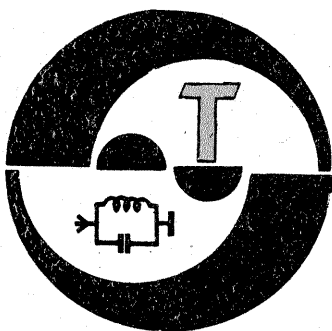
Deși montajul nu folosește curenți de valori mari, este preferabil ca tranzistoarele complementare T_1 și T_2 să fie montate pe radiatoare de aluminiu în formă de U, cu suprafața de maximum 5 cm^2 .

Montajul nu necesită reglaje deosebite. Lucrînd atent și urmînd indicațiile prezentate, montajul va funcționa de prima dată, realizatorul avînd o deosebită satisfacție.

BIBLIOGRAFIE

Colecția revistei și almanahul „Tehnium”, 1984—1987
I.P.R.S.-Bâneasa, Catalog de circuite integrate

N. Drăgușanu, Agenda radioelectronistului.



ANTENA SWAN

Sing. JÁNOS KOCS,
Y06 - 12703 / CV

Antena Swan, cunoscută în rîndul radioamatorilor (pentru emisie-recepție în domeniul UUS), cu cîstig și selectivitate mai bune decît ale antenei „Long Yagi”, se poate utiliza cu succes și în practica recepției semnalelor de televiziune.

Avinăt construcție specială, necesită la realizare un sortiment mai mare de materiale, precizie în execuție și multă răbdare la acordarea finală cu cablul de coborîre.

Acste antene sunt compuse în principiu din două antene de tip „ZL-special”. Cuplarea dipolurilor simple asigură sporul mare de cîstig, iar scurtcircuitarea ultimului dipol (cel mai lung) cu o buclă „K” de lungime fixă definește raportul ridicat de atenuare fată-spate.

Dimensionarea inițială — pentru 144 MHz — fiind de bandă îngustă, antenele realizate vor fi de asemenea de bandă îngustă, deci acordate strict pe un canal de televiziune. Avinăt și o caracteristică de directivitate îngustă, antenele Swan se recomandă singure pentru utilizare în condiții de recepție nefavorabile, cum ar fi locurile cu reflexii multiple, semnale perturbatoare din unghi ascuțit cu direcția de recepție, distanță mare de la stația de emisie etc.

Elementele active, din tub sau bară de Al. Cu, CuZn etc., cu dia-

metrul D, se montează pe o traversă de lungime „L”. Fiecare dipol se fixează izolat pe traversă, cu ajutorul unor suporturi dintr-un material izolant hidrofug, care nu permite întinderea apei pe suprafața ei (PVC, polietilenă, bachelită etc.).

Bucla „K”, precum și legătura dintre dipoli se vor executa din conductor de cupru cu diametrul de 1 mm, avînd grijă să se păstreze o distanță de 10 mm în punctele de încrucisare.

Reflectorul și directorii pot avea contact galvanic cu traversă, dar este bine să fie montați în planul format de dipoli. Traversa se poate executa ușor din profiluri pătrate de aluminiu sau oțel, avînd 20 x 20 mm pentru FIF și 10 x 20 mm pentru UIF. Evident, se pot utiliza și alte materiale (tevi rotunde sau chiar și lemn).

Prinderea antenei se face din spate după reflector.

Pe schema antenei am notat cu:
a — distanța dintre laturile buclei (liniei) de adaptare;
b — distanța dintre planul elementelor și planul liniei de adaptare;
c — distanța punctului de îndoire, măsurată de la dipol.

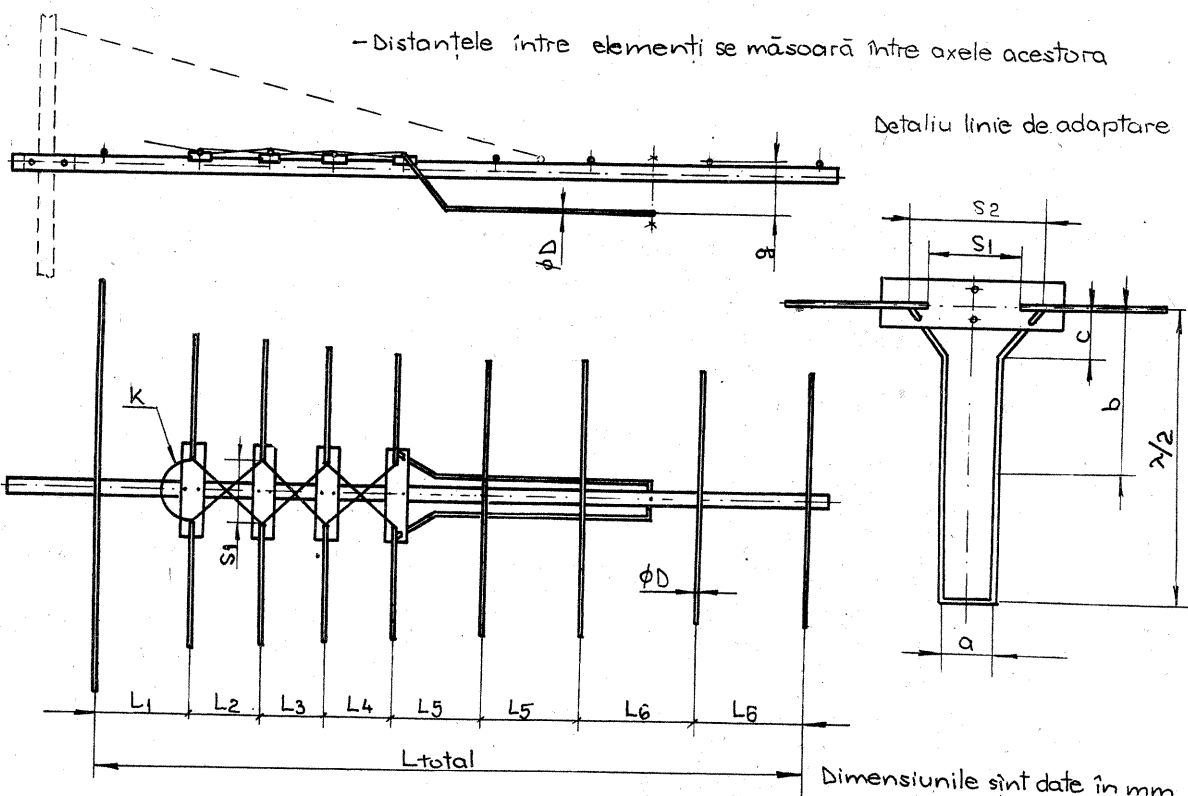
Din aceste trei dimensiuni rezultă unghiul de îndoire, luînd în considerare și mărimea „s₂”.

Distanța „b” definește punctele de racordare a cablului de coborîre. Impedanța caracteristică a antenei este de 110 Ω, deci necesită simetrizare cu ajutorul unei linii în λ/4 din cablu coaxial de 50 Ω. Practica a demonstrat că ne putem acorda direct cu cablul coaxial de 75 Ω, caz în care vom căuta alt punct de racordare, prin deplasarea în față și spate pe linia de adaptare.

În cazul cuplării a două sau mai multe antene, distanța între traverse trebuie să fie de cel puțin o lungime de undă medie.

- Distanțele între elementi se măsoară între axele acestora

Detaliu linie de adaptare



Dimensiunile sunt date în mm

d g	f s [MHz]	f _{med} [MHz]	λ _{med}	Dimensiuni [mm]																				
				L _{tot}	a	b	ϕD	s ₁ :c	s ₂	K	g	d ₁	d ₂	d ₃	d ₄	d ₅	d ₆	L ₁	L ₂	L ₃	L ₄	L ₅	L ₆	
-	-	145	2	2987	32	331	6	88	110	178	35	1045	896	876	4525	4285	418	395	203	190	184	178	508	608
4	U	88	3,41	4884	32	566	10	128	133	292	35	702	1467	1430	740	701	683	646	331	311	300	292	831	994
5	U	90	3,13	4480	32	519	8	117	167	266	35	562	1347	1313	679	643	627	593	304	285	275	268	762	912
5	C	77,5	1,69	2422	32	280	6	64	91	145	35	844	727	709	367	347	339	320	164	154	149	145	412	493
7	C	191,5	1,57	2245	32	260	6	59	84	134	32	782	674	657	340	322	314	297	152	143	138	134	382	457
8	O	94	1,55	2215	32	257	6	58	83	132	32	772	665	649	337	318	310	293	150	141	136	132	377	451
9	C	205,5	1,46	2098	32	244	6	55	78	125	24	731	630	561	317	301	293	277	142	137	129	125	357	427
10	O	210	1,43	2033	32	209	6	53	75	122	24	708	612	520	307	291	285	268	138	129	126	122	345	414
10	C	212,5	1,41	2024	32	206	6	53	75	121	24	705	608	513	306	290	283	267	137	129	125	121	344	412
11	O	218	1,38	1974	32	197	6	52	74	118	24	687	592	468	298	283	276	261	133	126	121	118	336	402
11	C	219,5	1,37	1950	32	188	6	51	72	117	24	679	586	465	295	279	273	257	132	124	121	117	331	397
22	OC	482	0,622	892	21	103	4	23	32	53	15	310	267	262	135	128	125	118	61	57	55	53	52	181
23	OC	490	0,612	876	21	101	4	23	32	52	15	305	263	258	133	126	123	116	60	56	54	52	150	177
24	OC	498	0,602	862	21	99	4	23	32	51	15	300	258	254	131	124	121	114	59	55	53	51	148	174
26	OC	514	0,584	845	21	98	4	22	30	51	15	291	253	248	126	121	118	111	58	53	52	50	144	172
27	OC	522	0,575	829	21	97	4	22	30	51	15	287	249	243	126	119	116	109	57	52	51	49	141	169
28	OC	530	0,566	814	21	96	4	22	30	50	15	283	245	239	124	117	114	107	55	51	50	48	139	166
29	OC	538	0,558	802	21	95	4	22	30	49	15	279	242	235	122	115	112	105	54	50	49	47	137	164
30	OC	546	0,549	790	21	94	4	22	30	48	15	275	239	232	120	113	110	103	53	49	48	46	135	162
32	OC	562	0,534	770	21	91	4	18	25	47	15	267	232	226	117	110	107	100	52	48	47	45	131	158
34	OC	578	0,519	750	16	89	3	18	25	46	15	260	226	220	114	107	104	97	51	47	46	44	127	154
35	OC	586	0,512	738	16	88	3	18	25	45	15	256	223	217	112	106	103	96	50	46	45	43	125	152
37	OC	602	0,498	719	16	86	3	18	25	44	15	249	217	211	109	103	100	93	48	45	44	42	122	148
41	OC	634	0,473	680	16	78	3	18	25	41	15	238	204	200	103	98	95	89	46	43	42	41	115	139

MONTAJ RIT

**Dr. Ing. IOSIF LINGVAY,
YOSAVN, maestru al sportului,
Ing. VASILE OCEANU, YO3NL**

Potibilitatea decalării cu $\pm 5 \div 6$ kHz a frecvenței de recepție față de cea de emisie la echipamentele complexe de emisie-recepție cu oscilator pilot comun este de o utilitate deosebită în traficul diurn și de DX al radioamatorilor. De aceea echipamentele de construcție recentă, atât cele industriale, cât și cele construite de amatori, au prezentat această facilitate din concepție.

In cele ce urmează se prezintă descrierea unui montaj simplu și foarte eficace care asigură această operație pentru emițătoare-receptoare de concepție mai veche, cu tuburi electronice. Montajul a fost realizat și experimentat pe un Tx/Rx de tip HW101, însă se poate atașa și la alte echipamente similare, iar cu mici modificări chiar la echipamente tranzistorizate.

O cerință de bază a unui montaj RIT este asigurarea revenirii la emisie pe frecvența centrală dictată de oscilatorul variabil, indiferent dacă RIT-ul este sau nu cuplat. O altă cerință este ca starea „cuplat” a RIT-ului să fie vizualizată, iar pe timpul receptiei să asigure o decalare controlată a frecvenței de recepție într-o plajă de $\pm 5 \div 6$ kHz și nu în ultimul rînd păstrarea stabilității de frecvență, atât pe recepție, cât și pe emisie, a echipamentului.

Montajul experimentalat de noi asigură aceste cerințe prin aceea că utilizează pe post de capacitate variabilă o jonctiune pn realizată prin difuzie adâncă în siliciu, jonctiune care în funcție de polarizarea inversă ce i se aplică poate să asigure o variație de capacitate suficientă pentru a produce deplasarea frecvenței la recepție cu ± 6 kHz. Asemenea jonctiuni se află în diodele IN4007.

Montajul prezentat în figură conține două părți distincte: o parte de comandă și reglaj, respectiv de obținere a unei tensiuni fixe de polarizare la emisie și a unei tensiuni reglabilă pe recepție, și o parte de capacitate variabilă controlată, legată în paralel cu condensatorul variabil al echipamentului de bază.

Montajul nu necesită sursă separată de tensiune. El obține tensiunile de polarizare din alimentarea Tx/Rx-ului de bază de pe retelele de comută și tensiunea pe diverse tuburi (componente) pe emisie și pe recepție. În cazul Tx/Rx-ului HW101, acest lucru este asigurat de retelele REL2, care pe borna 11 primește $+300$ V, tensiune pe care o comută fie pe borna 7 la recepție, fie la borna 3 la emisie, pentru a alimenta grilele G_2 ale tuburilor care funcționează fie numai pe emisie, fie numai pe recepție.

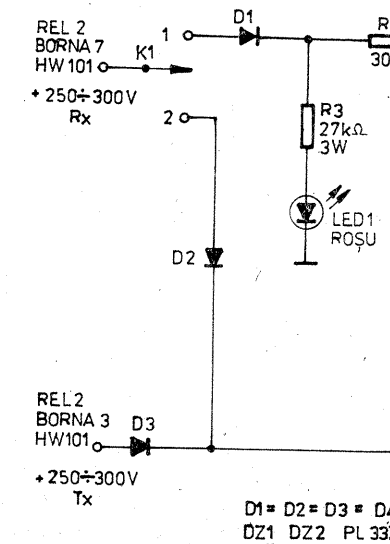
Cind RIT-ul este decuplat (K_1 în poziția 2) pe recepție prin D_2 , pe emisie prin D_3 , respectiv R_2 , se stabilizează tensiunea V_Z pe DZ_2 (între 25 V și 35 V, în funcție de exemplă).

Pentru banda a III-a FIF este bine să utilizăm două antene montate pe verticală sau orizontală. Pentru recepții TV-DX cele mai bune rezultate se pot obține cu grupul de $2H + 2V$. Pentru creșterea și mai mult a cîstigului putem interconecta și un amplificator corespunzător.

BIBLIOGRAFIE

Iosif Remete, YO2CJ — Antene pentru radioamatori, Editura Tehnică, București, 1979
Ezermester, 4/1983

rul și tipul ales), tensiune ce este divizată în raport constant pe R_4 și R_5 și cu care se polarizează în invers dioda D_4 ; capacitatea acesteia este inserată cu C_3 și grupul este legat în paralel cu condensatorul variabil al VFO-ului echipamentului de bază.



$D_1 = D_2 = D_3 = D_4 = \text{IN } 4007$
 $DZ_1 = DZ_2 = \text{PL } 33Z$ (sau $\text{PL } 27Z$) sortată ca în text
 C_3 - vezi text

La RIT cuplat (K_1 în poziția 1) pe emisie, dioda D_4 primește aceeași tensiune inversă ca și cum ar fi K_1 pe 2, întrucât divisorul R_4/R_5 de pe DZ_2 primește, prin R_2 și D_3 , tensiune de la $+250/300$ V emisie de la retelele de comandă al Tx/Rx-ului. Pe recepție se primește $+250/300$ V prin D_1 ce asigură aprinderea LED-ului („RIT în funcțiune”) și alimentarea divisorului P_1/R_5 cu tensiunea stabilizată pe DZ_1 și R_1 . În funcție de poziția cursorului potențiometrului P_1 , tensiunea de ieșire din divisor va fi mai mică sau mai mare decât pe poziția „emisie”, deci corespunzător și capacitatea lui D_4 , respectiv capacitatea totală $C_3/D_4/C_VFO$ implicit și frecvența VFO-ului pe recepție.

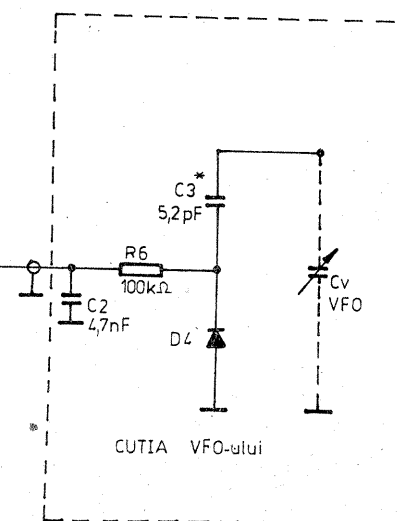
După cum se observă, condiția esențială a funcționării corecte a RIT-ului este ca la un curent de cca

1 mA cele două diode DZ_1 și DZ_2 să aibă aceeași tensiune stabilizată, deci se impun sortarea și împerecherea prealabilă a acestor diode cu o precizie de ± 50 mV.

Comutatorul K_1 este de tip „dreapta-stînga” cu două poziții, de fabricație „CONECT”, sau orice alt tip ce asigură o tensiune de izolație de minimum 300 V și se montează pe panoul frontal al Tx/Rx-ului într-un loc potrivit. Lîngă acest comutator se montează și LED1 tot pe panoul frontal (în cazul HW101 — dreapta sus, între instrument și marginea cutiei). Cablajul (30 x 15 mm), simplă făță, cu componentele $D_1 \div D_3$; $R_1 \div R_5$; DZ_1 ; DZ_2 ; C_1 , se lipeste direct pe o bornă a lui K_1 .

În cazul lui HW101 cu C_3 de 5,2 pF s-a obținut o decalare „dreapta-stînga” de ± 6 kHz pe recepție. Desigur, la alte echipamente cu CVFO de valori diferite, pentru a asigura un ecart de ± 6 kHz, C_3 se va alege corespunzător, însă practic valoarea acestuia va fi cuprinsă între 2 și 10 pF. În orice situație C_3 trebuie să fie un condensator de calitate cu coeficient termic cît mai mic. După montarea RIT-ului se recalibrează VFO-ul.

Calibrarea RIT-ului este relativ simplă. Se caută poziția lui P_1 ,



Potențiometrul P_1 (liniar) se montează tot pe panoul frontal, cît mai aproape de butonul CV_{VFO} (la HW101 între scală și instrumentul de bord).

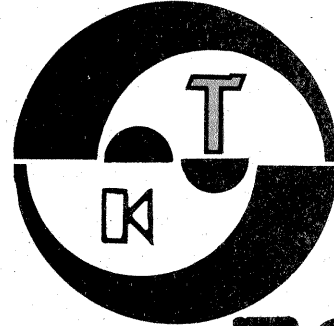
Grupul C_2 , R_6 , C_3 și D_4 se montează chiar în cutia ecranață a VFO-ului. În cazul lui HW101 pentru aceasta se slăbesc cele două suruburi ale butonului central, se scoate butonul, se scot cele două suruburi M3 de fixare a scalei, se scot cele 4 piulițe M4 de fixare a VFO-ului pe șasiu, se dezlipesc cele 3 fire de pe VFO și se scoate întreg VFO-ul de pe șasiu. Cablul de legătură dintre R_6/C_2 (din cutia VFO-ului) și cablajul imprimat cu prima unitate a RIT-ului va fi un cablu ecranat monofilar, de tip microfon, sau chiar o bucată de cablu coaxial de radiofrecvență subțire și flexibil.

Cabul de legătură între retelele de

(aproximativ la jumătatea cursei) în care, atât în poziția 1, cît și 2 a lui K_1 , stațiile se aud în aceeași poziție a CV_{VFO} , deci aceasta este poziția „centrală” care se marchează cu o linie lungă pe panoul frontal. Se solicită ca un corespondent (desigur, care are posibilitatea să controleze digital frecvența) să emită succesiv cu 1, 2, ... 6 kHz mai sus, respectiv mai jos de frecvența noastră. Cu RIT-ul cuplat, fără a mișca CV_{VFO} , numai din P_1 se caută corespondentul în fiecare poziție, poziție ce se marchează pe „bord” cu cîte o lină.

Pentru cei interesati în aceste reglaje și în realizarea acestui montaj simplu și deosebit de util stăm la dispozitia în oricare din benzile de frecvențe alocate radioamatorilor (3,5 ÷ 432 MHz).

CONCURSURI ALE UNOR COMISII JUDEȚENE DE RADIOAMATORISM		
CUPA "MOLDOVEI", Bacău, 3,5 MHz	22.II.	16-18utc
- etapa 1 cw	29.II.	16-18utc
- etapa 2 ssb	13.III.	07-09utc
MEMORIAL "DOCTOR SAVOPOL", Dolj, 3,5 MHz (cw,ssb)	4.IV.	15-16utc
- etapa 1 3,5 MHz	24.IV.	04-05utc
- etapa 2 7 MHz	09-10utc	
CUPA "ARGES", Argeș, 3,5 MHz, (cw,ssb)	7.V.	17-22utc
- etapa 1 3,5 MHz	22-05utc	
- etapa 2 432 MHz	05-15utc	
- etapa 3 144 MHz	19.V.	15-17utc
CUPA "HENRI COANDA", Dâmbovița, 3,5 MHz,(cw,ssb,mixt)	23.V.	15-17utc
CUPA "PETRODAVA", Neamț, 3,5 MHz (cw,ssb,mixt)	13.VI.	15-17utc
CUPA "TELEORMAN", Teleorman, 3,5 MHz (cw,ssb,mixt)	20.VI.	15-17utc
CUPA "CONSTRUCTORUL DE MASINI", Cluj, 144 MHz (cw,ssb,mixt)	25-26.VI.	16-16utc
CUPA "TOMIS", Constanța, 3,5 MHz (cw,ssb)	27.VI.	15-16utc
TROFEUL "FLOAREA DE MINA", Maramureș, 144 și 432 MHz (cw,ssb,mixt)	2-3.VII.	16-18utc
CUPA "MINERUL", Hunedoara, (cw,ssb,mixt)	11.VII.	15-17utc
- 3,5 MHz	18.VII.	12-18utc
- 144 MHz	2-4.IX.	
CUPA "BUCOVINEI", Suceava, telegrafie sală	12.IX.	15-16utc
CUPA "IMBROVITEL", Dimbovița, 3,5 MHz	19.IX.	15-17utc
CUPA "CIBINUM", Sibiu, 3,5 MHz	26.IX.	15-17utc
CUPA "BANATULUI", Arad, 3,5 MHz (cw,ssb,mixt)	24.X.	16-18utc
- etapa 1	31.X.	16-18utc
CONCURSURI REPUBLICANE ALE C.C. - U.T.C.		
CUPE ALE "UNIUNII TINERETULUI COMUNIST":		
- unde secrete 3,5 MHz	14,21,28,I	16-18utc
- unde ultracurte 144 MHz	14,21,28,I	20-22utc
- telegrafie sală	26-28,VIII	
- creație tehnico-scientifică	26-28,VIII	
- radiogoniometrie de amator	26-28,VIII	
CONCURSURI REPUBLICANE ALE C.N.O.P.		
CUPA "C.N.O.P."		
- 3,5 MHz etapa 1		10.III
- etapa 2		8,XII
- 7 MHz etapa 1		14.IV
- etapa 2		15.XII
TROFEUL "C.N.O.P." 144 MHz (cw,ssb,mixt)	30.VI	15-17utc
CONCURSUL REPUBLICAN TELEGRAFIE SALĂ, J2, m+f		
- etapa pe județ		VII
- etapa finală		VIII
CONCURSUL REPUBLICAN DE RADIOGONIOMETRIE DE AMATOR, J2, m+f		
- etapa pe județ		VI
- etapa finală		VIII
"PIONIERII ANULUI 2000", Bihor		
- etapa 7 MHz	26.V	07-09utc
- etapa 3,5 MHz		15-17utc



HI-FI

EGALIZOR GRAFIC STEREO

Ing. MARIN LAURENTIU

Majoritatea constructorilor electroniști, amatori sau profesioniști, își doresc echipamente electronice audio complexe — de preferat stereo — cît mai simplu de realizat. Instalațiile de acest fel sunt deosebit de necesare în lanțul audio de redare și amplificare a sunetului, ele corecînd cu mare exactitate în mai multe puncte bine determinate amplificarea sau atenuarea semnalului util. În general, egalizorul grafic are la bază folosirea filtrelor de tip LC, greu de realizat. Propun amatorilor HI-FI acest egalizor grafic stereo cu performanțe deosebite, care folosește numai filtre de tip RC, fiind conceput cu componente ușor accesibile tuturor amatorilor. Pentru simplificarea construcției, instalația a fost realizată pe două blocuri funcționale: egalizatorul propriu-zis și sursa de alimentare.

1. SCHEMA ELECTRICĂ

Schema electrică a egalizorului este prezentată în figura 1.

Caracteristicile lui sunt:

- Spectrul audio împărțit în 10 puncte utile de lucru, în fiecare din ele corecția făcîndu-se liniar. Acestea sunt: $f_1 = 31,25 \text{ Hz}$; $f_2 = 62,5 \text{ Hz}$; $f_3 = 125 \text{ Hz}$; $f_4 = 250 \text{ Hz}$; $f_5 = 500 \text{ Hz}$; $f_6 = 1 \text{ kHz}$; $f_7 = 2 \text{ kHz}$; $f_8 = 4 \text{ kHz}$; $f_9 = 8 \text{ kHz}$; $f_{10} = 16 \text{ kHz}$.

- Tensiunea de intrare $U_i = 1 \text{ V}$.

- Tensiunea de ieșire $U_e = 1 \text{ V}$.

- Impedanța de intrare $Z_i = 20 \text{ k}\Omega$.

- Impedanța de ieșire $Z_e = 1 \text{ k}\Omega$.

- Factorul de distorsiuni $\leq 0,02\%$ în banda audio.

- Amplificarea: $+12 \text{ dB}$.

- Atenuarea: -12 dB .

- Tensiunea de alimentare: diferențială, $\pm 15 \text{ V}$, stabilizată.

- Curentul absorbit: maximum 25 mA.

Semnalul util aplicat la intrare, obținut la ieșirea unui amplificator audio, este preluat de CI11, în conexiune neinvărsoră și cu amplificare unitară (raportul rezistențelor R64 și R62 este 1) și cedat celor zece frecvențe de lucru, fiecare reprezentând cîte un filtru trece-bandă, avînd la bază cîte un CI cu reacție negativă. Se observă că toate filtrele sunt identice între ele, atît sub aspectul schemei electrice, cît și al componentelor folosite pe fiecare celulă de filtrare, deosebirea constînd în valorile condensatoarelor folosite, ele afîndu-se în raportul de 10:1 (raportul dintre condensatoarele cu indice par și condensatoarele cu indice impar este 10).

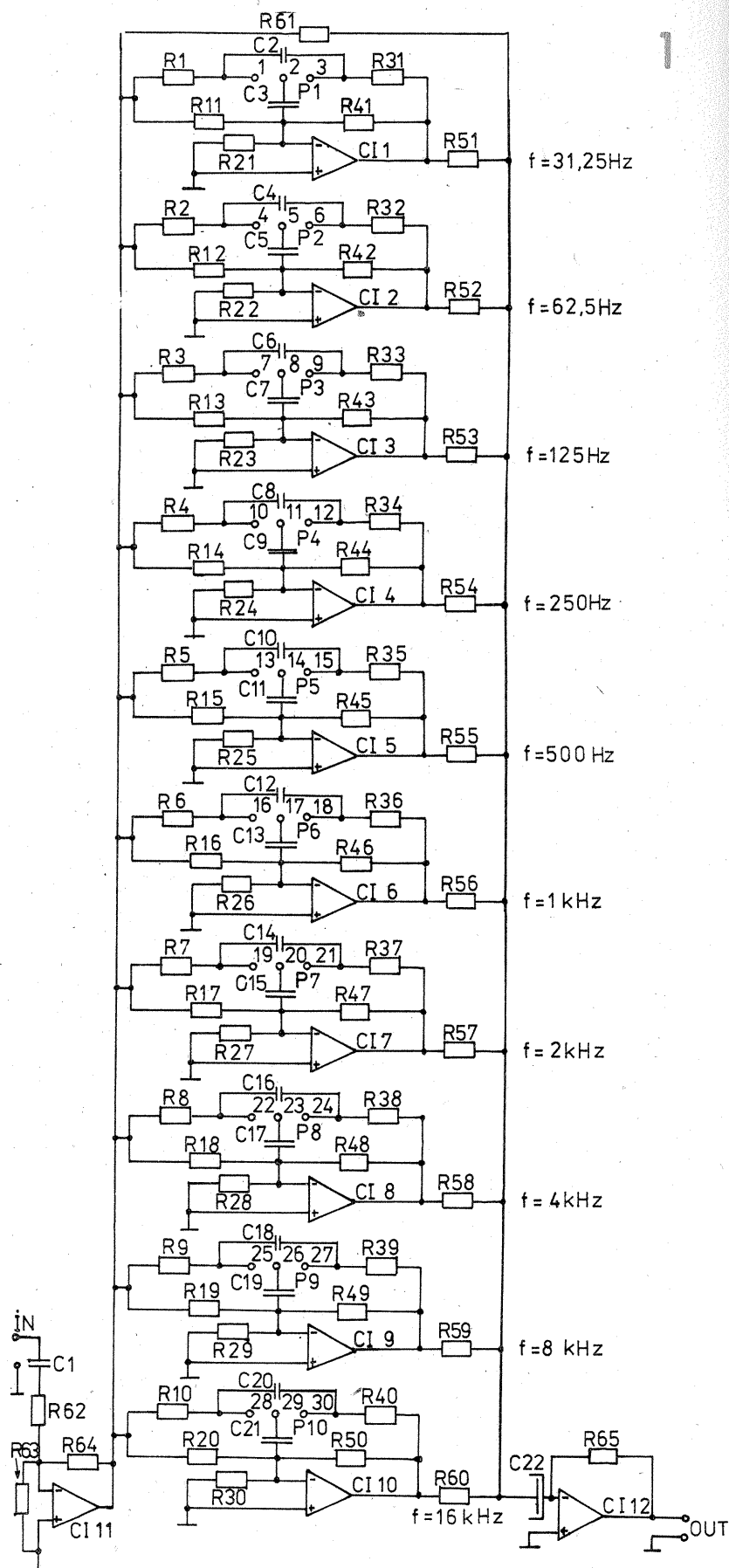
Pentru exemplificarea funcționării voi considera filtrul pentru frecvența de 31,25 Hz, funcționarea celorlalte fiind identică. Schema are la bază un dublu T: primul format din R_1 , C_2 , P_1 , R_{31} , al doilea din R_{11} , R_{21} , R_{41} , intercalată în bucla de reacție negativă a AO (CI1), impedanța filtrului fiind foarte mare pentru frecvența centrală, tîndînd să se mic-

cele două bare de masă se află notate cu literele a și b_i ($i = 1, 2, 3, 4, 5, 6$) bornele de alimentare ale operaționalelor.

În partea inferioară a cablajului se găsesc încă două bare de alimentare (+ și -) purtînd pe ele aceeași indici a și b_i ; indicii sinonimi vor fi uniti între ei cu strapuri de sîrmă. Fiecare AO fiind perfect simetric, a fost posibilă alcătuirea cablajului prin „răsturnare” față de axa sa longitudinală de simetrie, totodată putîndu-se realiza și cablarea unei frecvențe pentru ambele canale. Valoarea fiecărei frecvențe este trecută deasupra și respectiv dedesubtul liniei de însumare a semnalelor obținute la ieșirea AO. Atât în schemă, cît și pe cablaj se pot ob-

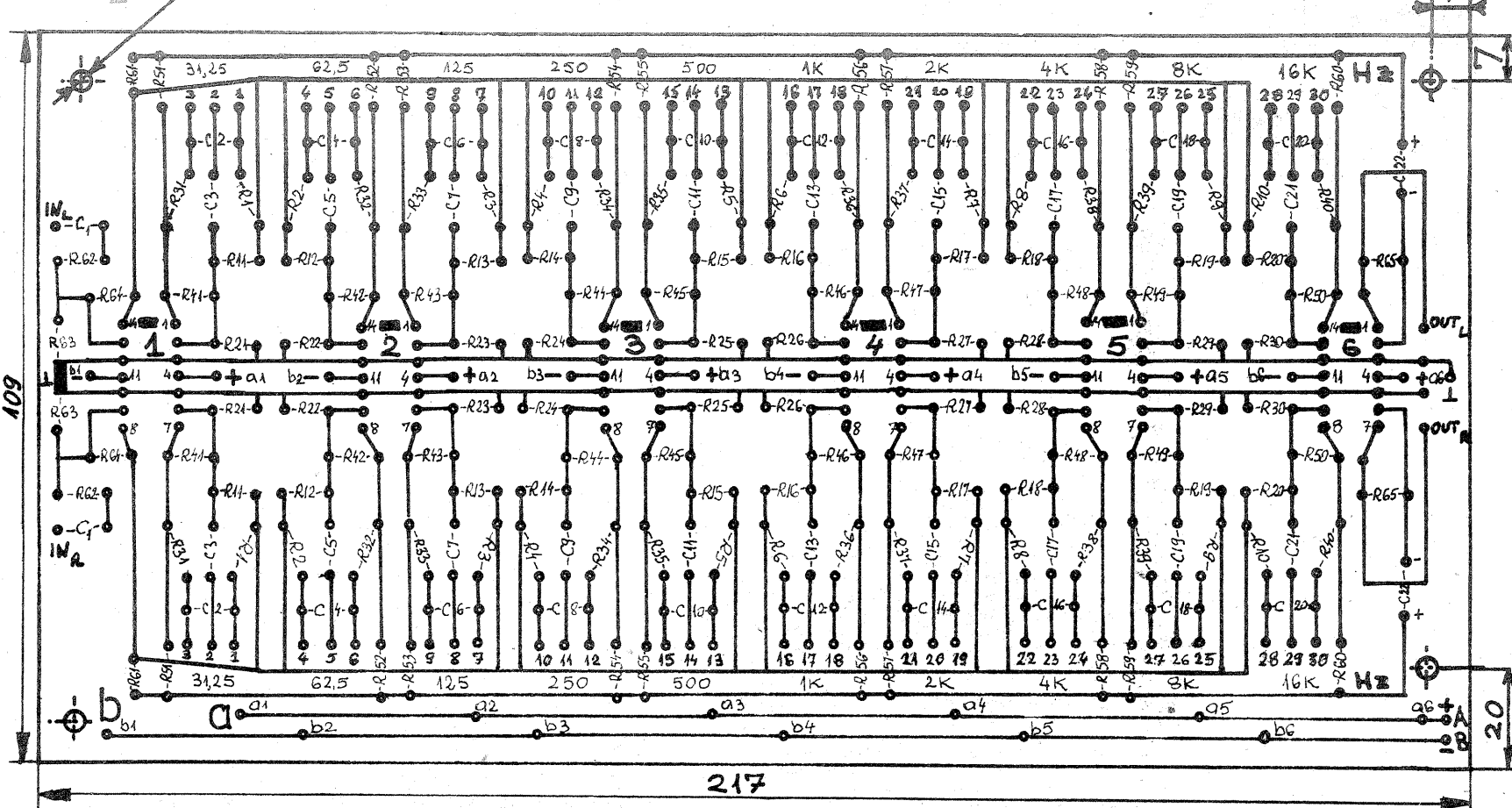
serva grupuri de trei numere (de la 1 la 30) reprezentînd bornele de conectare ale potențiometrelor; cifra sau numărul median desemnează cursorul potențiometrului alocat frecvenței respective.

Ca potențiometre am folosit tipul P35028 (-, B), produse ale industriei electronice românești, avînd două găuri de fixare M3, prevăzute pe partea dinspre terminale, ele putînd fi cablate, așa cum este arătat cablajul potențiometrelor văzut dinspre partea placă — un canal reprezentat în figura 4. De la fiecare canal pornesc 30 de conduceare ecranate; numărul inscripționat pe cablajul egalizorului corespunde întocmai numărului de pe cablajul potențiometrelor.



4găuri Ø3,2

Cabajui egalizorului grafic (stereo) văzut dinspre partea placării



217

LISTA DE PIESE

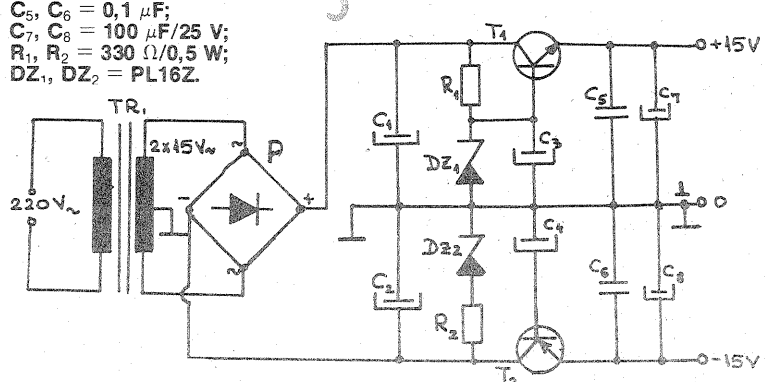
CI1÷CI12 - BA741(MONO)
 - BM324(STEREO)
 R1÷R10, 10k Ω
 R31÷R40
 R21÷R30, 2,2k Ω
 R11÷R20, 1M Ω
 R41÷R50
 R51÷R60, R62, R64, 100k Ω
 R65
 R61, 11k Ω .
 R63, 22k Ω .
 P1÷P10 - 100k Ω liniar
 tip P35028(-,B)

C1 - 470nF C12 - 5,6nF
 C2 - 180nF C13 - 560pF
 C3 - 18nF C14 - 2,7nF
 C4 - 100nF C15 - 270pF
 C5 - 10nF C16 - 1,5nF
 C6 - 47nF C17 - 150pF
 C7 - 4,7nF C18 - 680pF
 C8 - 22nF C19 - 68pF
 C9 - 2,2nF C20 - 330pF
 C10 - 12nF C21 - 33pF
 C11 - 1,2nF C22 - 4,7 μ F
 16V

Alimentatorul stabilizat
 T₁, T₂ = pereche BD135-BD136;

P = puncte 3PM05;
 C₁, C₂ = 1 000 μ F/25 V;
 C₃, C₄ = 470 μ F/25 V;
 C₅, C₆ = 0,1 μ F;
 C₇, C₈ = 100 μ F/25 V;
 R₁, R₂ = 330 Ω /0,5 W;
 DZ₁, DZ₂ = PL16Z.

TR,

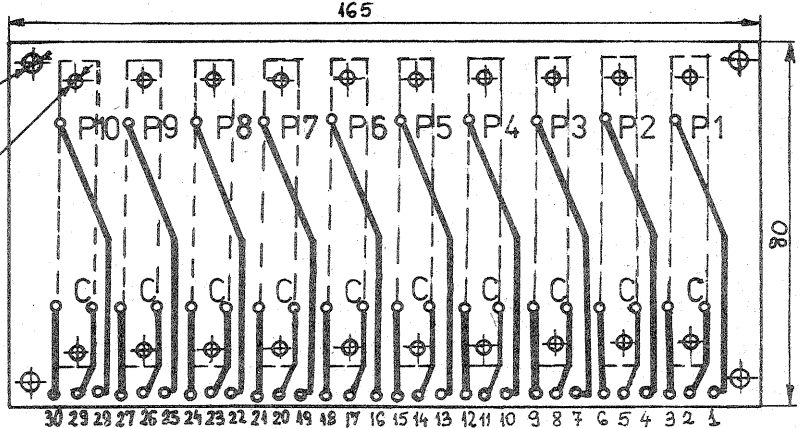


4găuri Ø4,2
20găuri Ø3,2

Scara 60%

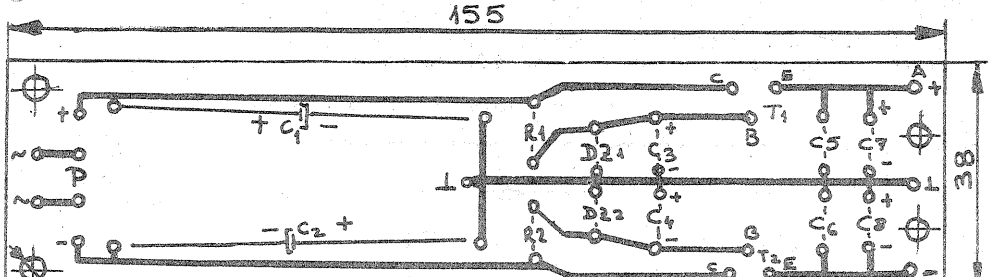
6 Scara 80%

165



Scara 80%

155



4găuri Ø3,2

2. SURSA DE ALIMENTARE

Sursa este reprezentată în figura 5, iar cabajui acestela în figura 6. Tensiunea necesară funcționării egalizorului grafic stereo este diferențială, ± 15 V, și se obține de la un transformator ce furnizează în secundar 2×15 Vca. Această tensiune este redresată apoi într-o primă etapă filtrată, stabilizată și din nou dublu redresată, pentru a nu permite fluctuații de tensiune în timpul funcționării montajului. Pentru o mai bună stabilitate a alimentării se recomandă ca tranzistoarele T₁ și T₂ să fie perechi. Pentru condensatoarele electrolitice se pot folosi cele din seria EG, recomandându-se tipurile: C₁, C₂ = EG 74.74;

C₃, C₄ = EG 52.62; C₇, C₈ = EG 61.37.

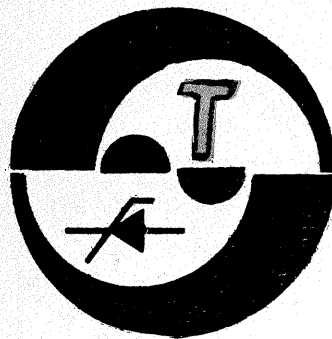
De la cabajui sursei vor porni trei conductoare (noteate cu A, \perp , B), măsa conectindu-se la punctul median al cabajului egalizorului, celelalte două borne alimentând cele două bare noteate prin sinonimie tot cu A (+) și B (-).

Transformatorul de alimentare se poate realiza pe un miez de ferosiliciu cu secțiunea de maximum 5 cm², avind în primar N₁ = 2 200 de spire CuEm Ø 0,25, iar în secundar 2 x 150 ± 160 de spire Ø 0,3 CuEm.

3. INDICAȚII CONSTRUCTIVE

Toate conexiunile (intrări, ieșiri, legăturile potențiometrelor la ca-

(CONTINUARE ÎN PAG. 5)



CONTOR ELECTRONIC DE BANDĂ

Ing. VICTOR DAVID, București

I. GENERALITĂȚI

Informația necesară funcționării unui contor electronic de bandă pentru magnetofon/casetofon constă din impulsuri de numărare și dintr-un bit de sens. Impulsurile de numărare, obținute prin trecerea printr-un sistem bec+fotocelulă a unui disc obturător coaxial cu tamburul rolei colectoare de bandă, sunt amplificate și formate pentru a fi compatibile cu partea logică de numărare. Un discriminator de sens formează bitul de sens care comandă incrementarea/decrementarea conținutului numărătorului, în funcție de rotirea înainte/inapoi a rolei colectoare.

Cel mai simplu discriminator de sens (fig. 1) utilizează contactele normal deschise K_1 , K_2 , K_3 montate pe claviatura magnetofonului/casetofonului: K_1 pe tasta „înainte”, K_2 pe „derulare înainte” și respectiv K_3 pe „derulare înapoi”. Pentru funcțiile „înainte” și „derulare înainte” se închide unul din contactele K_1 și K_2 , ținând în HIGH ieșirea portii P_1 , deci intrarea COUNT DOWN (pinul 4) a numărătorului reversibil CDB4192. K_3 fiind deschis, impulsurile de numărare vor trece prin poarta P_2 spre intrarea COUNT UP (pinul 5) incrementând conținutul numărătorului.

Analog, cînd se actionează tasta „derulare înapoi”, deci se închide K_3 , se creează condițiile de decrementare pentru numărător: nivel HIGH pe intrarea COUNT UP și impulsuri de numărare pe COUNT DOWN.

Acest discriminator foarte simplu, folosit și în aparate industriale, are dezavantajul că nu poate sesiza sensul real de rotație al rolei colectoare de bandă în situații date. În plus,

montarea de către amatori a contactelor pe o tastatură existentă nu este întotdeauna simplă mecanic.

Păstrînd avantajul simplității, schema de contor electronic de bandă (fig. 2) realizează amplificarea și formarea impulsurilor de numărare, ca și detectarea sensului real de rotație cu numai două circuite integrate.

Schimbația poate fi utilă și în alte aplicații: traductor incremental de unghi, mașină (semi) automată de bobinat etc.

II. FUNCȚIONARE

Fototranzistoarele T_1 , T_2 , T_3 fiind normal iluminate, comparatoarele din C1 își schimbă starea cînd fascicul luminos este întrerupt de obturatator 1 solidar cu axul 2 (fig. 4).

Axul se rotește o dată cu tamburul rolei colectoare, fiind coaxial cu acesta sau preluînd rotația prin fricție sau prin curea. Nivelurile de tensiune de pe intrările inversoare ale celor trei comparatoare utilizate din C1 sunt comparate cu o tensiune fixă (+2,5 V), obținîndu-se la ieșiri niveluri TTL diferite, după cum fototranzistorul este iluminat sau obturat.

Impulsurile sunt formate datorită caracteristicii de histerezis a comparatoarelor, caracteristică dată de prezența rezistențelor R_2 , R_5 , R_8 . Traductoarele T_1 , T_3 comandă bistabilul RS format din portile P_1 , P_2 astfel încît impulsurile de numărare culese de traductorul T_2 sunt dirigate prin portile P_3 sau P_4 spre intrările COUNT UP sau COUNT DOWN ale numărătorului.

În figura 3 am exemplificat funcționarea discriminatorului de sens pentru rotația rolei colectoare în sensul ABC. Se observă că în punctul F avem impulsuri de numărare, în timp ce punctul G este menținut în HIGH, deci numărătorul va număra înainte. Analog, pentru sensul de rotație CBA vom avea nivel HIGH în punctul F, iar impulsurile de numărare vor apărea pe intrarea COUNT DOWN a numărătorului.

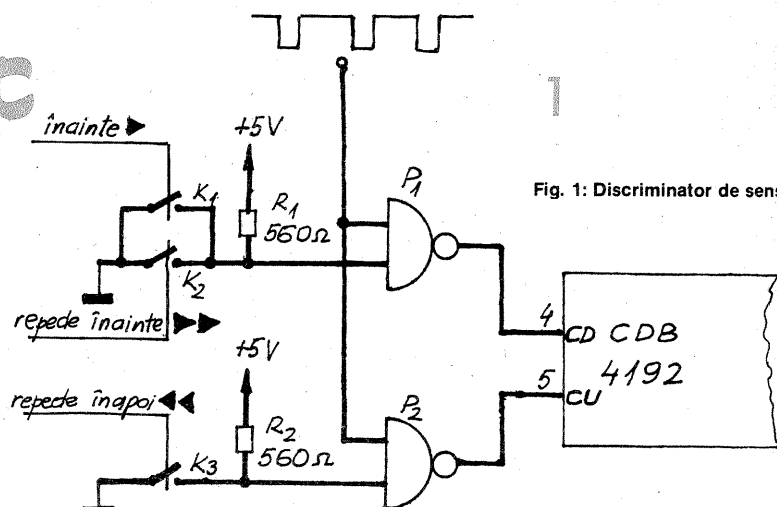


Fig. 1: Discriminator de sens

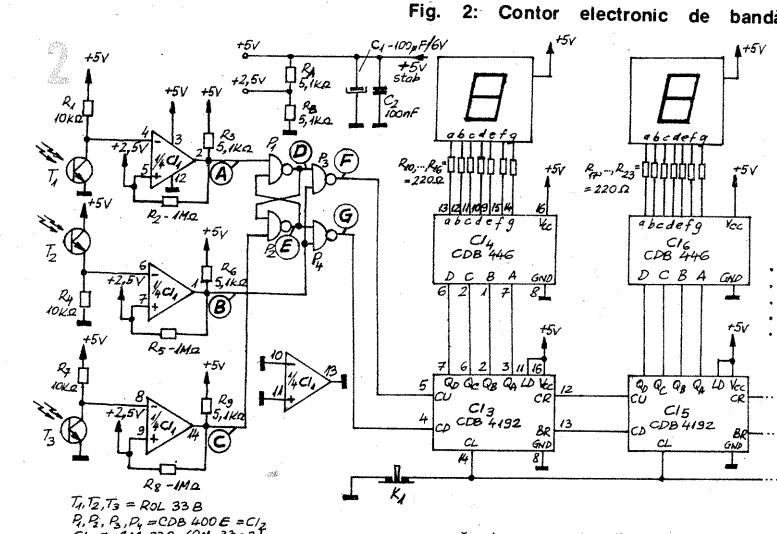


Fig. 2: Contor electronic de bandă

tul F avem impulsuri de numărare, în timp ce punctul G este menținut în HIGH, deci numărătorul va număra înainte. Analog, pentru sensul de rotație CBA vom avea nivel HIGH în punctul F, iar impulsurile de numărare vor apărea pe intrarea COUNT DOWN a numărătorului.

Blocul de numărare, decodificare și afișare este clasic.

Contactul K_1 este destinat aducerii la zero a numărătoarelor.

III. INDICAȚII CONSTRUCTIVE

Dimensionarea și dispunerea reperelor mecanice, indicate în figura 4, sunt orientative, fiind cele utilizate de autor pe o parte mecanică de magnetofon.

Obturătorul 1 se execută din tablă subțire de aluminiu eloxat sau vopsit negru și se montează pe axul supraveheat, 2, prin presare și lipire cu răsină epoxidică.

Beturile și respectiv fototranzistoarele se montează în două plăci paralele de textolit sau din material plastic opac, fără a depăși suprafața plăcii. Distanța între plăci va fi minimă, permitînd mișcarea obturătorului printre ele.

Funcționarea este corectă dacă avem la ieșirile comparatoarelor cu T_1 , T_3 (în punctele A și C) o tensiune mai mică de 0,7 V la intuneric, respectiv mai mare de 4 V la lumină. Comparitorul cu T_2 (ieseja B) lu-

crează invers. Intrările și ieșirea comparatorului neutilizat din circuitul $\beta M 339$ se conectează la masă.

BIBLIOGRAFIE:

R. Răpeanu s.a., „Circuite integrate analogice”, Editura Tehnică, 1983.

Fig. 3: Diagrama de stări a contorului

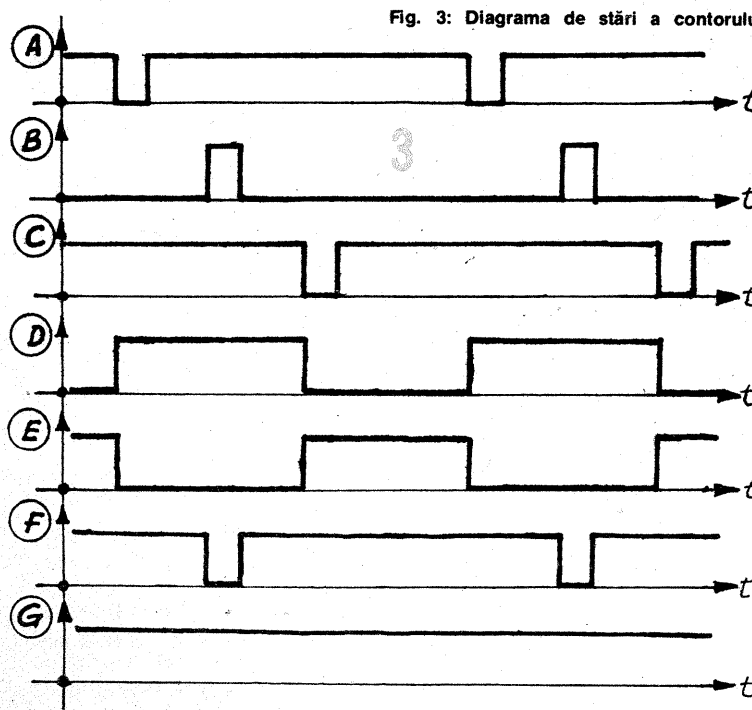
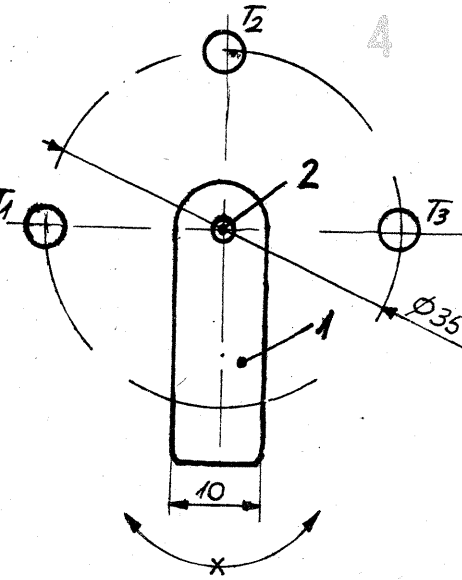
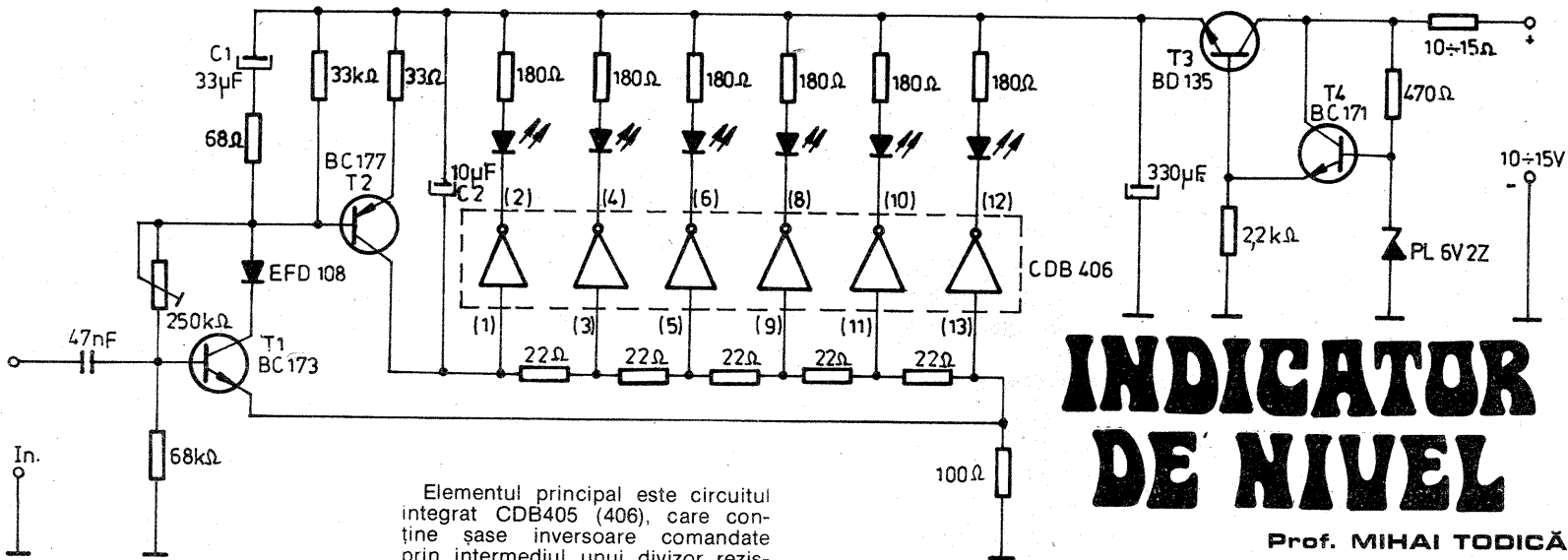


Fig. 4: Dispunerea reperelor mecanice și a traductoarelor





INDICATOR DE NIVEL

Prof. MIHAI TODICĂ,
Cimpia Turzii

Elementul principal este circuitul integrat CDB405 (406), care conține șase inversoare comandate prin intermediul unui divizor rezisitiv. Acesta constituie sarcina unui amplificator de curent continuu, realizat cu tranzistoarele T_1 și T_2 . Particularitatea montajului o constituie reacția negativă obținută cu rezistența de 100Ω din emitorul lui T_1 , ceea ce determină un răspuns de: $-15; -10; -5; -2; 0; +2$ dB.

Alte răspunsuri se pot obține prin alte tipuri de reacție.

Condensatoarele electrolitice C_1 și C_2 determină viteza de răspuns a amplificatorului.

Stabilizatorul de tensiune furnizează 5 V la minimum 200 mA, putând alimenta două indicații, în cazul variantei stereo.

Circuitul integrat se alimentează prin pinii 7, legat la masă, și 14, legat la $+5$ V. Cifrele din paranteză indică terminalele circuitului.

La punerea în funcțiune se va verifica întâi tensiunea de alimentare de 5 V, apoi se va acționa asupra semireglabilului de $250\text{ k}\Omega$, în sensul

micsorării rezistenței. Trebuie să se obțină o aprindere succesivă a LED-urilor. Se rotește apoi invers, pînă cînd ultimul LED se stingă. Atingerea bazei lui T_1 cu o șurubelniță trebuie să ducă la aprinderea cîtoră LED-uri. Cu aceasta, reglajul este terminat.

Indicatorul se conectează la ieșirea DIN a casetofonului, sensibilitatea de intrare fiind mai mică de 200 mV.

generator

Sing. PETRU MINEA, Brașov

Montajul foloseste un circuit integrat CDB400E la care se cuplează circuite oscilante RC. Două porți NU-ȘI lucrează pentru dungi orizontale, două pentru dungi verticale.

Montajul generează 12 dungi verticale și 8 dungi orizontale. Porțile NU-ȘI lucrează ca circuite basculante, două cîte două. Pentru a nu se influențeze cele două perechi de

porți, se introduc, la ieșire, două diode redresoare cu siliciu. Tensiunea de alimentare este de 5 Vcc, stabilizată electronic.

Cu ajutorul acestui montaj se pot executa lucrări de depanare la receptoarele TV în lipsa semnalului stației de emisie. Montajul este simplu, de dimensiuni mici și ușor de executat.

CIRCUIT DE REGLARE

IOAN TURCU, Cisnădie

Schema permite utilizarea unei fracțiuni N/10 din puterea nominală a unui consumator electric cu inerție mare ($N = 1$ pînă la 10 și poate fi selectat cu comutatorul decadic K). Deoarece tiristorul conduce N semialternanțe de rețea din 10, montajul nu produce paraziți pe rețea electrică, în schimb nu poate fi utilizat la reglarea intensității luminoase, deoarece dă pîlpîuri sesizabile.

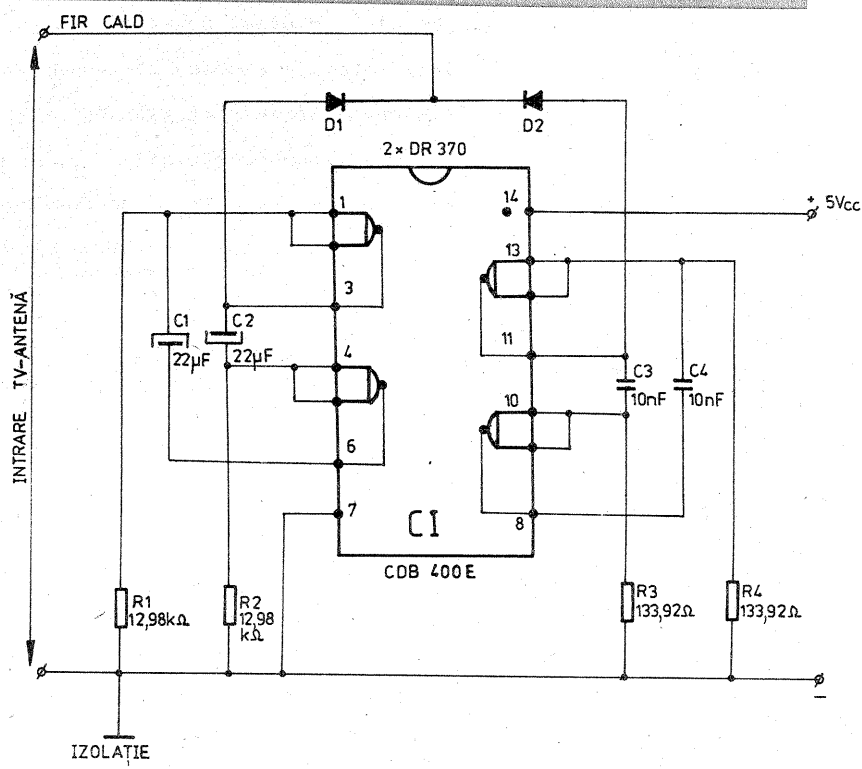
Schema cuprinde un formator de impulsuri sincronizate cu rețea, care furnizează tactul pentru numărătorul decadic 4192, ieșirile lui fiind decodificate cu circuitul 442. În funcție de poziția lui K, după N semialternanțe ale rețelei se activează tactul T al bistabilului D, care face ca ieșirea sa Q să treacă în zero, blocînd astfel calea spre tiristor a oscilațiilor de amorsare de 1 kHz. Circuitul 4192 își continuă între timp numărarea, pînă ce ajunge la

valoarea maximă, cînd cu Cy se tează din nou bistabilul, amorsîndu-se iarăși tiristorul pentru cele N semialternanțe următoare ale tensiunii rețelei.

Alimentarea integratorelor la 5 V se face cu montajul clasic cu tranzistor serie. Sarcina R_s poate fi, de exemplu, o rezistență pentru încălzirea substanelor foto etc. Comutatorul K poate fi unul industrial sau, în lipsă, se poate construi artizanal, de exemplu după modelul propus în numărul 10/1982 al revistei „Tehnium“.

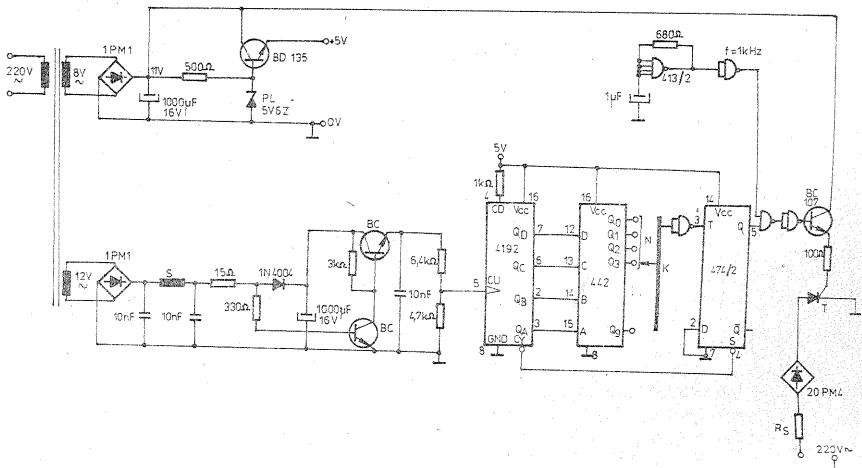
Pentru amorsarea sigură a tiristorului, poarta acestuia este atacată de trenuri de impulsuri cu frecvență de 1 kHz, generate de montajul cu CDB413. Accesul acestora la poarta tiristorului este validat cu porțile circuitului CDB400.

Transformatorul trebuie să dea cele două tensiuni: de alimentare, 8 V/500 mA, și de sincronizare, 12 V/50



mA. Scolul S din filtru se realizează prin bobinarea a 60–80 de spire CuEm 0,1 mm pe corpul unui rezistor de 0,5 W de valoare mare (peste

470 $\text{k}\Omega$). Tiristorul și puntea din partea de forță se aleg în funcție de puterea consumatorului R_s .



CALCULE CHIMICE

Chimist DAN SERACU

Pentru a veni în sprijinul tinerilor elevi, studenți, chimici, laboranți, cercetători etc. care sunt preocupăți de implementarea tehniciilor moderne de prelucrare a datelor în domeniul chimiei, prezentăm alăturate un program complex de calcule chimice (masa echivalentă, soluțiile molare și normale, calcule stoichiometrice etc.) prin intermediu calculatorului personal.

```

10 PRINT CHR$(24)
20 FOR I=1 TO 16
30 PRINT CHR$(26);:NEXT I
40 PRINT"
50 PRINT"
60 PRINT:PRINT:PRINT
70 PRINT"
80 PRINT"
90 PRINT:PRINT:PRINT:PRINT:PRINT:PRINT:PRINT:PRINT TAB(50);"Compilation D. Seracu (1987)"
100 FOR I=1 TO 400 STEP .5:NEXT I
110 PRINT CHR$(24)
120 FOR I=1 TO 23
130 PRINT CHR$(26);
140 NEXT I
150 PRINT CHR$(7):PRINT"SUBRUTINE:"
160 PRINT:PRINT"      1. calculul masei atomice sau moleculare"
170 PRINT
180 PRINT"      2. calculul masei echivalente"
190 PRINT"      3. calculul solutiei molare"
200 PRINT"      4. calculul solutiei normale"
210 PRINT"      5. proprietatile atomice ale unui element"
220 PRINT"      6. listarea elementelor chimice"
230 PRINT"      7. calcule stoichiometrice"
240 PRINT"      8. calculul nr. de moli si de echivalenti-gram"
250 PRINT
260 PRINT"      9. calculul molaritatii si normalitatii unei solutii"
270 PRINT"Elementele artificiale sunt simbolizate dupa nume cu '0',"
280 PRINT"iar cele radioactive naturale cu '*'"
290 PRINT
300 PRINT"      10. calculul masei atomice sau moleculare"
310 PRINT
320 PRINT"      11. calculul molaritatii si normalitatii unei solutii"
330 PRINT:PRINT"Elementele artificiale sunt simbolizate dupa nume cu '0',"
340 PRINT"iar cele radioactive naturale cu '*'"
350 PRINT
360 INPUT" TASTATI NR. SUBRUTINEI NECESSARE ",S
370 ON S GOSUB 440,1000,750,1030,1100,1340,1450,2630,2730
380 PRINT:INPUT"DORITI O ALTA SUBRUTINA ";V$:IF LEFT$(V$,1)="D" THEN 110
390 PRINT CHR$(24):FOR I=1 TO 22:PRINT CHR$(26);:NEXT I:PRINT
400 FOR I=1 TO 8:PRINT:NEXT I
410 PRINT"          L A   R E V E D E R E   !"
420 FOR I=1 TO 10:PRINT:NEXT I
430 END
440 PRINT CHR$(24):FOR I=1 TO 22:PRINT CHR$(26);:NEXT I:PRINT:PRINT:INPUT" MASA ATOMICA SAU MOLECULARA (A/M)"; V$
450 IF V$="M" THEN 550
460 RESTORE
470 PRINT:INPUT"INTRODUCETI SIMBOLUL ";A$:PRINT
480 GOSUB 1540
490 IF D$=A$ THEN 520
500 IF D$="&&" THEN PRINT "Nu-l gasesc":GOTO 380
510 GOTO 480
520 IF RIGHT$(E$,1)="U" THEN PRINT E$;"L ARE MASA ATOMICA ";C:GOTO 540
530 PRINT E$;"UL ARE MASA ATOMICA ";C
540 RESTORE:RETURN
550 GOSUB 570
560 PRINT" MASA MOLARA M=";MM:RETURN
570 REM *** SUBRUTINA DE CALCUL A MASEI MOLARE ***
580 RESTORE:MM=0
590 PRINT:INPUT"CITE TIPURI DE ELEMENTE";NE
600 FOR I=1 TO NE:PRINT"SIMBOLUL ELEMENTULUI ";I:INPUT A$(I)
610 PRINT"CITI ATOMI DE ";A$(I):INPUT N(I)
620 GOSUB 1540
630 IF D$=A$(I) THEN 660
640 IF D$="&&" THEN PRINT "Nu-l gasesc":RESTORE:GOTO 600
650 GOTO 620
660 C(I)=C
670 RESTORE:NEXT I
680 W=1
690 A(W)=N(W)*C(W)
700 IF W=NE THEN 720
710 W=W+1:GOTO 690
720 FOR W=1 TO NE
730 MM=MM+A(W):NEXT W
740 RESTORE:RETURN
750 PRINT CHR$(24):FOR I=1 TO 22:PRINT CHR$(26);:NEXT I:PRINT:PRINT:INPUT"NUMELE SUBSTANTEI";NS$
760 INPUT"CE MOLARITATE";M
770 INPUT "CITI LITRI";L
780 GOSUB 570
790 PRINT:PRINT" VETI CINTARI DIN ";NS$
800 PRINT TAB(12);MM*M;" g/l, RESPECTIV "
810 PRINT TAB(12);MM*M*L;" g LA ";L;" LITRI"
820 RESTORE:RETURN

```

```

830 PRINT:INPUT "DATI NUMELE SUBSTANTEI ",NS
840 INPUT "REACTIE REDOX SAU NU ",REDX
850 IF LEFT$(REDX,1)="N" THEN 890
860 INPUT "VALENTA MAXIMA SI MINIMA ",VAL1,VAL2
870 H=ABS(VAL1-VAL2):REM *** NR DE ELECTRONI SCHIMBATI DE O MOLECULA DE NS ***
880 GOTO 970
890 INPUT "ACID/BAZA/SARE (1/2/3)",V
900 ON V GOTO 920,930,940
910 PRINT " 1, 2 SAU 3 !":GOTO 890
920 INPUT "NR DE PROTONI ",H:GOTO 970
930 INPUT "NR DE OXIDRILII ",H:GOTO 970
940 INPUT "NR DE CATIONI ",C
950 INPUT "VALENTA LOR ",V
960 H=V*C
970 GOSUB 570
980 N=MM/H
990 RETURN
1000 PRINT CHR$(24):FOR I=1 TO 22:PRINT CHR$(26);:NEXT I:PRINT:GOSUB 830
1010 PRINT "Masa echivalenta a ";NS;" este ";N
1020 RETURN
1030 PRINT CHR$(24):FOR I=1 TO 22:PRINT CHR$(26);:NEXT I:PRINT:GOSUB 830
1040 PRINT:INPUT "CE NORMALITATE ",NM
1050 INPUT "CITI LITRI ";L
1060 PRINT:PRINT " VETI CINTARI DIN ";NS
1070 PRINT TAB(12);N*NM;" g/l, RESPECTIV"
1080 PRINT TAB(12);N*NM*L;" g la ";L;" LITRI
1090 RETURN
1100 PRINT CHR$(24):FOR I=1 TO 22:PRINT CHR$(26);:NEXT I:PRINT:RESTORE
1110 PRINT:INPUT "SIMBOL SAU NR. DE ORDINE (S/Z) ";W
1120 IF W="Z" THEN 1170
1130 PRINT:INPUT "SIMBOLUL ";A
1140 GOSUB 1540
1150 IF D="&&" THEN 1320
1160 IF D=A THEN 1210 ELSE 1140
1170 PRINT:INPUT "NR DE ORDINE Z = ";X
1180 GOSUB 1540
1190 IF D="&&" THEN 1320
1200 IF Z=X THEN 1210 ELSE 1180
1210 FOR I=1 TO 5:PRINT:NEXT I:PRINT CHR$(7)
1220 PRINT TAB(25);E:PRINT
1230 PRINT:PRINT " Z=";Z,"Simbol: ";D,"A=";C,"Densitatea (g/ml) =";D
1240 PRINT " P.t.=";PT,"P.f.=";PF,"Raza atomica (pt coordonate 12)=";RAT
1250 PRINT " Raza covalenta [A] =";RCOV,"Cald. specif. [cal/g*grad]=";CSP
1260 PRINT TAB(10);" Electronegativitatea (dupa Pauling) =";PEL
1270 PRINT TAB(10);" Energia primei ionizari [kcal/g*mol] =";IEN
1280 PRINT TAB(10);" Volum atomic =";VOLA,"Perioada/Grupa ";PER;"/";GR
1290 PRINT TAB(10);" Stari de oxidare: ";OX
1300 FOR I=1 TO 5:PRINT:NEXT I
1310 RESTORE:RETURN
1320 PRINT "Nu-l gasesc !"
1330 GOTO 1310
1340 PRINT CHR$(24):FOR I=1 TO 22:PRINT CHR$(26);:NEXT I:PRINT:RESTORE
1350 GOSUB 1540
1360 IF D<>"&&" THEN 1390
1370 PRINT
1380 PRINT " G A T A !":RESTORE:RETURN
1390 IF INT(Z/23)=Z/23 THEN 1410
1400 PRINT " ";E,D," Z=";Z,"A=";C,"PER/GR :";PER;"/";GR:GOTO 1350
1410 PRINT " ";E,D," Z=";Z,"A=";C,"PER/GR :";PER;"/";GR
1420 PRINT " Continuam sau ajunge (C/A) ":INPUT W
1430 IF W="A" THEN RETURN
1440 GOTO 1350
1450 PRINT CHR$(24):FOR I=1 TO 22:PRINT CHR$(26);:NEXT I:PRINT:PRINT "PENTRU A CALCULA: X -> Y"
1460 PRINT " X: ";GOSUB 570
1470 X=MM
1480 PRINT " Y: ";GOSUB 570
1490 Y=MM
1500 Q=INT(100*Y/X)/100
1510 PRINT " Y=";Q;"%"*
1520 PRINT " X=";INT(100/Q)/100;"%"*
1530 RETURN
1540 READ Z,D,C,D,PT,PF,RAT,RCOV,CSP,PEL,IEN,S,VOLA,PER,GR,OX,E
1550 RETURN
1560 DATA 1,H,1.00797,0.071,-259.2,-252.7,,0.32,3.45,2.1,313,1s1,14,1,1,1,1,HIDROGEN
1570 DATA 2,He,4.005260,0.126,-269.7,-268.9,,0.93,1.25,,567,1s2,31,8,1,0,0,HELIU
1580 DATA 3,LI,6.941,.53,180.5,1330,1.55,1.23,.79,1!,124,[He]2s1,13,1,2,1A,1,LITIU
1590 DATA 4,Be,9.01218,1.85,1227,2770,1.12,0.90,0.45,1.5,215,[He]2s2,5,0,2,2a,2,BERILIU
1600 DATA 5,B,10.81,2.34,[2030],,0.98,0.82,0.309,2.0,191,[He]2s2.2p1,4,6,2,3a,3,BOR
1610 DATA 6,C,12.011,2.26,3727,4830,0.914,0.77,0.165,2.5,260,[He]2s2.2p2,5,3,2,4a,2,4,CARBON
1620 DATA 7,N,14.0067,0.81,-210,-195,0.92,0.75,0.247,3,0,336,[He]2s2.2p3,17,3,2,5a,-3,2,3,4,5,AZOT
1630 DATA 8,O,15.9994,1.14,-218.8,-183,,0.73,0.218,3.5,314,[He]2s2.2p4,14,0,2,6a,-2,OXIGEN
1640 DATA 9,F,18.99840,1.505,-219.6,-188.2,,0.72,0.18,4,0,402,[He]2s2.2p5,17,1,2,7a,-1,FLUOR
1650 DATA 10,Ne,20.179,1.20,-246.6,-246,,0.71,,,497,[He]2s2.2p6,16,8,2,0,,NEON
1660 DATA 11,Mg,22.98977,0.97,98.892,1.90,1.54,0.295,09,119,[Ne]3s1,23,7,3,1a,1,SODIU
1670 DATA 12,Mg,24.305,1.74,650,1107,1.60,1.37,0.25,1.2,176,[Ne]3s2,14,0,3,2a,2,MAGNEZIU
1680 DATA 13,Al,26.98054,2.70,660,2450,1.43,0.18,0.215,1.5,138,[Ne]3s2.3p1,10,0,3,3a,3,ALUMINIU
1690 DATA 14,Si,28.086,2.33,1410,2680,1.32,1.11,0.162,1.8,188,[Ne]3s2.3p2,12,1,3,4a,4,SILICIU
1700 DATA 15,P,30.97376,1.82,44.2,280,1.28,1.06,0.177,2.1,254,[Ne]3s2.3p3,17,0,3,5a,-3,3,4,5,FOSFOR
1710 DATA 16,S,32.06,2.07,119.0,444.6,1.27,1.02,0.175,2.5,239,[Ne]3s2.3p4,15,5,3,6a,-2,2,4,6,SULF
1720 DATA 17,Cl,35.453,1.56,-101.0,-34.7,,0.99,0.116,3,0,300,[Ne]3s2.3p5,18,7,3,7a,-1,1,3,5,7,CLOR
1730 DATA 18,Ar,39.948,1.40,-189.4,-185.8,,0.98,0.125,,363,[Ne]3s2.3p6,24,2,3,0,0,ARGON
1740 DATA 19,K,39.098,0.86,63,7,760,2.35,2.03,0.177,0.8,100,[Ar]4s1,45,3,4,1d,1,POTASIU
1750 DATA 20,Ca,40.08,1.55,838,1440,1.97,1.74,0.149,1.0,141,[Ar]4s2,29,9,4,2a,2,CALCIU
1760 DATA 21,Sc,44.9559,3.0,1539,2730,1.62,1.44,0.13,1,3,151,[Ar]3d1.4s2,15,0,4,3b,3,SCANDIU
1770 DATA 22,Ti,47.90,4.51,1668,3260,1.47,1.32,0.126,1.5,156,[Ar]3d2.4s2,10,6,4,4b,3,4,TITAN
1780 DATA 23,V,50.9414,6.1,1900,3450,1.34,1.32,0.120,1.6,156,[Ar]3d3.4s2,8,35,4,5b,2,3,4,5,VANADIU
1790 DATA 24,Cr,51.996,7.19,1875,2665,1.30,1.18,0.11,1.6,156,[Ar]3d4.4s2,7,23,4,6b,2,3,6,CROM
1800 DATA 25,Mn,54.9380,7.43,1245,2150,1.35,1.17,0.115,1.5,171,[Ar]3d5.4s2,7,39,4,7b,2,3,4,6,7,MANGAN
1810 DATA 26,Fe,55.847,7.86,1536,3000,1.26,1.17,0.11,1.8,182,[Ar]3d6.4s2,7,1,4,8,2,3,FIER
1820 DATA 27,Co,58.9332,8.9,1495,2900,1.25,1.16,0.099,1.8,181,[Ar]3d7.4s2,6,7,4,8,2,3,COBALT
1830 DATA 28,Ni,58.70,8.9,1453,2730,1.25,1.16,0.105,1.8,176,[Ar]3d8.4s2,6,6,4,8,2,3,NICHEL
1840 DATA 29,Cu,63.546,8.96,1083,2595,1.28,1.17,0.092,1.9,178,[Ar]3d10.4s1,7,1,4,1b,1.2,CUPRU

```

(CONTINUARE ÎN NR. VIITOR)

FRECVENTMETRU- CAPACIMETRU DIGITAL

Sing. FLORIN SÎRBULEA

Montajul prezentat are avantajul unei economii importante de piese prin combinarea frecvențmetrului cu capacimetru, acestea având comune majoritatea circuitelor integrate.

Funcționarea montajului ca **frecvențmetru** se poate observa în figurele alăturate. În acest scop comutatorul K₁ se trece pe poziția I.

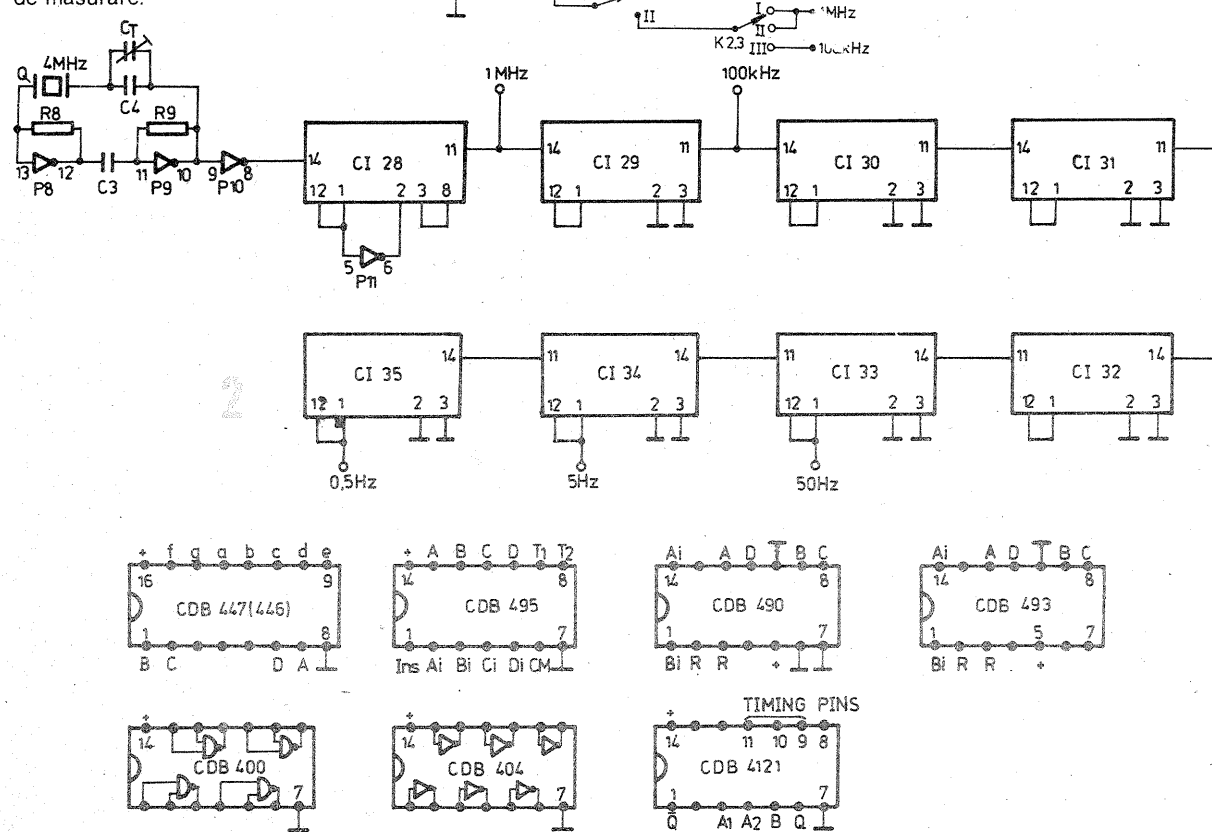
Pe intrările portii P_1 , ajung semnalul de măsurat aplicat la intrarea TTL și semnalul bazei de timp. Cînd poarta este deschisă de palierul activ al bazei de timp, spre număratoare (C14 + C19) va trece semnalul de măsurat.

La tranziția din "1" în "0" logică a semnalului bazei de timp, circuitul basculant monostabil Cl1 generează un impuls care se transmite prin portile $P_2 \oplus P_6$ și resetează număratorele. Portile $P_2 \oplus P_6$ au rolul de a întârzi resetarea pentru a permite transferul informației codificate din număratore în memoriile tampon Cl0 \oplus Cl15.

Transferul se face pe frontul căzător al impulsului generat de circuitul basculant monostabil C12 (punctul C). Durata acestui impuls, modificată din P₁, permite obținerea unui interval convenabil de transferare a datelor la memorii.

După decodificarea datelor cu CI16 ÷ CI21, rezultatul măsurării este afisat de CI22 ÷ CI27.

LED-ul indică durata unui ciclu de măsurare.



Oscillatorul bazei de timp (fig. 2) este stabilizat cu un cuaț de 4 MHz. Primul integrat (Cl28) din lanțul de divizoare divide cu 4, iar următoarea cu 10.

Din comutatorul K_2 se aleg baza de timp și implicit unul din domeniile de valori măsurate de aparat. Acestea sint: I = $0 \div 999,999$ kHz; II = -10 Hz $\div 9,9999$ MHz; III = 100 Hz $\div 25,0000$ MHz.

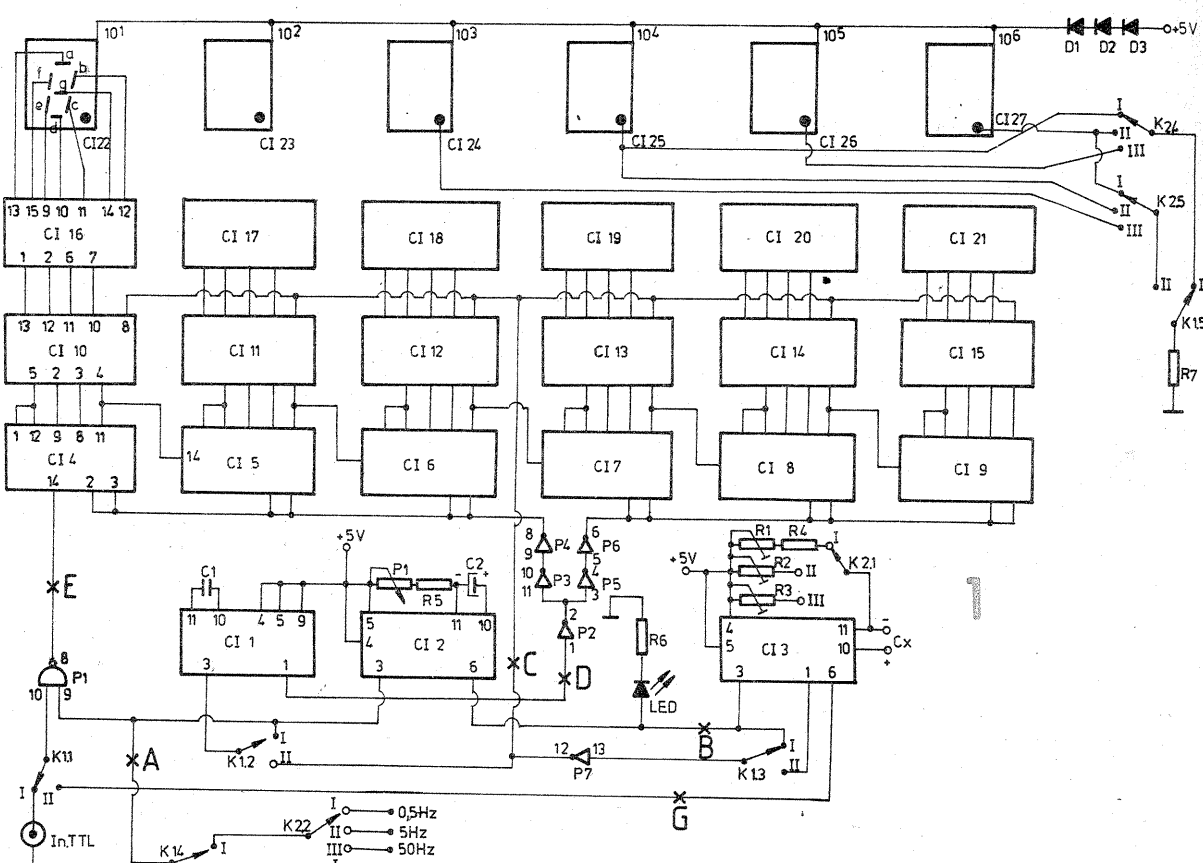
+ 25,000 MHz.
Funcționarea **capacimetru**lui se bazează pe măsurarea duratei impulsurilor date de un circuit basculant monostabil (C13), la care s-a conectat capacitatea necunoscută Cx.

Pentru măsurarea capacitateilor

se trece comutatorul K1 în poziția II.

CI2 primind la intrare semnalul bazei de timp va genera impulsuri cu durata reglabilă din P_1 , aceasta permitînd modificarea durei unui ciclu de măsurare.

C13 va da la ieșire impulsuri proporționale cu valoarea capacitații de măsurat, Cx. Aceste impulsuri vor deschide poarta P₁ și semnalul bazei de timp va trece la numărător. Pe frontul negativ al semnalului dat de C13 (punctul C) se transferă datele de la intrarea memorilor. Apoi numărătoarele sunt resetate de impulsul dat de C11, urmând un nou ciclu de măsurare.



Domeniile de măsurare a capacităților sunt:

$$\text{III} = 10 \mu\text{F} \div 1\,000 \mu\text{F}.$$

Pentru capacitățile mai mici de 100 pF, rezoluția de măsurare scade semnificativ.

CONSTRUCTIE SI ETALONARE

Frecvența oscilatorului bazei de timp se ajustează la valoarea de 4 MHz din trimerul CT.

leșirile bazei de timp (fig. 2) se conectează la comutatoarele K2,2 și K2,3 din figura 1.

Capacimetru se etalonează din rezistențele semireglabile R_1 , R_2 , R_3 , de preferat de precizie, având conectat la bornele Cx cîte un condensator cu valoare cunoscută pentru fiecare domeniu de măsură. C13 va fi sortat urmărindu-se un exemplar cu liniaritate bună pe tot domeniul. El influențează în mare măsură precizia capacimetrului.

Diodele D_1 , D_2 , D_3 sunt astfel alese încât curentul prin fiecare segment al afişajului are o valoare de aproximativ 16 mA.

Consumul montajului este de aproximativ 3,2 A la tensiunea de alimentare de 5 V.

JRTERFOR

GEORGE COMAN

Sunt bine cunoscute instalatiile de interfoane apărute în revista noastră, scheme mai simple sau mai complicate, dar care se compună în mare parte dintr-un amplificator central și un număr oarecare de abonați periferici care nu puteau lăsa legătura decât cu stația dispecer (fig. 1).

Apelul de la abonaț săpătă spre stație fie că se face prin voce, fie optic sau acustic, nu dădea posibilitatea unui abonaț să ia legătura cu un alt abonaț conectat la aceeași stație. Au fost construite instalări de inter-

foane care utilizau la fiecare abonaț cîte un amplificator separat cu sursă proprie de alimentare (fig. 2). În acest din urmă caz distanța dintre abonați și numărul lor erau limitate de caracteristicile amplificatoarelor.

În figura 3 prezentăm schema bloc a unei instalări de interfon mai puțin obișnuită. După cum se observă, atît intrarea cît și ieșirea din amplificator pleacă în paralel la fiecare abonaț.

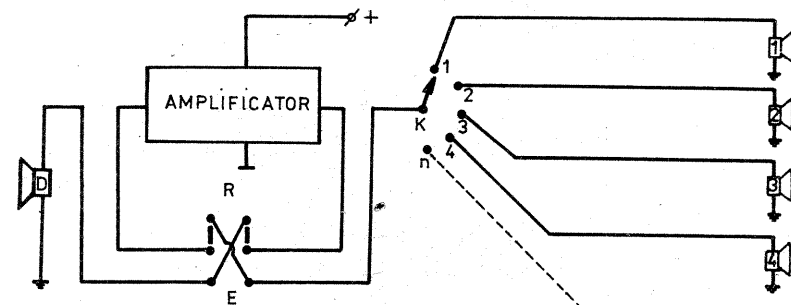
Comutatorile de la abonaț se află în poziția „recepție” (toate difu-

zoarele fiind cuplate pe linia L_1 , ieșire amplificator).

Cînd unul din abonați dorește să ia legătura cu un alt abonaț, acesta apasă comutatorul pe poziția „emisie”; în această situație difuzorul se conectează pe linia L_2 (intrare amplificator), semnalul captat de difuzorul abonațului aflat pe emisie (în

— un post abonat se compune dintr-un simplu difuzor de radioficare tip R — 20039 și un buton de emisie-recepție;

— difuzoarele fiind comutate împreună cu transformatoarele de adaptare a impedanței, pierderile de energie pe linie sunt foarte mici, favorizînd legătura la distanțe mari



cu secțiuni mici ale conductoarelor de linie;

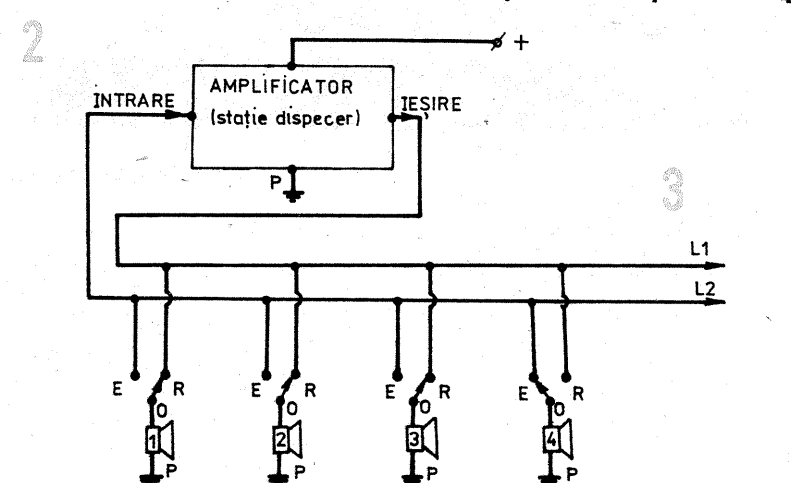
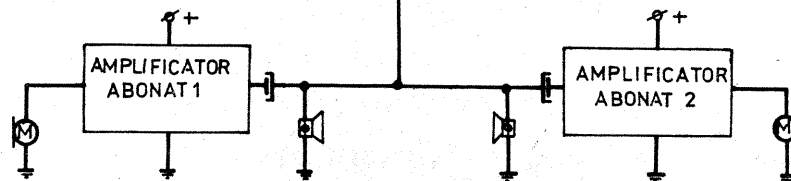
— distanța între abonați nefiind practic limitată, precizăm totuși că lungimea totală a rețelei nu trebuie să depășească 3 km;

— stația dispecer este prevăzută cu protecție și semnalizare în cazul apariției unui scurtcircuit pe linia de ieșire spre abonaț;

— posibilitatea oricărui abonaț de a lua legătura cu oricare din restul abonaților (prin indicativ), fără a fi nevoie de intervenția unui operator la stația dispecer.

Stația dispecer se compune din trei părți principale, descrise în continuare.

1. Blocul de alimentare este



cazul nostru, abonațul 4) este amplificat de amplificatorul central, acesta trimițînd semnalul amplificat spre abonații aflați pe recepție.

Pentru construirea unui astfel de interfon amplificatorul trebuie să îndeplinească următoarele condiții:

— să fie sensibil la semnalele transmise în față difuzorului aflat în poziția emisie și totodată imun la paraziți induși în cablul de legătură între abonați;

— în ciuda sensibilității sale mari, amplificatorul să accepte o capacitate destul de mare între intrare și ieșire, respectiv între firele de legătură L_1 și L_2 , fără ca acesta să intre în oscilație;

— ieșirea amplificatorului trebuie adaptată printr-un autotransformator de la 8Ω , impedanță de ieșire a amplificatorului, la 3.600Ω , cît au difuzoarele de radioficare.

Schema de interfon prezentată în figura 4 corespunde acestui scop și se remarcă prin următoarele caracteristici:

— număr mare de posturi abonat (peste 20);

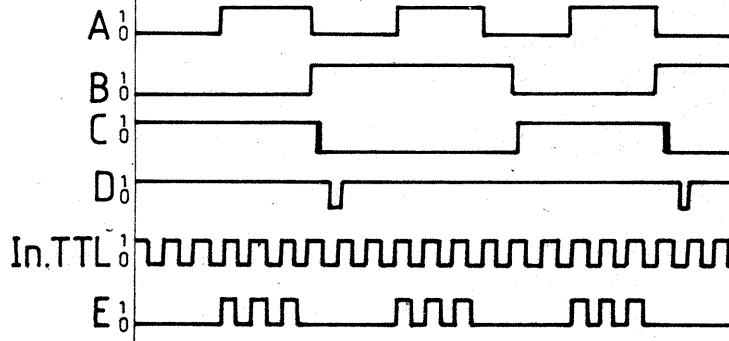
compus din transformatorul de rețea Tr. 1, după care urmează celula de redresare, filtrare și stabilizare. Tranzistorul T4 se va monta pe un radiator de aluminiu în formă de „U” cu suprafață de aproximativ 45 cm^2 .

Transformatorul de rețea și celula de redresare trebuie calculate și dimensionate astfel ca în punctul „A” din schema să avem 15 Vcc la un curent de 1 A .

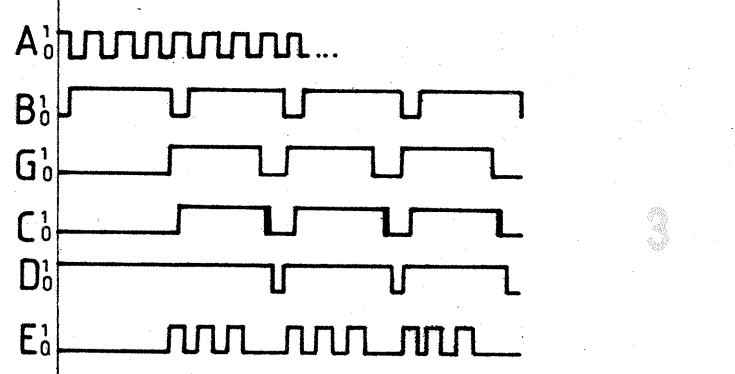
2. Amplificatorul este realizat cu circuitul integrat TBA810AS. Acest circuit este cunoscut cititorilor noștri, așa că nu vom insista prea mult asupra lui. Menționăm totuși că circuitului integrat îl se va atașa un radiator din aluminiu dimensiunat corespunzător puterii sale maxime de 5 W . Sarcina acestui circuit integrat este autotransformatorul Tr. 2, care face adaptarea liniei și se realizează pe un miez asemănător celor folosite la transformatoarele difuzoarelor de radioficare. Înfăsurarea 1—2 are 65 de spire CuEm $\varnothing 0.35 \text{ mm}$, iar înfăsurarea 2—3 are

(CONTINUARE ÎN PAG. 17)

FRECVENȚMETRU

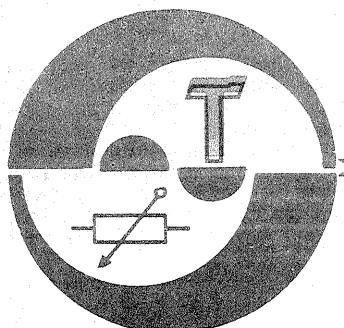


CAPACIMETRU



LISTA DE PIESE

CI1, CI2, CI3 = CDB4121; CI4 ÷ CI9 = CDB490; CI10 ÷ CI15 = CDB495; CI16 ÷ CI21 = CDB446, CDB447; CI22 ÷ CI27 = afișoare cu anod comun; CI28 = CDB493; CI29 ÷ CI35 = CDB490; D₁, D₂ = 1N4007; D₃ = BA159; Q = cuarț 4 MHz; P₁ = 1/4 CDB400; P₂ ÷ P₇ = CDB404; P₈ ÷ P₁₁ = 2/3 CDB404; CT = 8 ÷ 40 pF; C₁ = 15 pF; C₂ = 100 µF; C₃ = 10 nF; C₄ = 22 pF; P₁ = 50 kΩ; R₁ = 2.5 kΩ; R₂ = 2.5 kΩ; R₃ = 50 kΩ; R₄ = 120 kΩ; R₅ = 1.2 kΩ; R₆ = 270 Ω; R₇ = 270 Ω; R₈, R₉ = 1 kΩ.



ATELIER

adaptor pentru frecvențmetru

Ing. MILIAN OROS

Având în vedere că în multe din numerele revistei „Tehnium” au fost publicate diverse scheme de frecvențmetre numerice, propun cîtitorilor schema unui adaptor pentru aceste frecvențmetre, care facilitează construcția unui multimetru digital.

Folosind acest adaptor se pot măsura tensiuni continue în gama $10 \text{ mV} \div 100 \text{ V}$, cu o precizie comparabilă cu a unui voltmètre digital industrial.

CARACTERISTICI TEHNICE:

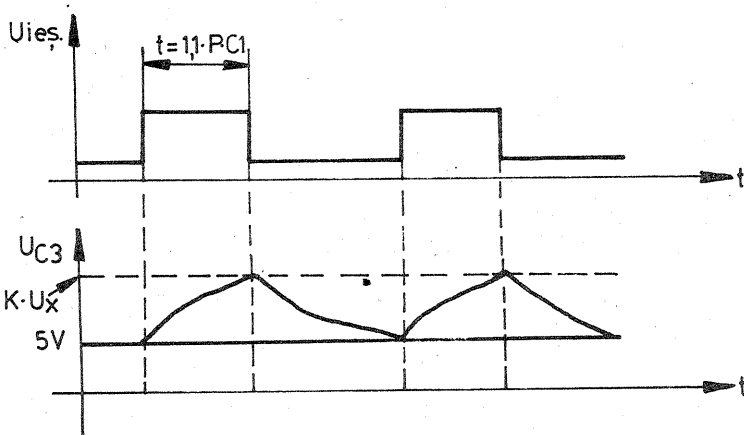
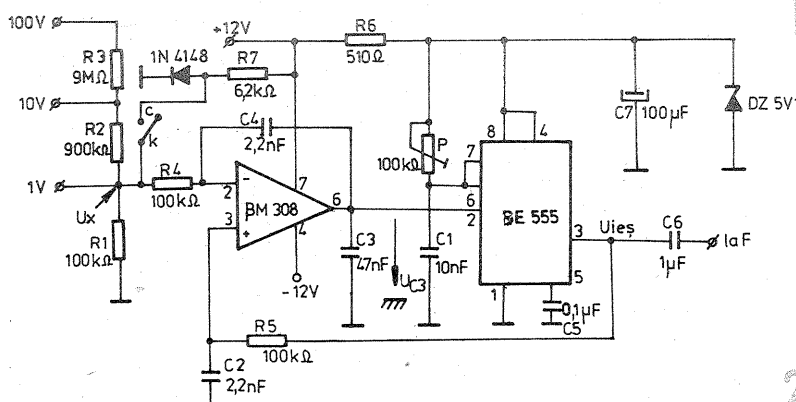
- gama tensiunilor măsurabile: $10 \text{ mV} \div 100 \text{ V}$, în trei subgame: $10 \text{ mV} \div 1 \text{ V}$; $1 \text{ V} \div 10 \text{ V}$; $10 \text{ V} \div 100 \text{ V}$;
- tensiunea de alimentare: $\pm 12 \text{ V}$;
- impedanța de intrare: minimum $100 \text{ k}\Omega/\text{V}$.

Adaptorul cuprinde un atenuator de intrare, cu rolul de a diviza tensiunea de măsurat cu un factor $1/10$ și un convertor liniar tensiune-frecvență.

Convertorul tensiune-frecvență este realizat cu două capsule de circuite integrate tip $\beta E 555$ și $\beta M 308$.

Circuitul $\beta E 555$ este conectat într-o schemă de monostabil. Durata de lucru a monostabilului depinde de constanta de timp $P \cdot C_1$. Declansarea acestui monostabil este asigurată de amplificatorul operațional $\beta M 308$, conectat ca integrator cu intrări diferențiale.

Pentru intrarea inversoare primește, prin intermediul rezistenței R_4 , tensiunea de la circuitul divisor al adaptatorului, iar pe intrarea neinversoare impulsurile generate de circuitul monostabil.



CIRCUITE de PROTECȚIE

Sing. LIVIU POP, Carei

În general, circuitele de protecție de la majoritatea stabilizatoarelor de tensiune aflate în uz, inclusiv la cele cu circuite integrate, reprezintă protecții cu limitarea curentului maxim sau a puterii maxime dissipate pe elementul de reglare serie.

Acstea protecții fac ca în cazul apariției unei suprasarcini sau a unui scurtcircuit la ieșire, curentul prin elementul de reglare serie să fie limitat la o valoare prescrisă, iar tensiunea la ieșire din stabilizator să scadă pînă la zero în cazul scurtcircuitului.

Marele dezavantaj al metodei constă în faptul că în acest caz toată tensiunea de la intrare este aplicată circuitului colector-emitor al tranzistorului regulator, în timp ce curentul este limitat la valoarea maximă livrată de stabilizator, cu toate consecințele ce decurg din această situație (încălzirea tranzistorului pînă la sau peste limita temperaturii maxime admise).

Circuitul de protecție propus în continuare are o caracteristică de „întoarcere în zero” a curentului de sarcină (și bineînțeles a tensiunii) odată ce acesta a atins valoarea limită prestatibilă (fig. 1).

Principiul de funcționare este următorul: un circuit basculant bistabil, CBB, atașat unui stabilizator cu element de reglare serie, ERS (fig. 2), are pînă la apariția suprasarcinii sau scurtcircuitului nivel „0” în colectorul lui T_1 și nivel „1” în colectorul lui T_2 , deci CBB-ul nu intervine în funcționarea normală a stabilizatorului. Această stare este determinată de rezistențele de polarizare

rentului de sarcină și nu în regim de blocare a ERS. Din această cauză, butonul B va fi neapărat cu revenire, cu contact normal deschis, iar acționarea lui va fi de scurtă durată (de ordinul a 1 ÷ 3 s). Dacă după o astfel de rearmare tensiunea la ieșire nu revine la valoarea initială, însemnă că scurtcircuitul persistă și trebuie luate măsuri în consecință.

Datorită faptului că între punctul notat cu A și masă există două joncțiuni semiconductoare (dioda D_1 și circuitul colector-emitor al lui T_2), pentru blocarea sigură a ERS, între punctul A și plusul stabilizatorului va fi nevoie de cel puțin trei joncțiuni semiconductoare. Pentru satisfacerea acestei condiții, între punctul A și baza ERS se va introduce la nevoie o diodă suplimentară. Funcționarea normală a stabilizatorului este semnalizată de dioda LED montată în circuitul de colector al lui T_1 , saturat în această

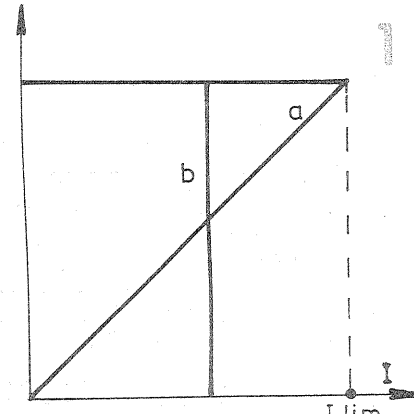
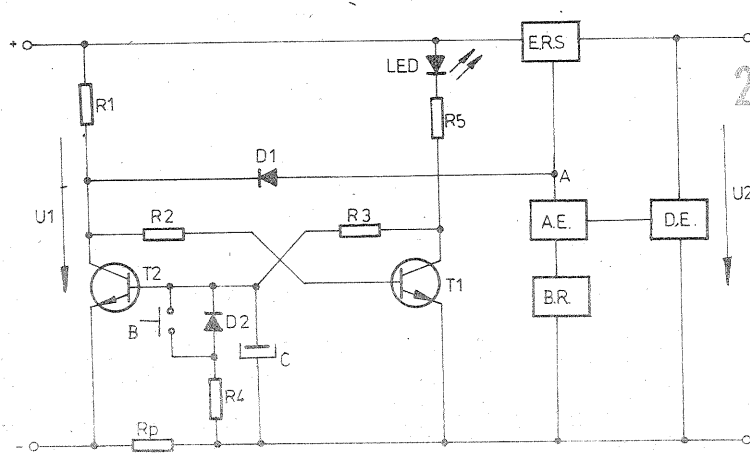
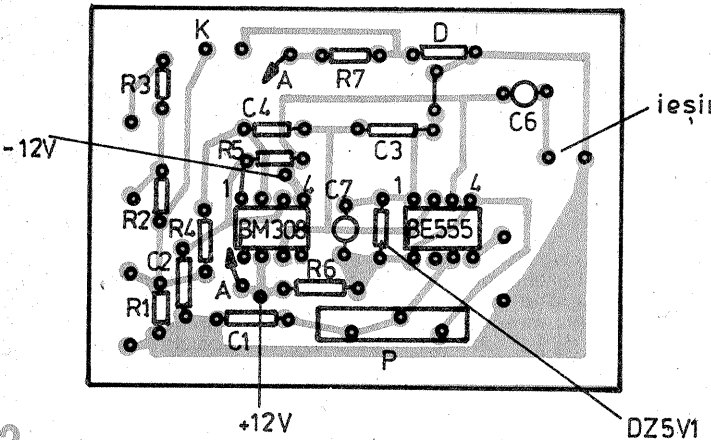


Fig. 1: Caracteristica de ieșire: a) funcționarea în regim de blocare; b) funcționarea în regim de limitare.

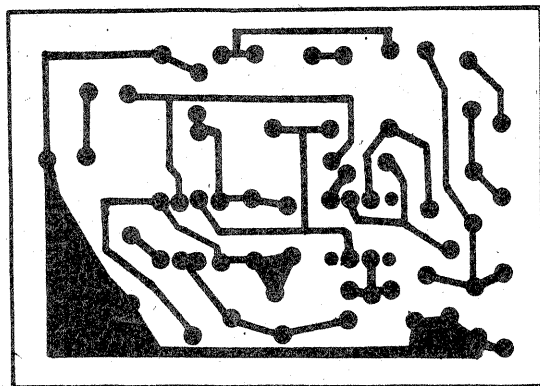
situatie; stingerea acesteia indică intrarea în funcționare a protecției.

Propun în continuare (fig. 3) un stabilizator cu tensiune reglabilă cu elemente discrete dotat cu o astfel de protecție. Principaliii parametri ai acestor stabilizatoare sunt cunoscuți; precizez doar că valoarea cu-





3



Având în vedere faptul că durata impulsurilor de la ieșirea monostabilului este constantă ($t=1,1P.C_1$), integrarea impulsurilor reconstituie o componentă continuă, peste care se suprapune o componentă alternativă ce are forma dată în figura 2.

Indiferent de frecvența impulsurilor de la ieșire, bucla de reacție menține nivelul tensiunii pe con-

densatorul C_3 la tensiune de prag jos (+5 V).

Pe durata impulsului, tensiunea de la ieșirea integratorului crește proporțional cu tensiunea de la intrare, pînă la o anumită valoare. În pauza dintre impulsuri, tensiunea scade în timp pînă la atingerea pragului de 5 V al comparatorului din $\beta E555$.

După cum se poate constata din figură, durata acestei pauze este

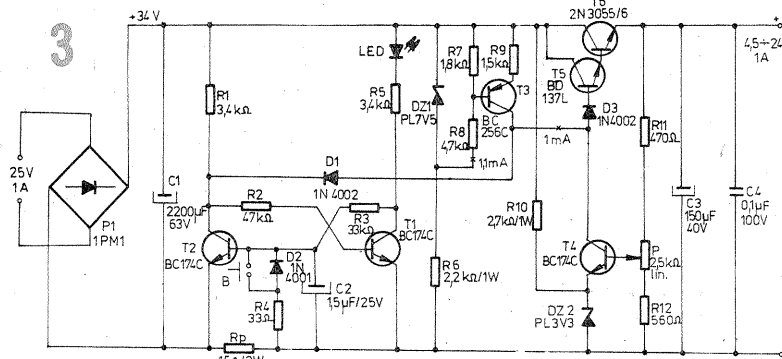
rentului de scurtcircuit măsurat în regim de durată este de ordinul a 6–7 mA, curent care reprezintă de fapt curentul rezidual al tranzistorului de putere (2N3055) al ERS și care, evident, nu duce la suprasolicitatea acestuia, fapt ce permite funcționarea fără pericol a stabilizatorului în regim de scurtcircuit o perioadă nedeterminată.

R_p se va realiza fie din nichelină, fie se vor combina serie-paralel trei rezistoare de $1 \Omega / 1 W$.

Transformatorul va livra în secundar 25 V/1 A și va avea o secțiune minimă de 6 cm^2 (miezul magnetic).

Tranzistorul BD137 va fi neapărat cu indicele L, M sau N; în caz contrar, funcționarea stabilizatorului la curenti de sarcină mari poate fi total compromisă.

Datorită particularităților schemei, la funcționarea în regim de limitare curentul de sarcină este jumătate din valoarea curentului de blocare a ERS, 0,5 A deci, din cauză că dioda D_2 este scurtcircuitată. Rezistența R_4 are rolul de a limita curentului în baza lui T_2 .



proporțională cu tensiunea de intrare. Rezultă că pentru o anumită tensiune de intrare vom avea o anumită pauză între impulsuri. Cu cît tensiunea de intrare este mai mare, cu atât pauza va fi mai mică, respectiv frecvența impulsurilor de la ieșire mai mare. Această frecvență este măsurată cu frecvențmetrul digital.

REALIZARE PRACTICĂ. REGLAJE

După cum se poate constata din figura 1, schema electrică de principiu este deosebit de simplă, neridicând probleme din punct de vedere constructiv. Rezistențele circuitului divisor vor fi de precizie 1%.

În locul circuitului $\beta M308$ se poate utiliza și un circuit $\beta A741$, selecționat pentru o tensiune de offset cît mai mică.

De asemenea, cu rezultate foarte bune se poate utiliza circuitul $\beta M108$.

Reglarea adaptorului nu necesită aparat special de laborator. Pentru reglare se trebuie comutatorul K pe poziția calibrare. În acest moment, adaptorul primește pe intrare tensiunea de 0,7 V, stabilizată, cu ajutorul unei diode cu siliciu, în conducție directă. Din potențiometrul P se reglează frecvența de la ieșirea adaptorului, astfel încât frecvențmetrul să indice 0,700 kHz. Cu aceasta, reglajul adaptorului este terminat.

Se trebuie comutatorul K pe cealaltă poziție și apoi se măsoară cu adaptorul diverse tensiuni cunoscute.

De precizat că liniaritatea foarte bună a convertorului face posibil ca pe scara de 1 V să se măsoare, cu o precizie ridicată, tensiuni pînă la 3,5 V, după care convertorul se blochează, nemaigenerind semnal la ieșire.

In figura 3 este dată o variantă de cablaj imprimat, în caz că se utilizează circuite integrate în capsula MP48.

(URMARE DIN PAGE)

500 de spire CuEm Ø 0,25 mm bobinate în același sens.

Rezistența semireglabilă R11 se ajustă astfel ca la aplicarea unui semnal sinusoidal de 1 000 Hz — 10 mV în punctul B din schemă să se obțină la ieșirea amplificatorului puterea maximă de 5 W.

3. Preamplificator este de construcție ceva mai deosebită, fiind preluat de la interfoanele WELTON construite de cunoscuta firmă R.F.T. și adaptat scopului nostru cu mici modificări. Volumul (sensibilitatea) este controlat în tensiune din potențiometrul semireglabil R3. Diodele D1 și D2 sunt diode de comutare 1N914.

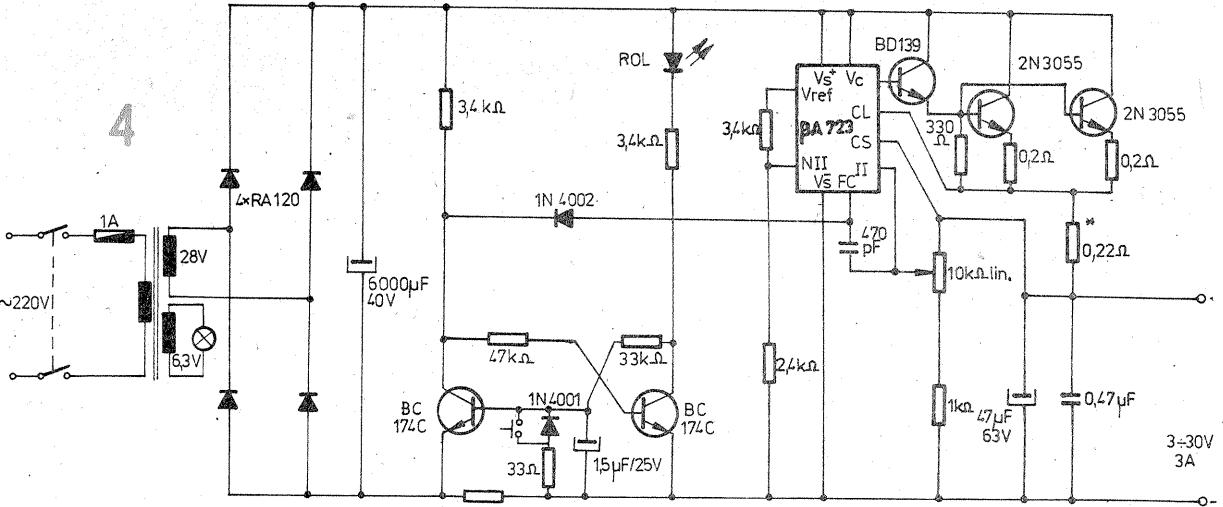
După realizarea și verificarea întregii instalații (alimentator, amplificator, preamplificator) se va trece la reglarea acesteia.

Să se conectează un abonat pe poziția „emisie”, la intrarea în preamplificator (punctul D).

Difuzorul abonat se va așeza în apropierea unui aparat de radio reglat pe volum normal. Cu potențiometrul R3 dat la minimum vom conecta un voltmetru c.a. pe scara de 30 V între punctul C și masa M și vom regla rezistența R11 pînă cînd acul voltmetrului va ajunge în poziția 0. După acest reglaj nu se va mai umbla la rezistența R11, singurul reglaj urmînd a fi făcut după montarea tuturor abonaților din rezistența R3.

Pentru legături între abonați s-a utilizat un cablu ecranat, în paralel cu un fir obișnuit (de sonerie). Menționăm că prin utilizarea cablului ecranat crește foarte mult distanța între abonați și stația dispecer (distanță ce poate fi de ordinul kilometrilor).

Becul de 24 V/5 W montat pe linia L_1 la ieșirea autotransformatorului T_1 . 2 servește la protecția circuitului integrat în cazul apariției unui scurtcircuit și totodată semnalizează pe utilizator despre apariția acestuia.



Tranzistorul de putere se va monta pe un radiator din tablă de aluminiu cu grosimea de 2 mm și o suprafață minimă de 150 cm^2 . Montajul funcționează fără nici un fel de reglaj. Singura condiție este aceea de a respecta întocmai valorile din schemă.

Se mai impune o precizare suplimentară: în regim de blocare a ERS, jonctiunea bază-emitor a tranzistorului AE este polarizată invers cu aproape valoarea tensiunii de referință. Această tensiune în cazul nostru este nepericuloasă pentru jonctiunea respectivă deoarece aceasta intră în zona străpungerilor reversibile la aproximativ 5 V. În cazul folosirii unei tensiuni de referință mai mari sau apropiate de 5 V, se impune luarea de măsuri suplimentare de limitare a tensiunii inverse aplicate jonctiunii bază-emitor a AE.

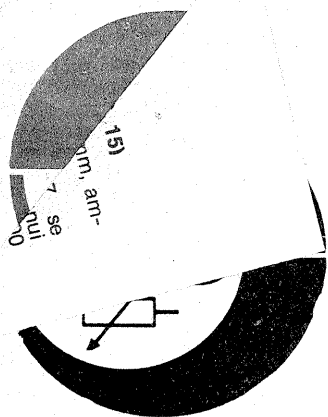
În încheiere propun o posibilă adaptare a acestei protecții la un stabilizator existent (fig. 4). Este vorba de sursa stabilizată publicată în revista „Tehnium” nr. 9/1982, pagina 8. Conectarea în circuit a protecției se face pe pinul de compensare cu frecvență; acesta corespunde de fapt cu baza tranzistoru-

ului ERS al integratului stabilizator. Prințipul de funcționare a protecției este identic.

Măsurările la experimentarea stabilizatorului cu elemente discrete au fost făcute cu un multimeter universal tip MAVO-35. Adaptarea protecției la schema cu $\beta A723$ nu a fost experimentată. După cum se poate observa din această schemă, se poate renunța la protecția propriu a integratului stabilizator, noua protecție asigurînd funcționarea în regim de limitare (fig. 1).

Se mai poate înlocui CBB cu un CBM, astfel încît tensiunea la ieșire să revină automat după înălțarea scurtcircuitului, eliminîndu-se astfel reararea.

Eventual, în măsura în care prezintă interes, s-ar putea lua în considerare de către factorii implicați înglobarea în structura internă a integratului stabilizator a protecției cu CBB în locul protecției existente.



EMITTERII RECOMANDĂ

ANTENA PENTRU BANDA de 2m

**EMIL STRĂINU,
YOS - 9032/IL**

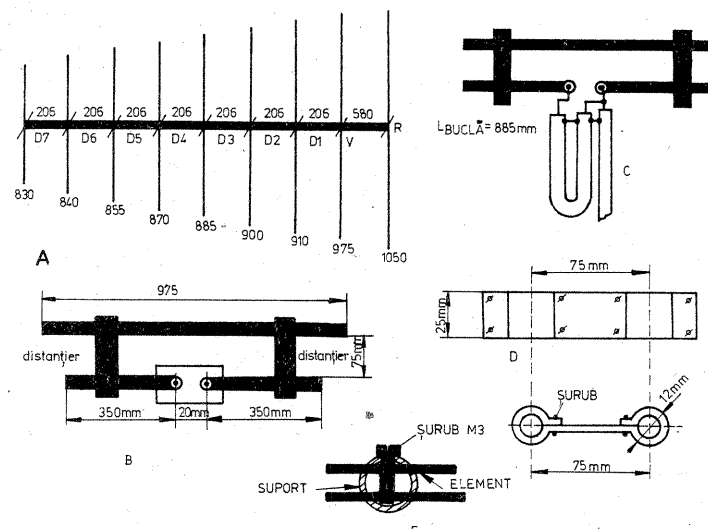
Antena este destinată benzii de 144—146 MHz și se compune dintr-un număr de 7 directori (D_1 — D_7), un vibrator de lungime reglabilă (V) și reflectorul (R). Coeficientul de amplificare este de 12—14 dB. Antena are un bun raport față-spate și un coeficient de undă staționară de 0,4—0,7. Lungimea maximă a antenei este de 2 022 mm, iar lățimea maximă de 1 050 mm. Modul de asamblare și dimensiunile de construcție sunt date în schema de execuție.

Pentru realizarea antenei se folosește teavă de aluminiu sau cupru cu diametrul de 10—12 mm pentru directori și teavă de fier cu diametrul de 28—32 mm pentru suport. Fixarea elementelor de suport se face cu șuruburi M3, conform schiței. Pentru ca performanțele antenei să nu fie afectate, trebuie respectate strict dimensiunile de construcție. În schemă toate dimensiunile sunt date în milimetri.

Antena este calculată pentru un fider cu impedanță de 75Ω . Distan-

țierele se execută din tabla de aluminiu de 3—4 mm grosime. Lungimea buclei este 885 mm. Pentru acordarea inițială a antenei, aceasta se orientează pe direcția unui emittor cunoscut și se regleză intervalul dintre distanțiere

până la obținerea unui semnal maxim. Este recomandabil ca antena să fie montată pe un pilon ce depășește obstacolele din jur cu 5—10 m înălțime, de preferat rotativ.



AUTOSTOP PENTRU MINICASETOFON

**ANDREI BUTUC,
București**

Nu de puține ori, în cazul minicasetofonelor, clapa PLAY este uitată apăsată după terminarea casetei. Acest lucru duce la distrugerea benzii, tocirea rolei presoare, a curbelor de transmisie și în definitiv la arderea motorului.

De asemenea, nu trebuie uitat nici faptul că, la minicasetofone, consumul de curent este relativ mare, deci bateriile trebuie folosite la maximum.

Montajul prezentat înălțătură aceste neajunsuri. El realizează oprirea motorului la capătul benzii sau în cazul în care aceasta se blochează sau nu rulează uniform.

Autostopul este realizat cu tranzistoarele T_1 și T_2 din schemă, montate într-un circuit basculant asimetric cu cuplaj în emitor, cunoscut și sub denumirea de circuitul Schmitt. Acest circuit, prin caracterul său asimetric, asigură o bună separare între sarcină și sursa de semnal conectată la intrare

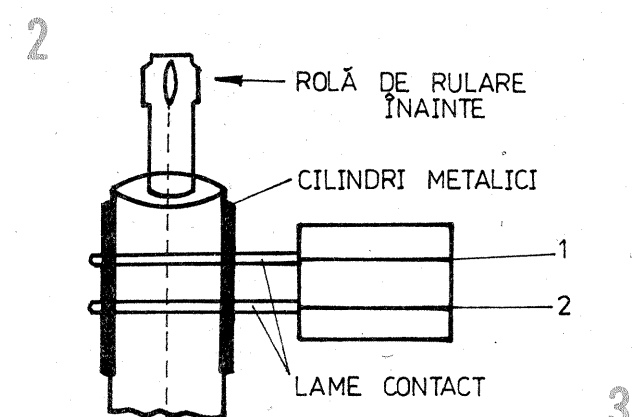
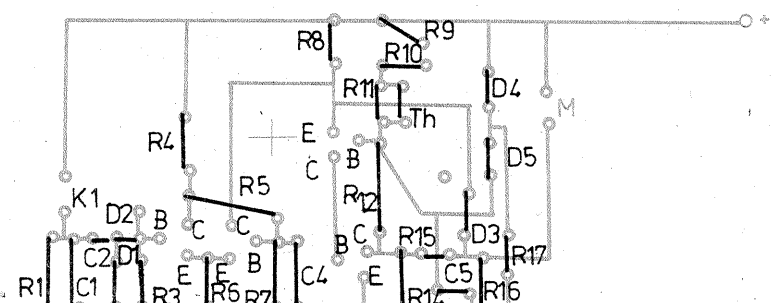
Apariția unei tensiuni în punctul A, pe schemă, determină intrarea în conducție a tranzistorului T_3 prin D_3 , fapt care duce la deschiderea tranzistorului T_4 . Prin deschiderea lui T_4 se realizează pornirea motorului.

Deci, pentru ca motorul să fie alimentat, trebuie să existe o tensiune în punctul A. Această tensiune se obține prin închiderea periodică a contactului K_1 .

Montajul electronic este realizat cu componente discrete pentru a ușura construirea sa. Schema cablajului este prezentată în figura 2.

Tranzistoarele T_1 și T_2 sunt BC107, T_3 este BC177, iar T_4 este BD135. Diodele folosite sunt de tipul 1N4007.

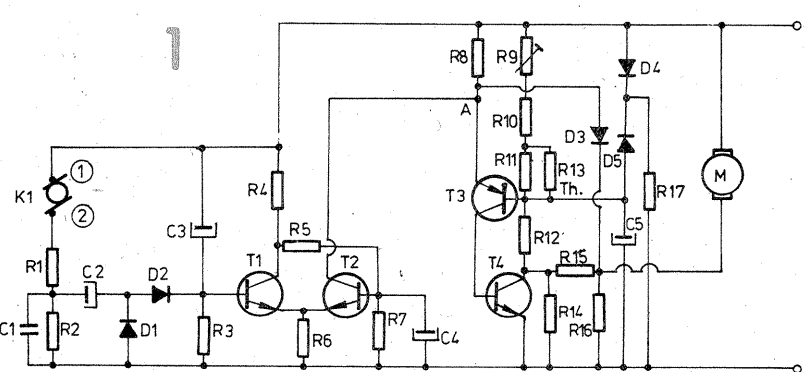
Partea cea mai dificilă a construcției constă în realizarea contactului K_1 . Modul de realizare este prezentat în figura 3. Pe una din rolele de tractare a benzii (rolă înainte sau rolă înapoi) se fixează două piese



metalice de formă cilindrică (pot fi două sîrme subțiri), diametral opuse. Acestea vor realiza contactul între două lame elastice fixate pe un soclu.

Dacă se montează contactul la rolă înainte, se realizează așa-numitul sistem ANTIROLLING MECHANISM.

Alimentarea montajului se face de la bateriei, tensiunea maximă admisă fiind de 6 V.



LISTA DE PIESE

$R_1 = 3,3 \text{ k}\Omega$; $R_2 = 22 \text{ k}\Omega$; $R_3 = 220 \text{ k}\Omega$; $R_4 = 1,5 \text{ k}\Omega$; $R_5 = 10 \text{ k}\Omega$; $R_6 = 560 \text{ }\Omega$; $R_7 = 10 \text{ k}\Omega$; $R_8 = 470 \text{ }\Omega$; $R_9 = 500 \text{ }\Omega$; $R_{10} = 1,2 \text{ k}\Omega$; $R_{11} = 330 \text{ }\Omega$; $R_{12} = 1 \text{ k}\Omega$; $R_{13} = 2,2 \text{ k}\Omega$, termistor; $R_{14} = 330 \text{ }\Omega$; $R_{15} = 3,3 \text{ }\Omega$; $R_{16} = 330 \text{ }\Omega$; $R_{17} = 2,2 \text{ k}\Omega$; $C_1 = 0,1 \mu\text{F}$; $C_2 = 47 \mu\text{F}$; $C_3 = 47 \mu\text{F}$; $C_4 = 10 \mu\text{F}$; $C_5 = 1 \mu\text{F}$.

INDICATOR PENTRU PUNTI DE MĂSURĂ

Sistemele de măsurare în puncte a diverselor valori electrice presupun afişarea-indicare stării de echilibru, respectiv a tensiunii (currentului) din diagonala punctii. În apropierea stării de echilibru, valoarea măsurată frecvent își schimbă atât sensul (semnul \pm), cât și valoarea, chiar cu cîteva ordine de mărime. De aceea lucrul pe puncti de precizie este anevoie și cere multă răbdare.

În cele ce urmează se prezintă o soluție ce rezolvă aceste probleme, respectiv indicarea optică a polarității și mărimii semnalului din diagonala punctii de măsură. Totodată, montajul indică depășirea valorii maxime a semnalului (depășirea de domeniu) prin lumina intermitentă a LED-urilor.

Montajul are la bază două circuite integrate de tip LM3915, care comandă diodele luminescente (LED) în funcție de mărimea semnalului pozitiv (CI1), respectiv negativ (CI2), aplicat la intrare. Circuitul integrat CI3 (BM308AN) este un amplificator liniar și lucrează în regim inversor (inversare de polaritate), cu amplificare unitară.

De mărimea condensatorului C_3 depinde ritmul semnalului intermitent luminos la indicarea depășirii de domeniu.

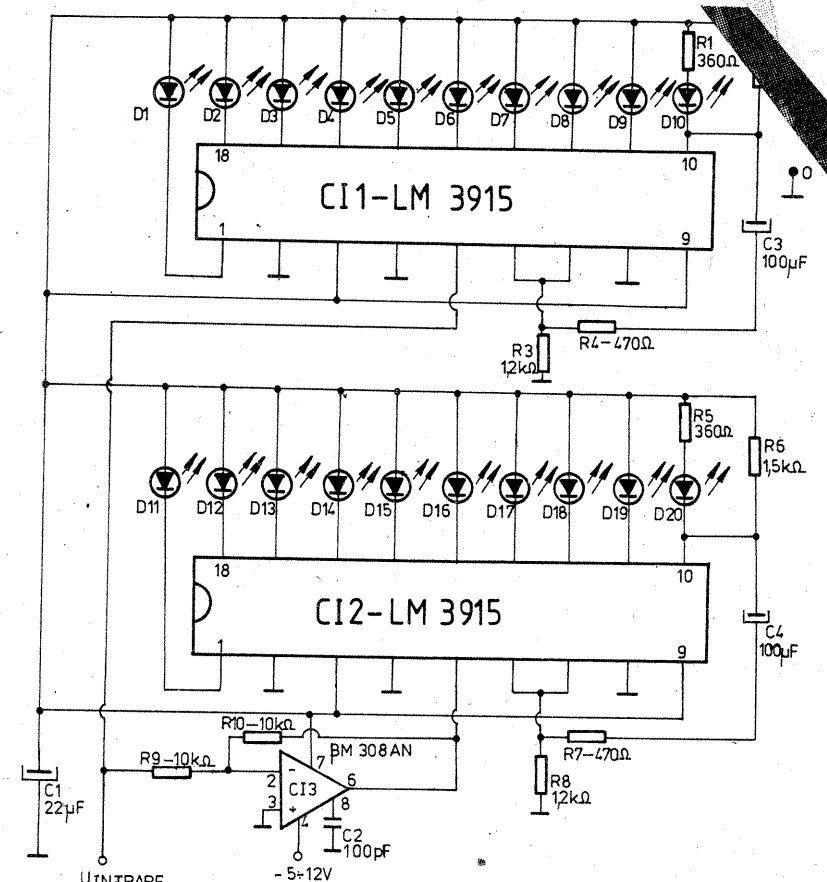
La apariția unui semnal pozitiv la intrare (U_{in}), acesta va comanda

CI1, aprinzând LED-urile $D_1 \div D_{10}$, corespunzătoare mărimii semnalului. Avind în vedere caracteristica logaritmă a circuitului LM3915, rezultă că LED-urile se vor aprinde succesiv la o creștere corespunzătoare a semnalului de intrare, adică liniar în dB, respectiv cîte 3 dB pentru fiecare LED succesiv.

La apariția unui semnal negativ la intrare se comandă CI2, care primește semnalul (picioară 5) inversat în polaritate însă de aceeași valoare, din inversorul și amplificatorul unitar realizat cu CI3.

Prin distribuția corespunzătoare pe panou a LED-urilor $D_1 \div D_{10}$, respectiv D_1 la D_{10} în dreapta și D_{11} la D_{20} spre stînga, sirul de LED-uri aprinse va fi cu atît mai lung în dreapta (semnale pozitive) sau în stînga (semnale negative) cu cît semnalul din diagonala punctii (dezechilibrul) va fi mai mare. În stare compensată, evident, nu va lumina nici un LED. În apropierea stării compensate vor lumina LED-urile D_1 și D_{11} succesiv, corespunzătoare unui slab dezechilibr în sens pozitiv, respectiv negativ.

În cazul în care semnalul pozitiv sau negativ depășește valoarea corespunzătoare pragului LED-ului D_{10} (respectiv D_{20}), se încarcă condensatorul C_3 (respectiv C_4) și deplasează tensiunea de referință a lui CI1 (respectiv CI2) prin picioare-



rele 7, producind o aprindere intermitentă a tuturor LED-urilor de pe ramura respectivă, semnalizând astfel depășirea de domeniu.

Alimentarea montajului se poate face cu tensiunea de $\pm 5 \div +12$ V, fără modificări în schemă. Se va

acorda atenție deosebită întăririi corespunzătoare a tensiunii de alimentare debită de sursa dublă.

Rezistențele vor fi de 0,25 W, iar condensatoarele vor avea tensiunea de străpungere de minimum 16 V.

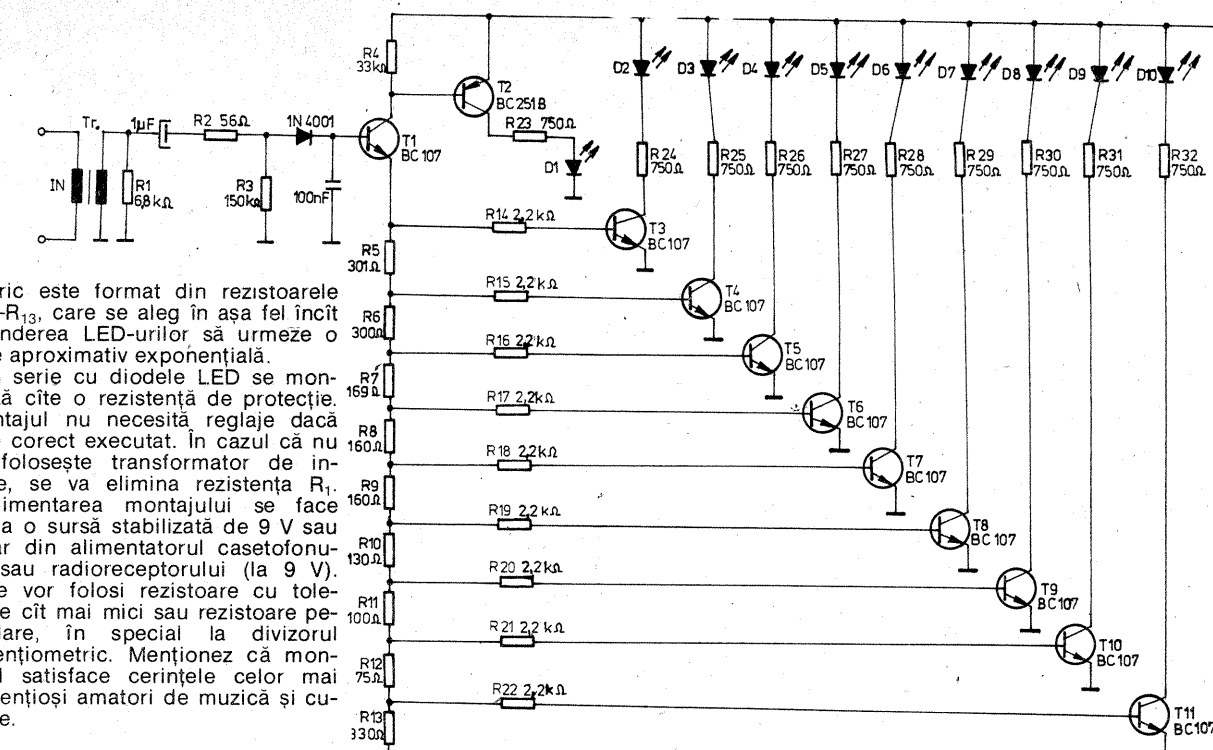
VU-metru

GHEORGHE MUJDEI,
Piatra-Neamț

Montajul prezentat poate fi atașat unui amplificator, casetofon, magnetofon sau radioreceptor. El poate fi gradat, după preferință, în decibeli, wați sau procente. În cazul unui amplificator stereo sunt necesare două asemenea montaje. Pe fiecare canal se prevăd zece LED-uri.

De la ieșirea etajului final al aparatului folosit, în paralel cu difuzorul, se culege semnalul debită care este apoi aplicat montajului. Pentru protecția etajului final al aparatului se poate monta și un transformator de ieșire (impulsuri) de la aparatelor de radio „MAMAIA”, „ALBATROS” etc. sau un transformator din tole E + I cu secțiunea de 1 cm², avind raportul 1:10. Montarea transformatorului nu este obligatorie.

După transformator urmează un etaj detector care aplică semnalul în baza lui T₁, care lucrează ca receptor pe emitor. Divizorul potențio-



DIADUPPLICATORUL I.O.R.

Fiz. GHEORGHE BĂLUȚĂ

În curînd întreprinderea Optica Română va trece la fabricația de serie a unui interesant diaduplicator. Așa cum spune și numele, aparatul este destinat în principal obținerii de copii (duplicate) după diapoziitive, prin refotografierea acestora.

Asemănător ca aspect și gabarit cu obiectivul Pentacon 200/4, diaduplicatorul se atașează în locul obiectivului, la orice cameră reflex avînd montură cu fi-

deschidere (fixă) 5,6. Prin intermediul unui inel de reglaj, poziția obiectivului se modifică după dorință, astfel încît să se obțină orice scară de reproducere între 1/1 și 2/1. Se creează astfel posibilitatea reincadrării (în anumite limite) a imaginii, favorizată și de sistemul ce permite rotirea înregătării rame portdiapoziтив. Un alt inel al diaduplicatorului ajustează fin distanța obiectiv-diapoziтив, în vederea obținerii clarității maxime pe film.

Pe lîngă modul de lucru obișnuit — copii diapoziitive după diapoziitive —, aparatul poate fi utilizat și la obținerea diapoziitelor după negativ și a negativelor după diapoziitive, în toate combinațiile color sau alb-negru. La color trebuie tinut seama de temperatură de culoare a sursei de lumină folosită, care va fi în concordanță cu filmul pe care se face fo-

tografie. Eventual se va utiliza un filtru de conversie în montură M58 x 0,75, ce poate fi intercalat între tubul care conține partea optico-mecanică a diaduplicatorului și rama portdiapoziтив.

În final menționăm faptul că, prin detasarea ramei portdiapoziтив, parte optica poate fi folosită ca obiectiv macro, în limitele scărilor de reproducere 1/1 pînă la 1/2. Se pot fotografi astfel obiecte de mici dimensiuni, iluminat lateral.

În toate cazurile se recomandă măsurarea luminii prin obiectiv (TTL). În lipsa unui asemenea aparat fotografic sunt necesare probe prealabile de expunere și condiții cît mai constante de iluminare.

Diaduplicatorul, prin multiplele posibilități de lucru și prin calitatele sale, reprezintă un produs competitiv al I.O.R. și un accesoriu util majoritatii fotografilor.

MINIINSTALATIE POLIVALENTĂ DE IRIGAȚIE PENTRU CULTURĂ FLORILOR SI LEGUMELOR

Ing. CONSTANTIN BÂRA

Miniinstalația la care ne referim constă — schematic — din inserie-rea unor vase speciale și conectarea lor la o sursă de apă.

Miniinstalația este „polivalentă” deoarece permite alimentarea continuă a solului cu apă (irigarea), eliminarea excesului de umiditate (drenajul), spălarea solului (dacă este cazul) și aeratia acestuia. Cu alte cuvinte, vasul (respectiv mini-instalația) îndeplinește condițiile realizării raportului optim și constant al apei și aerului din sol și implicit cele privind dezvoltarea deosebit de favorabilă a plantelor cultivate — dacă, bineînțeles, se au în vedere și ceilalți factori de fertilitate (textura și chimismul solului, îngrășăminte, amendamente etc.).

Miniinstalația este aplicabilă la scară mică, respectiv pentru cultură florilor sau a legumelor în sere, parcuri, balcoane, interioare etc.

VASUL POLIVALENT

Vasul polivalent este piesa principală a miniinstalației (fig. 1). El este format din: vas interior poros (1); vas exterior impermeabil (2); ștuturi de alimentare și asamblare în linie (3); strat drenant (pietris mărunt sau geotextil), (4); tub pentru drenaj și aeratia solului (5).

Vasul polivalent poate fi executat monolit, din ceramică. Această soluție elimină necesitatea etansării de la îmbinarea vasului interior cu cel exterior.

Este necesar ca vasul exterior să fie impermeabilizat (cu smalt dacă este din ceramică), pentru a se evita pierderile de apă și mai ales dezvoltarea unei vegetații părazitare.

În cazul cind vasul polivalent se execută din două piese, vasul exterior se poate face și din material plastic, sticlă etc. În figura 2 se prezintă fotografia unui vas de udare (1 — vas exterior; 2 — tub de drenaj și aeratia solului; 3 — vas interior; 4 — ștut de alimentare).

Vasul polivalent se poate face de forme și mărimi diferite, în funcție de destinația miniinstalației. Pentru

culturi în parcuri și sere, cind liniile de udare se îngroapă, aspectul vaselor nu prezintă interes. Pentru interioare și balcoane este indicat ca vasele să aibă un aspect artizanal, respectiv un „design” agreabil. Vasul polivalent poate fi folosit singular sau inseriat într-o linie de udare.

Vasul singular diferă de vasul asamblat în linie prin faptul că ștuturile de alimentare cu apă sunt amplasate la partea superioară a vasului, în vederea înmagazinării în spațiul interior a unei cantități mai mari de apă. Un vas de dimensiuni medii poate înmagazina apa necesară unei plante floricole pe o durată de 10—12 zile.

În figura 3 se prezintă un vas singular.

Umplerea vasului singular se face periodic, cu ajutorul unei pâlnii și al unui tub flexibil.

Vasul care se asamblează în linie are prevăzute ștuturile de alimentare cu apă la jumătatea distanței dintre fundul vasului interior și marginea superioară a vasului exterior.

MODUL DE FUNCȚIONARE A VASULUI POLIVALENT: FUNCȚIA DE ALIMENTARE CU APĂ

Apa necesară creșterii plantelor este cantonată în spațiul cuprins între vasul interior și cel exterior. Sursa de apă (care poate fi un rezervor, conductă, canal, pînză freatică etc.) asigură alimentarea continuă cu apă a vaselor asamblate în linie (sau în alte scheme de udare). Apa necesară dezvoltării plantelor cultivate este preluată prin porii vasului de către solul din vasul interior și de către plantă, prin efectul cumulat de suctions al solului și cel de absorbție al rădăcinilor.

Porozitatea vasului interior poate fi dozată prin amestecarea argilei cu rumegușul de lemn în diferite proporții. Prin arderea rumegușului la coacerea argilei se obține o porozitate prestabilită.

Aplicarea acestei soluții privind porozitatea vasului interior nu este

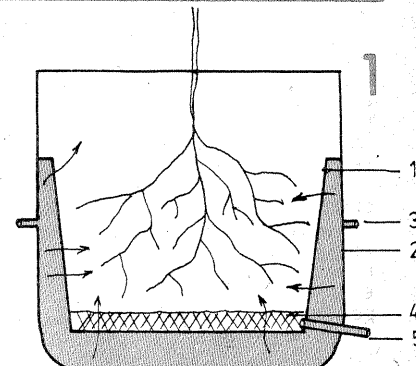
necesară decât în cazuri speciale.

FUNCȚIA DE DRENAJ SI AERATIE A SOLULUI

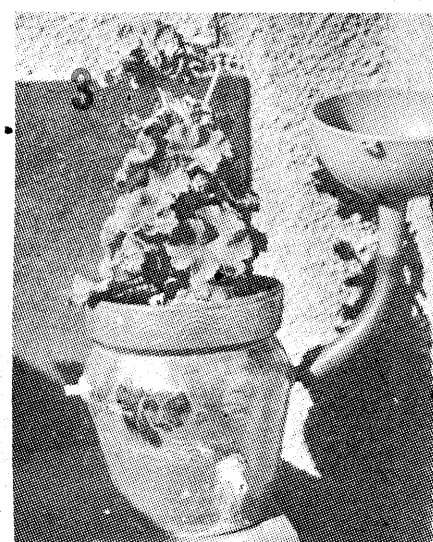
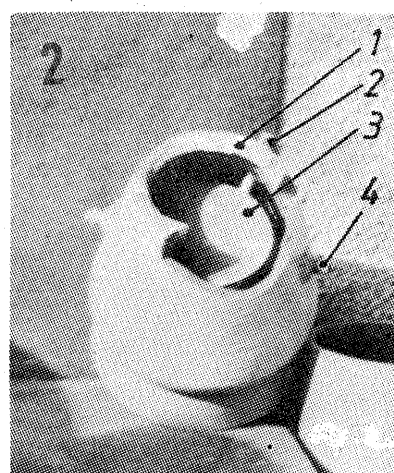
Pe fundul vasului interior se asază o fișă de geotextil, eventual și un strat de nisip grosier (cca 1,5 cm grosime). Fundul vasului comunica cu exteriorul printr-un tub de evacuare a excesului de umiditate, care asigură totodată și aeratia solului. Problema excesului de umiditate se pune în special pentru cazul cind vasele sau liniile de udare sunt expuse sub cerul liber și cind apa din precipitații ar putea asfixia plantele.

FUNCȚIA DE SPĂLARE A SOLULUI

Pentru cazul particular cind, din motive legate de calitatea solului și a apei, se produce migrarea sârurilor spre suprafață, este posibilă



1 — Vas interior (poros)
2 — Cuvă
3 — Ștut de alimentare
4 — Strat drenant
5 — Tub de drenaj și aeratia solului



spălarea solului prin turnarea unor cantități de apă deasupra vaselor implicate, care să asigure un curent descendant al apei și respectiv spălarea solului.

FERTILIZAREA SI AMENDAREA SOLULUI

Fertilizarea sau amendarea solului din vase se poate realiza prin aplicarea directă a ingredientelor în vase sau prin dizolvarea acestora în rezervorul de alimentare a miniinstalației. Este indicat ca solul introdus în vase să fie de textură mijlocie (nici argilos, nici nisipos), să aibă o fertilitate bună și să nu fie acid sau alcalin.

MINIINSTALATIA POLIVALENTĂ DE IRIGAȚIE

După cum s-a arătat, un număr de vase polivalente cuplate între ele prin microtuburi formează o linie de udare. O linie de udare sau mai multe, împreună cu rezervorul de apă sau dispozitivul de preluare a apei dintr-o sursă curentă (conductă, canal etc.), formează o miniinstalație polivalentă de irigație (fig. 4). Liniile de udare pot fi supratecate (cauză balcoanelor, interioarelor etc.) sau îngropate (cauză serelor și parcurilor).

În figura 5 se prezintă fotografia a două miniinstalații amplasate etajat pe peretele unui balcon de bloc. Plantele cultivate sunt flori.

CONSUMUL DE APĂ AL MINIINSTALATIEI

Consumul de apă este variabil, depinzând de mai mulți factori, dar

în principal și în mod practic de suprafața vaselor expuse evaporației și de temperatura aerului. Pentru aplicații practice (de exemplu, în vederea dimensionării rezervorului unei miniinstalații), se prezintă datele din tabelul alăturat.

Exemplu de calcul. Pentru o miniinstalație de 10 vase, având diametrul de 15 cm și pentru o durată de 15 zile, în luna iulie, este necesar să se asigure un volum de apă de:

$$10 \times 0,018 \text{ m}^2 \times 6,5 \text{ l/zi/m}^2 \times 15 \text{ zile} = 17,6 \text{ litri.}$$

O parte din acest volum se înmagazinează în spațiul disponibil dintre peretele vasului interior și cel exterior (cca 8 l) și diferența (cca 10 l) trebuie asigurată într-un rezervor.

AVANTAJELE PE CARE LE OFERĂ MINIINSTALATIA POLIVALENTĂ DE IRIGAȚIE

După cum s-a arătat, un prim avantaj constă în faptul că vasul polivalent reușește să optimizeze raportul dintre apă și aerul din sol — în mod constant — și să asigure în acest fel condiții deosebit de favorabile dezvoltării plantelor cultivate. Miniinstalația oferă totodată posibilitatea folosirii unor spații din imobile pentru cultura florilor și legumelor (pervazuri, balcoane, planșee și.a.), în condiții în care nu este necesar să se aibă grija ca plantele să fie udate zilnic sau aproape zil-

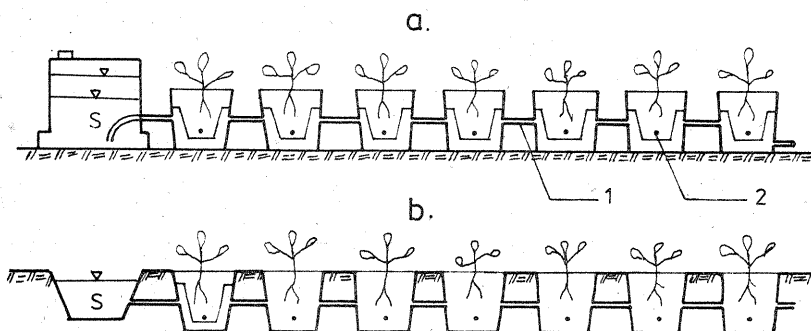


Fig. 4: LINII DE UDARE

- a — Supraterană
b — Îngropată

- S = Sursă
1 = Tub de alimentare
2 = Dren

nic. De exemplu, se poate pleca în concediu în condiții de asigurare totală în ce privește udarea florilor din apartament sau de pe balcon.

Miniinstalația poate fi folosită cu succes pentru culturi în sere (răsăduri flori etc.) prin conectarea liniilor de udare la o sursă curentă de apă (conductă, jgheab, canal).

În acest sens menționăm că este în curs de experimentare soluția captării directe a apei pentru sere din pînze freatiche la adîncimi de pînă la 5 m, fără consum de energie în exploatare.

Se are în vedere faptul că prin consumarea de către plante a apei din spațiul dintre peretii vasului interior și cel exterior, se formează un vid parțial care, cumulat pe linia de udare, poate asigura aspirația apei de la cote inferioare (fig. 6).

Amorsarea liniei de udare se poate obține cu ajutorul unui dispozitiv simplu, respectiv un vas plin cu

udare) se face după 3—4 zile de la umplerea totală a liniei, respectiv după formarea unui vid parțial în vase. Funcționarea unei linii de udare în aceste condiții implică necesitatea unei etanșări foarte bune a vaselor, ștuturilor și tuburilor de legătură.

UNELE DETALII PRIVIND FUNCȚIONAREA MINIINSTALAȚIEI

La capătul aval al liniei de udare, pe ultimul ștut al ultimului vas, se fixează un tub vertical prevăzut cu un dop etans (fig. 7). Atunci cînd se efectuează umplerea liniei, se scoate dopul, în vederea eliminării



apă, bine etansat și conectat la linia de udare și la sursa de apă (rezervor sau strat freatic), printr-un tub pe care se fixează un robinet sau o clemapă (fig. 8). Deschiderea robinetului (implicit amorsarea liniei de

aerului din vase și a asigurării umplerii totale a acestora. Apoi se fixează dopul etans. Dacă dopul este fixat etans, linia de vase aspiră apă din rezervor, sub cota ștutului de priză.

(URMARE DIN PAG. 3)

În general, este recomandat ca toate traseele ce privesc conexiunile schemei electrice, „după” etajul pilot, să aibă grosimea cît mai mare. Pentru sursa de tensiune tip diodă multiplicată se realizează separat o plăcuță de cablaj imprimat (deci două, pentru fiecare amplificator), similară cu cea prezentată în figura 3. Se precizează că placile din figurile 2 și 3 sunt văzute dinspre partea traseelor de cablaj imprimat. În figura 4 este prezentat modul de amplasare a sursei de tensiune constantă pe radiatorul tranzistoarelor finale. Ca ordine de montaj, se realizează amasblarea tranzistorului T_4 pe radiatorul tranzistoarelor finale (de preferință între ele); ulterior se pun cele două tuburi izolante distanțoare și apoi se montează suruburile de prindere care asigură rigidizarea mecanică a plăcuței.

Cele două terminale marcate cu cifrele 1 și 2 au corespondență pe placa de cablaj imprimat a amplificatorului, la care sunt prevăzute cose pentru interconectare. Se folosește în acest scop conductor lăiat izolat, cu secțiunea minimă de 1 mm^2 . Radiatoarele tranzistoarelor finale au suprafața de răcire corelată cu puterea disipată de amplificator. Deoarece montajul funcționează în clasa AB, se consideră pentru calcule o putere disipată $P_D = 0,66 P_N$, acoperitoare în toată gama puterilor de ieșire prevăzute pentru acest amplificator. Atât tranzistoarele finale, cât și tranzistorul din sursa de tensiune controlată destinață polarizării etajului final se izolează electric de radiator cu foite de mică.

Pentru o putere de ieșire a amplificatorului $P_N > 25 \text{ W}$, se prevăd radiatoare (de tip U) care se vor monta pe tranzistoarele prefinate (de tip BD...). După realizarea plăci-

lor de cablaj imprimat, se verifică dacă trasele sunt corecte și ulterior se plantează componentele electrice. Modul lor de amplasare este prezentat în figurile 2 și 3 (vedere dinspre cablaj). Înainte de montarea condensatoarelor electrolitice C_{12} și C'_{12} , se realizează ștrapurile aflate sub ele (marcate pe desenul din figura 2 cu traseu dublu, hașurat). Se folosește conductor de cupru izolat, cu secțiunea minimă 1,5 mm^2 . Se recomandă bandajarea condensatoarelor C_{12} și C'_{12} cu o bandă electroizolantă, pentru asigurarea unei izolații electrice duble între ștrapuri și cele două condensatoare. După montarea componentelor electrice, se verifică din nou corectitudinea amplasării acestora, folosind schema electrică și marcajele din figurile 2 și 3. Se atrage atenția că orice greșeală de montaj implică cel puțin nefuncționarea amplificatorului.

După verificarea montajului, tranzistoarele finale montate pe radiator, împreună cu sursele de tensiune constantă destinate polarizării și placa amplificatoarelor se fixează pe un suport de aluminiu de tip L, conform desenului din figura 5. În tabelul 2 sunt prezentate siguranțele S_1 și S_2 . Siguranta S_1 este dimensionată în funcție de puterea maximă P_{\max} (deci curentul maxim) pe care amplificatorul o poate prelua de la sursa de alimentare, în condiții de funcționare normală. Siguranta S_2 este dimensionată în funcție de puterea maximă debitată de amplificator și impedanța de sarcină a grupului de difuzoare (încinta acustică), deci 4 Ω sau 8 Ω . Se atrage atenția că, pentru o audiere Hi-Fi, în mod obligatoriu trebuie respectată relația:

$$\text{PINCINTĂ ACUSTICĂ} \geq$$

$$\geq 1,2 P_{\max} \text{ AMPLIFICATOR}$$

În cazul în care amplificatorul realizat de constructorul amator

are o putere $P_{\max} > 25 \text{ W}$, se recomandă ca tranzistoarele finale complementare T_7 și T_8 să aibă același factor de amplificare h_{21E} , determinat la curentul maxim de lucru. Deoarece, în cazul puterilor $P > 25 \text{ W}$, tranzistorul pnp (complementarul lui 2N3055) este mai greu procurabil (desi a fost asimilat în fabricația I.P.R.S.-Băneasa, sub codul BDX18) se poate utiliza un artificiu de lucru. În figura 6 este prezentată schema electrică echivalentă a unui tranzistor pnp de putere, „realizat” din două tranzistoare montate corespunzător. Se menționează însă că, în acest caz, tensiunea de alimentare a montajului trebuie să fie de valoarea calculată cu 1 V, iar performanțele amplificatorului în privința coeficienților THD și TID se înrăutățesc.

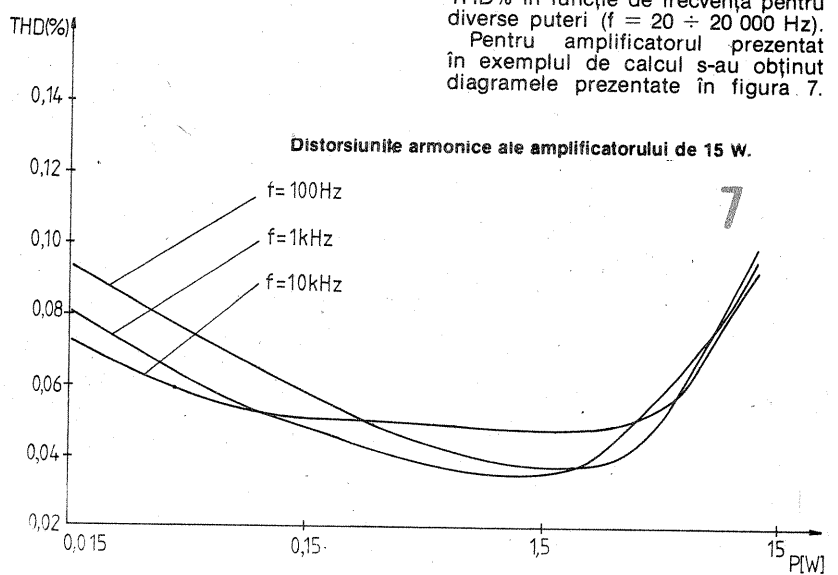
După realizarea practică a amplificatorului și o ultimă verificare, se ștrapează intrările și se conectează ca rezistente de sarcină două rezis-

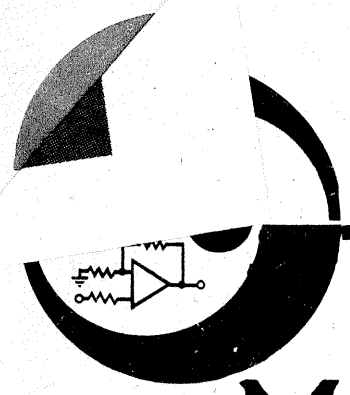
toare de $50 \Omega / 10 \text{ W}$. Se alimentează montajul de la sursa de tensiune V_{cc} . Curentul de mers în gol I_0 se stabilește cu ajutorul potențiometrului R_2 . În urma reglajului, tensiunea de pe emitoralele celor două tranzistoare complementare T_7 și T_8 trebuie să aibă valoarea $V_{cc}/2$. După efectuarea acestor reglaje, se reverifică valoarea curentului de mers în gol și, dacă este necesar, se reajustează conform valorii indicate în tabelul 1.

Se întrerupe alimentarea montajului și se îndepărtează ștrapurile de la intrare și cele două rezistoare de $50 \Omega / 10 \text{ W}$ de la ieșirile amplificatoarelor.

Dacă în dotarea constructorului amator există o aparatură mai complexă (osciloscop, generator de semnale sinusoidale AF și, eventual, distorsiometru), se pot realiza diagramele: 1. P_{\max} în funcție de frecvență ($f = 20 \div 20000 \text{ Hz}$); 2. THD% în funcție de frecvență pentru diverse puteri ($f = 20 \div 20000 \text{ Hz}$).

Pentru amplificatorul prezentat în exemplul de calcul s-au obținut diagramele prezentate în figura 7.





REVISTA REVRSTELOR

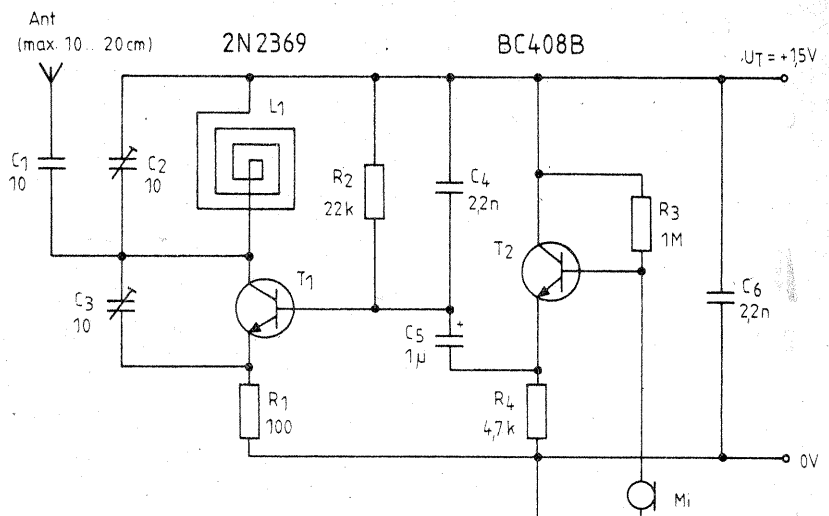
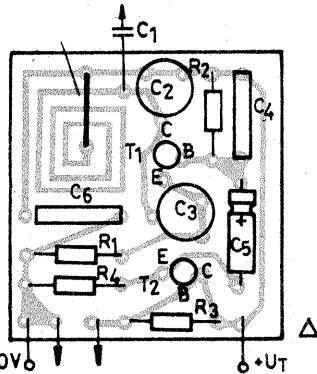
MICRO Tx

Radioamatorii autorizați pentru reglajele unor antene sau ale unor receptoare pot folosi mici montaje generatoare de semnal în benzile alocate serviciului de amator.

Alăturat se prezintă schema unui micro Tx-FM alimentat la 1,5 V. Bobina etajului oscillator este realizată din cablajul imprimat așa cum este arătat în desenul de montaj.

Reamintim că folosirea oricărui aparat de emisie, de mică sau mare putere, este permisă numai în baza unei autorizații.

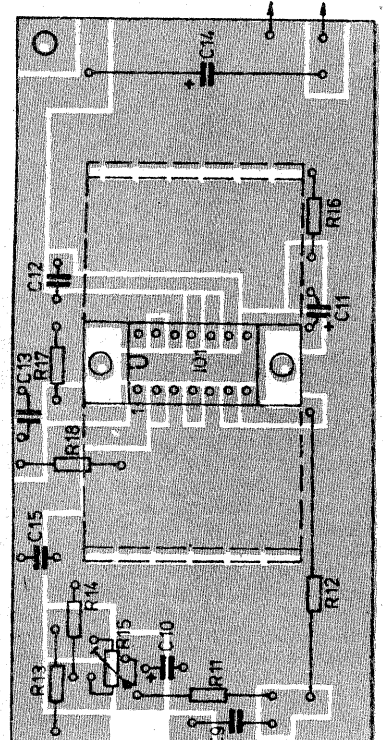
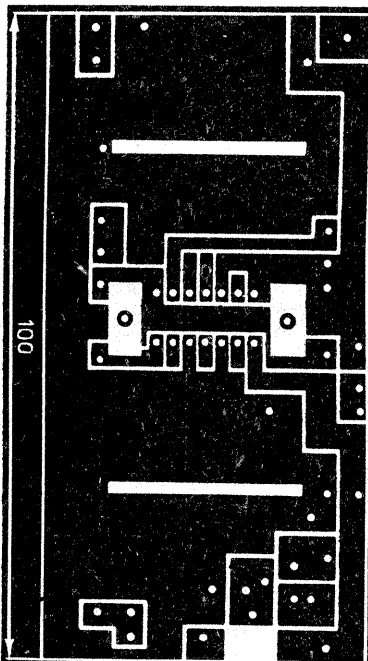
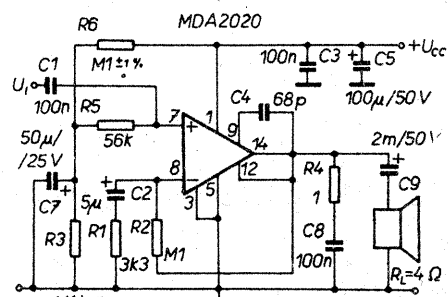
RADIOTECHNIKA, 11/1987



MDA 2020

Cu acest circuit (construit special) se poate obține un amplificator AF la un pick-up sau casetofon. Alimentarea montajului este posibilă cu tensiuni cuprinse între 9 și 16 V, după cum se poate cupla un difuzor cu impedanță de 4–8 Ω. Chiar dacă puterea nu este prea mare (3 W), calitatea semnalului compensează.

AMATERSKE RADIO, 12/1987



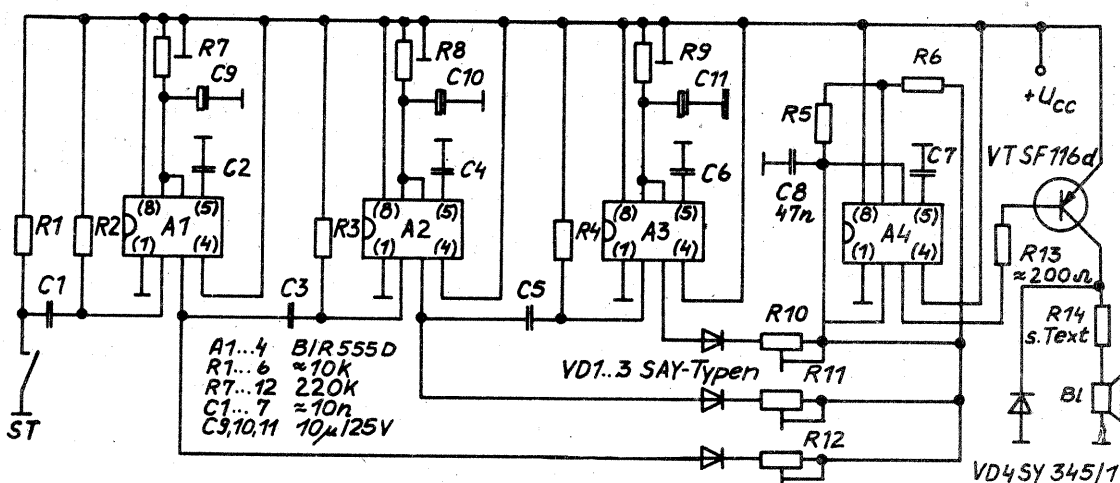
GONG

Cu 4 circuite integrate tip 555 se poate construi un gong cu trei tonuri. Cele trei tonuri se stabilesc din potențiometrele R10, R11, R12. Alimentarea se face cu 9 V – 12 V și acest montaj poate fi instalat și ca sonerie.

Funcție de tensiunea de alimen-

tare, de impedanță difuzorului se stabilește valoarea rezistorului R14 care poate fi curent de $100 \Omega / 0,5 \text{ W}$. Toate diodele sunt 1N4001.

PRACTIC, 4/1987



Rugăm cititorii revistei care doresc să trimită materiale spre publicare să le redacteze cît mai inteligențial, să prezinte atît modul de funcționare al montajului, cît și detaliile constructive și de reglaj. Totodată să fie consemnate rezultatele măsurătorilor și tipul instrumentelor de măsură utilizate, acolo unde este cazul.

Schemele execute conform normelor STAS să aibă trecut tipul și valoarea pieselor componente, valori ale tensiunilor și curentilor în diferite puncte.

aem

ÎNTreprinderea de APARATE ELECTRICE DE MĂSURAT – TIMIȘOARA
Calea Buziașului nr. 26. Telex 71343. Tel. 6 4507



APARAT PENTRU MĂSURAREA PRESIUNII ARTERIALE AMPA 300

AMPA 300

Aparatul pentru măsurarea presiunii arteriale tip AMPA-300 este un aparat electronic cu afişaj numeric, portabil, destinaț măsurării sau automăsurării presiunii arteriale.

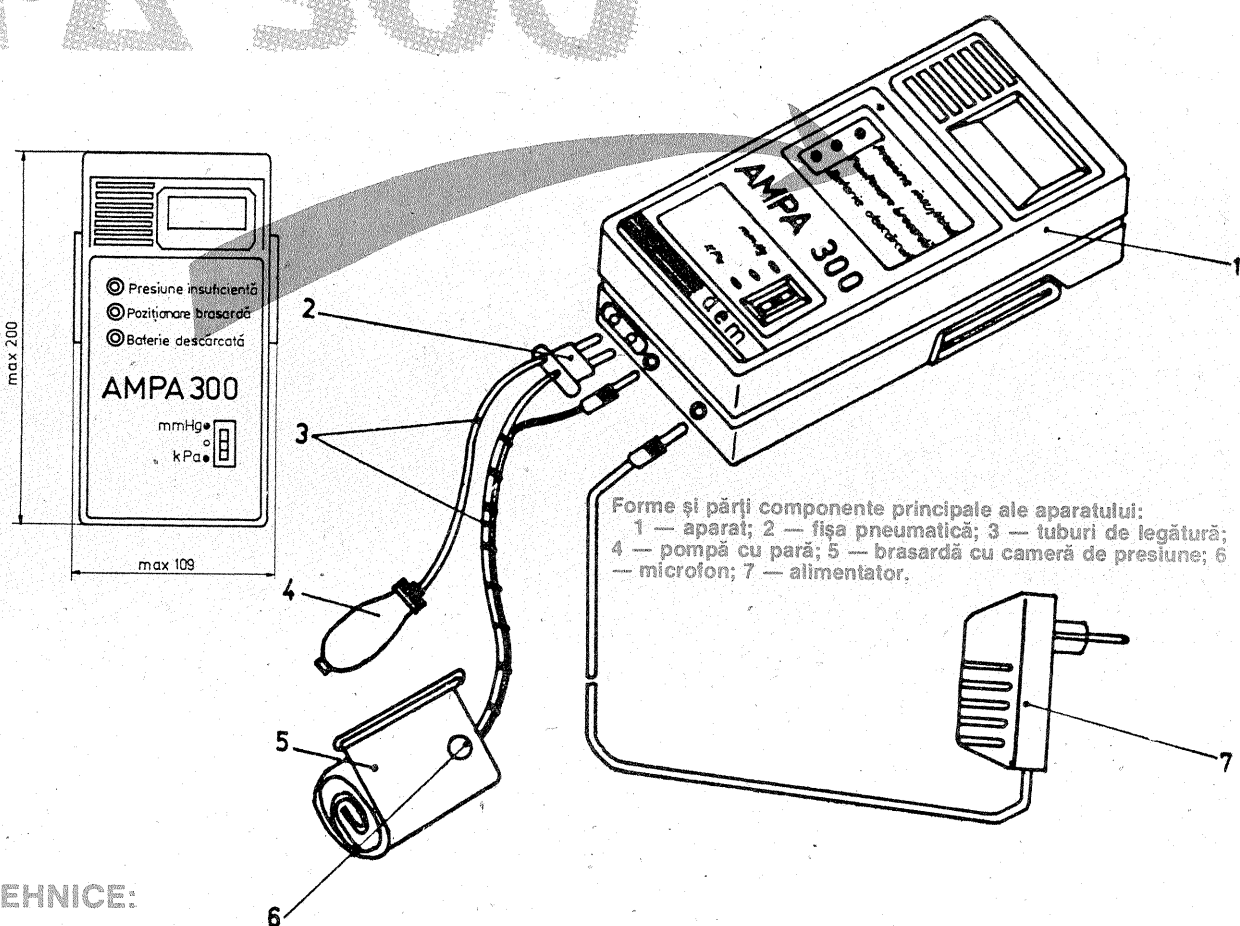
Prevăzut cu un ciclu de funcționare complet automatizat, sensibilitate ridicată și imunitate crescută la zgomote și artefacte, aparatul este utilizabil de către cadrele medicale, cărora le ușurează munca, sau direct de către persoanele care doresc să-și măsoare/supravegheze presiunea arterială.

Măsurarea se realizează utilizând metoda Korotkov (Riva-Rocci).

Detectarea zgomotelor Korotkov se realizează cu ajutorul unui sistem electronic de captare și prelucrare, utilizând ca traductor de semnal un microfon piezoceramic.

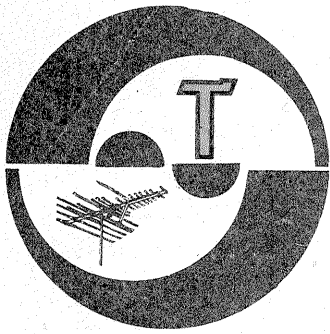
Un circuit de automatizare complex comandă mai întâi măsurarea și afișarea presiunii în timpul umflării brasardei, apoi măsurarea și afișarea presiunii sistolice (maximă) și diastolice (minimă). Aceeași circuit asigură semnalizarea descărcării bateriilor, poziționarea gresită a brasardei, umflarea insuficientă a brasardei.

Circuitele de măsurare a presiunii au ca traductor o capsulă manometrică.



CARACTERISTICI TEHNICE:

- Eroarea de măsurare a presiunii: max. ± 4 mmHg ($\pm 0,5$ kPa) la $23^\circ C$
- Valoarea maximă a presiunii măsurate: 300 mmHg (40 kPa)
- Unitatea de măsură utilizabilă: mmHg sau kPa (selectabilă prin comutare)
- Domeniul temperaturii de funcționare: $+10^\circ C \dots +45^\circ C$, umiditate maximă 75%
- Alimentare:
 - internă: baterii 3 x R6 (4,5 Vcc);
 - externă: alimentator 3,5 V...6 Vcc
- Temperatura de stocare: $0^\circ C \dots +45^\circ C$, umiditate max. 90%
- Puterea consumată: max. 0,6 W/4,5 V
- Dimensiuni de gabarit:
 - pentru aparat: 200 x 110 x 55 mm;
 - pentru geantă (fără miner): 230 x 215 x 70 mm
- Greutate:
 - aparatul cu baterii: max. 850 g;
 - aparatul în geantă cu accesorii: max. 1 750 g
- Gradul de protecție: IP20



SERVICE

GRĂDINARU IULIAN — Bacău

Calificare în meseria de electrician și oputenți obține și la școala UCECOM.

Dacă înlocuiți BF200 cu BFX89 trebuie să redimensionați rezistoarele de polarizare. Nu montați BF214.

COVACIU VASILE — Cugir

Nu este recomandabil să folosiți două redresoare legate în serie, cel mai bine este să vă construiți un alimentator cu tensiune de 12 V stabilizată.

Se găsește în comerț transformatoare de la televizoarele „Sport” la care aplicați o punte redresoare și un stabilizator electronic.

Consultați în acest sens schemele publicate în revista „Tehnium”.

GHERGU CEZAR — Oltenia

Valorile componentelor din

schema la care vă referiți le puteți obține de la autorul cărții.

GHINEA CONSTANTIN — Argeș

Verificați contactele cablului de legătură la intrarea în amplificatorul FI-sunet.

HOTA EUGEN — jud. Mureș

În locul tranzistoarelor T_1 și T_3 din generator montați EFT317, iar în locul tranzistorului T_2 — EFT323.

POPA PAUL — Slatina

Folosiți dimensiunile publicate în „Tehnium” și în carte „Recepția de calitate TV”, autor M. Băsescu.

CURIAC GABRIEL — București

Nu detinem disponerea terminalelor la circuitul integrat 1032H.

RUPTAS FLORIN — Dorohoi

Vom reveni asupra construcției și interconectării antenelor Yagi.

VASILE NICOLAE — București

Dacă imaginea este fără contrast și cu treceri în negativ, trebuie să suspectați tubul cinescop.

CHIȘ VASILE — Satu Mare

Convertorul 12/220 V nu poate fi realizat ca să funcționeze dacă piesele indicate în schema electrică. Dacă doriți un ajutor competent,

luati legătura cu radioclubul din localitate, situat în Str. Libertății nr. 2.

STOICESCU NICOLAE — București

Televizorul „Elcrom” este construit la întreprinderea „Electronica”-București.

Vom publica un material despre pornirea autoturismelor „Dacia”.

MARIAN FLORIN — Cluj-Napoca

În radioreceptor defectul provine din comutator. Televizorul are tensiunea de alimentare slab filtrată și unele condensatoare de decuplare defecte.

DRIMBĂ ION — jud. Bihor

Construiți montajul cu piesele indicate și respectați strict modul de interconectare.

MIHAI ADRIAN — Ploiești

Folosiți tranzistoarele BF 245-256 în banda UUS.

VIZIRION — Bacău

Vom publica în curind un receptor pentru SHF.

NICULAE GHEORGHE — București

Renunțați la înlocuirea tranzistoarelor cu echivalente improvizate și montați un amplificator cu TBA 810.

POPA IOAN — Brașov

Construiți un amplificator (publicat în „Tehnium”) care să conțină 2N3055.

STANCIU VIOREL — jud. Mehedinți

Circuitul BAA145 este de producție I.P.R.S. și poate fi procurat de la unitățile service. Preluați sunet de la potențiometrul de volum.

CRETU IONUT — jud. Prahova

Intuiți trebuie să aveți autorizație de radioamator și apoi puteți construi un emițător.

PANDREA ION — Făgăraș

Vom publica datele bobinelor solicitate.

NEGRARU NICOLAE — Buzău

Vă rugăm să vă adresați întreprinderii tutelare.

GHEORGHE LAURENTIU — Tg. Jiu

Schemă este corectă așa cum a fost publicată.

BUNDUC MIHAI — Piatra Neamț

Bd. Decebal, bl. P10, sc. B, ap 43; oferă colecția „Tehnium”.

CLIM VASILE — Tulcea

Se pare că tranzistorul este defect.

SĂNDULESCU DRAGOS — Alexandria

Montați potențiometre de 25 kΩ (liniare).

GHEONEA ION — jud. Mehedinți

Nu detinem datele și adresele solicitate.

ANGELESCU ION — București

Verificați comparitorul de fază.

KONDRA ZOLTAN — jud. Cluj

Instrumentul poate fi reparat numai la un atelier metrologic.

Tranzistoarele 2N3055 nu pot fi înlocuite cu ASZ18.

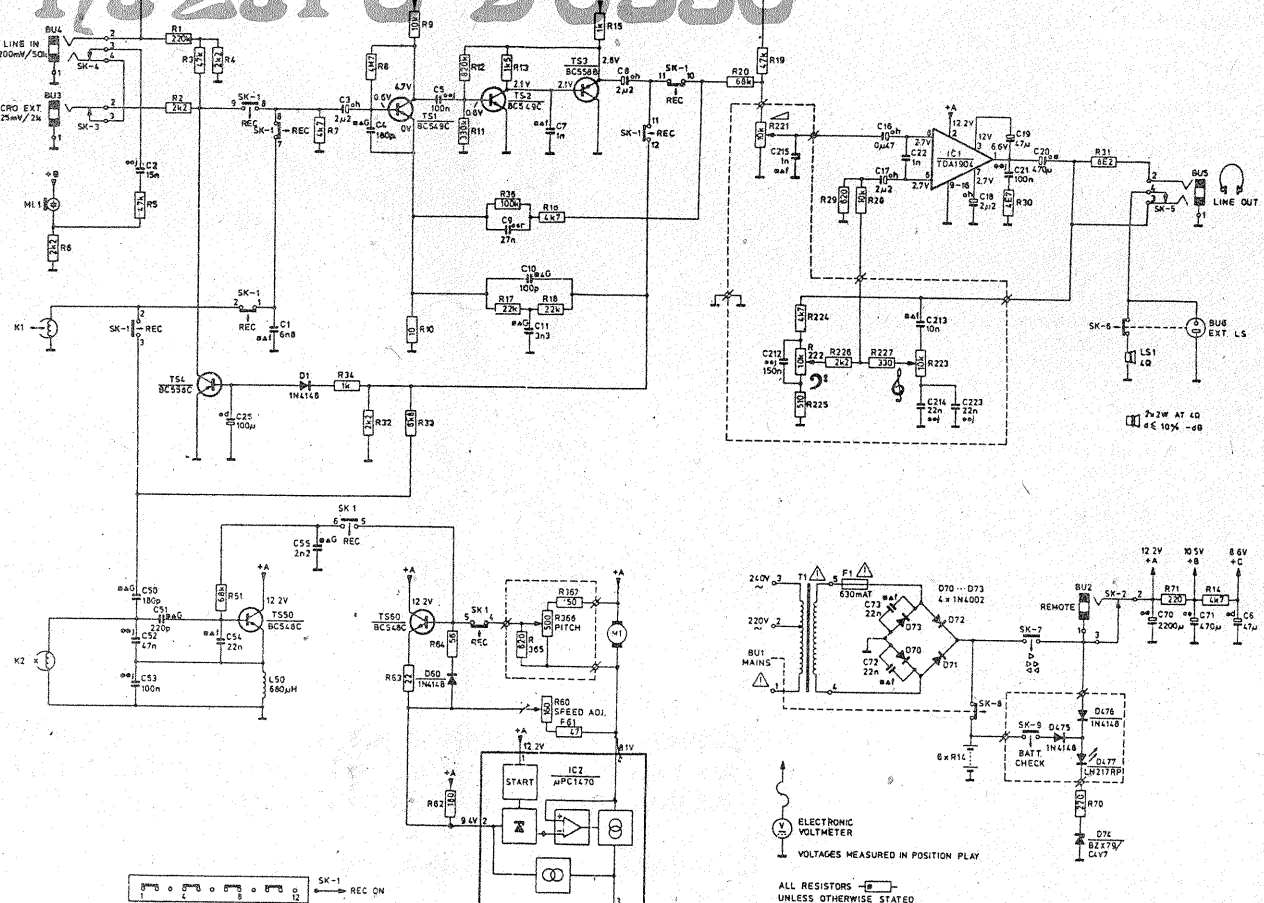
ENCIU MIHAI — București

Cu inițialele TUN s-au notat tranzistoare npn, iar cu DUG diode cu germaniu.

Folosiți un potențiometru de 25 kΩ.

I.M.

PSJLJPS D6350



TOADER ION — Craiova

Casetofonul Philips D6350 lucrează după o schemă clasică și cu mici modificări poate fi folosit în traficul meteorscatter (CW). Astfel, pe poziția redare motorul să fie alimentat prin trei diode (serie) 1N4001, conectate la punctul A15, în timp ce pentru înregistrări la viteza se reglează potențiometrul R60 de 22 Ω, iar rezistorul R63 de 22 Ω, se înlocuiește cu unul de 18 Ω.

Redactor-șef: ing. IOAN ALBESCU

Redactor-șef adj.: prof. GHEORGHE BADEA

Secretar responsabil de redacție: ing. ILIE MIHĂESCU

Redactor responsabil de număr: fiz. ALEXANDRU MĂRCULESCU

Prezentarea artistică-grafică: ADRIAN MATEESCU

Administrația
Editura Știință

INDEX 44212

CITITORII DIN STRĂINATATE SE POT ABONA PRIN „ROMPRESFILELIA” — SECTORUL EXPORT-IMPORT PRESĂ, P.O.BOX 12-201, TELEX 10376, PRSFIR BUCUREȘTI, CALEA GRIVITEI NR. 64-66.

Tiparul executat la
Combinatul Poligrafic „Casa Științei”